

การควบคุมแรงและตำแหน่งของแขนกลลูกผสมแบบขนาน 5 แกน ตระกูลเอส-4  
ในขณะที่ทำการกักตั้งชิ้นงาน

ว่าที่ร้อยตรี เรืองยศ อารยวงษ์กุล

วิทยานิพนธ์นี้เป็นส่วนหนึ่งของการศึกษาตามหลักสูตรปริญญาวิศวกรรมศาสตรดุษฎีบัณฑิต  
สาขาวิชาวิศวกรรมเครื่องกล ภาควิชาวิศวกรรมเครื่องกล  
คณะวิศวกรรมศาสตร์ จุฬาลงกรณ์มหาวิทยาลัย  
ปีการศึกษา 2554  
ลิขสิทธิ์ของจุฬาลงกรณ์มหาวิทยาลัย

บทคัดย่อและแฟ้มข้อมูลฉบับเต็มของวิทยานิพนธ์ตั้งแต่ปีการศึกษา 2554 ที่ให้บริการในคลังปัญญาจุฬาฯ (CUIR)  
เป็นแฟ้มข้อมูลของนิสิตเจ้าของวิทยานิพนธ์ที่ส่งผ่านทางบัณฑิตวิทยาลัย

The abstract and full text of theses from the academic year 2011 in Chulalongkorn University Intellectual Repository(CUIR)  
are the thesis authors' files submitted through the Graduate School.

FORCE AND POSITION CONTROL FOR A HYBRID 5-AXIS H-4 FAMILY  
PARALLEL MANIPULATOR IN MILLING PROCESSES

Mr. Ruengyos Arayavongkul

A Dissertation Submitted in Partial Fulfillment of the Requirements  
for the Degree of Doctor of Philosophy Program in Mechanical Engineering

Department of Mechanical Engineering

Faculty of Engineering

Chulalongkorn University

Academic year 2011

Copyright of Chulalongkorn University



เรื่องยศ อารยวงศ์กุล : การควบคุมแรงและตำแหน่งของแขนกลลูกผสมแบบขนาน 5 แกน  
ตระกูลเอช-4 ในขณะที่ทำการกัดชิ้นงาน (FORCE AND POSITION CONTROL FOR A HYBRID  
5-AXIS H-4 FAMILY PARALLEL MANIPULATOR IN MILLING PROCESSES)

อ. ที่ปรึกษาวิทยานิพนธ์หลัก : ศ.ดร.วิบูลย์ แสงวีระพันธุ์ศิริ, 90 หน้า.

วิทยานิพนธ์นี้นำเสนอวิธีการควบคุมแรงและตำแหน่งสำหรับกระบวนการกัดชิ้นงานโดยใช้  
เครื่องกัดแบบ 5 แกนที่ได้พัฒนาขึ้นในห้องปฏิบัติการ เครื่องกัดที่มีลักษณะเป็นแขนกลลูกผสม  
แบบขนาน 5 แกนประกอบด้วยแขนกลที่มีโครงสร้างขนานแบบเอช-4กับการหมุนของโต๊ะยึด  
ชิ้นงานอีก 1 ทิศทาง ระบบแขนกลสำหรับการกัดชิ้นงานซึ่งพัฒนาขึ้นในห้องปฏิบัติการ  
ประกอบด้วยแขนกลแสปติก 6 องศาอิสระโครงสร้างแบบขนานที่ทำหน้าที่เป็นแขนกลนำ และ  
แขนกลลูกผสมแบบขนาน 5 แกนที่ทำหน้าที่เป็นแขนกลตาม โดยระบบแขนกลดังกล่าวจะทำงาน  
แบบแขนกลนำ-ตาม หรือ มาสเตอร์-สเลฟ ที่มีการสร้างแรงสะท้อนกลับกระทำต่อมือของ  
ผู้ดำเนินการ แขนกลนำทำหน้าที่กำหนดเส้นทางเดินของดอกกัดที่ต้องการ เส้นทางเดินของ  
ดอกกัดดังกล่าวจะนำมาใช้เป็นเส้นทางอ้างอิงสำหรับสำหรับแขนกลตาม การทดลองกัดชิ้นงาน  
เป็นร่องแนวเส้นตรงและร่องแนววงกลมแสดงถึงความสามารถในการควบคุมแรงและตำแหน่งของ  
ระบบแขนกล ในขณะเดียวกันแขนกลนำสามารถสร้างแรงสะท้อนกลับกระทำต่อมือของ  
ผู้ดำเนินการได้

แรงกัดชิ้นงานตรวจวัดค่าได้โดยตรงจากอุปกรณ์ตรวจรู้แรงซึ่งติดตั้งอยู่บนโต๊ะยึดจับ  
ชิ้นงานของแขนกลตาม ชิ้นงานที่ต้องการติดตั้งอยู่กับอุปกรณ์ตรวจรู้แรงเพื่อที่จะสามารถตรวจวัด  
แรงกัดได้ในขณะมีการกัดชิ้นงาน การควบคุมแรงในขณะกัดชิ้นงานที่จะนำเสนอในงานวิจัยนี้  
จะใช้วิธีการควบคุมแรงโดยตรง ประกอบด้วย 2 ส่วนคือ ส่วนการควบคุมแรงและส่วนการควบคุม  
ตำแหน่ง ฐานันของระบบควบคุมคือการควบคุมตำแหน่ง และฐานันนอกของระบบควบคุมคือ  
การควบคุมแรง ค่าแรงกัดที่เหมาะสมต่อการควบคุมแรงกัดซึ่งจะนำมาใช้เป็นค่าอ้างอิงสำหรับ  
การควบคุมแรงกัดสามารถประมาณค่าได้จากการทดลองกัดชิ้นงาน ผลการทดลองพบว่า  
แรงสะท้อนกลับที่สร้างขึ้นโดยแขนกลนำแสดงนัยสำคัญต่อการเลื่อนมือของผู้ดำเนินการ ตำแหน่ง  
การเคลื่อนที่ของดอกกัดชิ้นงานมีค่าใกล้เคียงกับตำแหน่งอ้างอิงของดอกกัดชิ้นงานแสดงถึงความ  
แม่นยำของการควบคุมตำแหน่งการเคลื่อนที่ของดอกกัด และการควบคุมแรงกัดซึ่งวัดค่าได้  
ในระหว่างการกัดชิ้นงานมีค่าใกล้เคียงกับค่าแรงกัดที่กำหนดไว้ในโปรแกรมควบคุมการทำงานของ  
ระบบแขนกล

ภาควิชา วิศวกรรมเครื่องกล ลายมือชื่อนิสิต.....

สาขาวิชา วิศวกรรมเครื่องกล ลายมือชื่อ อ.ที่ปรึกษาวิทยานิพนธ์หลัก.....

ปีการศึกษา 2554 ลายมือชื่อ อ.ที่ปรึกษาร่วม.....

# # 5071820321 : MAJOR MECHANICAL ENGINEERING

KEYWORDS :: Master-Slave / Force Reflection / Direct Force Control / Milling Process

RUENGYOS ARAYAVONGKUL : FORCE AND POSITION CONTROL FOR A HYBRID  
5-AXIS H-4 FAMILY PARALLEL MANIPULATOR IN MILLING PROCESSES

THESIS ADVISOR : PROF.VIBOON SANGVERAPHUNSIRI, Ph.D, 90 pp.

This thesis purposes a force and position control scheme for material removal processes using a 5-axis milling machine. The 5-axis milling machine, which developed in-house, has configuration based on a hybrid 5-axis H-4 family type parallel manipulator arm with a single axis rotating table. The total system consisted of a 6-DOF parallel haptic device (developed in-house) as a master arm and the hybrid 5-axis milling machine as a slave arm to form the master-slave operation with force reflection. The master arm is used to generating desired tool paths used as referenced path for the slave arm and can generate force reflection against an operator arm. Straight-line paths and circular paths are used for illustrating the ability of force and position control technique purposed.

Cutting forces are directly monitored by force sensor attached to the rotating table of the slave arm where a workpiece is mounted. The Direct force control technique purposed is consisted of 2-loop, the inner loop is position control loop while the outer loop is force control loop. The suitable cutting force that is used as a referenced force in the force control loop can be obtained experimentally. From the experimental results, they are shown that force reflect which is generated at the master arm has significant effect on the operator hand. The motion of the tool tip also approached the reference paths with acceptable accuracy specific for this type of operation. The cutting forces measured during the cutting process are also controlled closed to the desired cutting force which is set in the control program.

Department : Mechanical Engineering Student's Signature.....

Field of Study : Mechanical Engineering Advisor's Signature.....

Academic Year : 2011 Co-advisor's Signature.....

## กิตติกรรมประกาศ

วิทยานิพนธ์ฉบับนี้สำเร็จลุล่วงไปได้ด้วยความช่วยเหลืออย่างดียิ่งของ ศ.ดร.วิบูลย์  
แสงวีระพันธุ์ศิริ อาจารย์ที่ปรึกษาวิทยานิพนธ์ ท่านได้กรุณาสละเวลาเพื่อให้คำปรึกษา  
แสดงข้อคิดเห็น และให้คำแนะนำต่าง ๆ อันเป็นประโยชน์อย่างยิ่งต่องานวิจัยในครั้งนี้  
ผู้วิจัยรู้สึกซาบซึ้งและขอแสดงความขอบคุณมา ณ โอกาสนี้ ผู้วิจัยขอขอบคุณคณาจารย์  
ภาควิชาวิศวกรรมเครื่องกลซึ่งให้คำแนะนำในด้านวิชาเรียน ขอขอบคุณรุ่นพี่ปริญญาเอกที่  
คอยช่วยเหลือและสนับสนุนการวิจัย และ ขอขอบใจรุ่นน้องปริญญาโทที่คอยให้กำลังใจเสมอมา

## สารบัญ

	หน้า
บทคัดย่อภาษาไทย .....	ง
บทคัดย่อภาษาอังกฤษ .....	จ
กิตติกรรมประกาศ .....	ฉ
สารบัญ .....	ช
สารบัญรูป .....	ซ
บทที่	
1 บทนำ .....	1
1.1 ความเป็นมาและความสำคัญของปัญหา.....	1
1.2 วัตถุประสงค์ของการวิจัย.....	2
1.3 ขอบเขตของการวิจัย.....	2
1.4 ขั้นตอนการดำเนินงานของวิทยานิพนธ์ .....	2
1.5 ประโยชน์ที่คาดว่าจะได้รับ .....	2
2 ความรู้เบื้องต้นและงานวิจัยที่เกี่ยวข้อง .....	3
2.1 การควบคุมแขนกลเมื่อมีการสัมผัสกับสิ่งแวดล้อม .....	4
2.2 การทำงานแบบมาสเตอร์-สเลฟ .....	5
2.3 การสร้างเส้นทางเดินดอกกัด .....	7
2.4 การศึกษาและวิเคราะห์แรงกัตซ์ในงาน .....	8
3 การออกแบบระบบควบคุมที่ใช้กับการควบคุมการทำงานแบบแขนกลนำและแขนกลตาม .....	
โดยมีแรงสะท้อนกลับ.....	15
3.1 การควบคุมตำแหน่งปลายแขนกลตาม.....	17
3.2 การควบคุมแรงโดยตรง.....	27
3.3 การสร้างแรงสะท้อนกลับ.....	35
4 ผลการทดลอง .....	38
4.1 ผลการทดลองเบื้องต้น .....	41
4.2 ทดลองกัตซ์ในงานเป็นร่องแนวเส้นตรง (Slot) .....	53
4.3 ทดลองกัตซ์ในงานเป็นหลุม (Pocket).....	61
4.4 ทดลองกัตซ์ในงานเป็นวงกลม.....	71
5 สรุปผลวิจัยและข้อเสนอแนะ .....	80
รายการอ้างอิง .....	82
ภาคผนวก .....	86
ประวัติผู้เขียนวิทยานิพนธ์ .....	90

## สารบัญรูป

หน้า

รูปที่ 2.1	ปลายแขนกลมีการสัมผัสกับสิ่งแวดล้อม (แผ่นชิ้นงาน) .....	5
รูปที่ 2.2	ระบบแขนกลมีการทำงานแบบมาสเตอร์-สเลฟและในขณะที่สัมผัสกับวัสดุพองน้ำ.....	6
รูปที่ 2.3	ขนาดและตำแหน่งของดอกกัตที่เหมาะสมเมื่อมีการกำหนดบริเวณกลุ่มข้อมูลจุด.....	7
รูปที่ 2.4	ลักษณะกลุ่มจุดข้อมูลและการสร้างโครงข่ายสามเหลี่ยมในสามมิติ .....	8
รูปที่ 2.5	แบบจำลองทางกายภาพของดอกกัตหัวทรงกลม .....	11
รูปที่ 2.6	ภาพจำลองความหนาเศษ (chip thickness) สำหรับการกัตชิ้นงาน .....	11
รูปที่ 2.7	แบบจำลองแรงกัตชิ้นงานในสภาวะสถิต (ดอกกัตไม่มีการสั่น) .....	12
รูปที่ 2.8	ลักษณะของแรงกัตที่เกิดขึ้นจากมุมการหมุนของดอกกัต .....	13
รูปที่ 2.9	การทดลองและการจำลองผลลัพธ์ของแรงกัตเพื่อแสดงค่าที่ทำให้ดอกกัตเกิดการ สั่นแชตเตอร์(chatter).....	14
รูปที่ 3.1	ระบบการทำงานแบบมาสเตอร์-สเลฟในงานวิจัยนี้.....	15
รูปที่ 3.2	ส่วนประกอบหลักของแขนกลนำและแขนกลตามในงานวิจัยนี้.....	16
รูปที่ 3.3	การตั้งแกนอ้างอิงเพื่อใช้ในการวิเคราะห์ตำแหน่งและทิศทางของปลายแขนกลตาม.	17
รูปที่ 3.4	โครงสร้างแสดงข้อต่อต่างๆของแขนกลนำ .....	20
รูปที่ 3.5	โครงสร้างแสดงข้อต่อต่างๆของแขนกลตาม .....	22
รูปที่ 3.6	แผนภาพแสดงการควบคุมตำแหน่งและแรงโดยตรง .....	28
รูปที่ 3.7	แผนภาพแสดงระบบควบคุมตำแหน่งและแรงโดยตรงของแขนกลตาม .....	32
รูปที่ 3.8	ลักษณะการเปลี่ยนแปลงตำแหน่งคอมไพลแอนท์.....	33
รูปที่ 3.9	แบบจำลองของดอกกัตในขณะที่กัตชิ้นงาน.....	28
รูปที่ 3.10	แรงกัตชิ้นงานที่วัดค่าได้ (Fx, Fy และ Fz) เมื่อกัตชิ้นงานเป็นคลื่น.....	34
รูปที่ 3.11	ส่วนประกอบโครงสร้างของแขนกลนำ.....	36
รูปที่ 3.12	โครงสร้างแขนกลนำในแต่ละแขนสำหรับการวิเคราะห์เมตริกจาโคเบียน .....	36
รูปที่ 4.1	ตำแหน่งเริ่มต้นการทำงาน (Home Position) ของแขนกลนำและแขนกลตาม .....	38
รูปที่ 4.2	การติดตั้งอุปกรณ์ตรวจรู้แรงและการยึดจับชิ้นงาน.....	39
รูปที่ 4.3	การติดตั้งแขนกลนำบนรางเลื่อนสำหรับการกัตชิ้นงาน .....	40
รูปที่ 4.4	ตำแหน่งของดอกกัตในแนวแกน Xw เมื่อดอกกัตเคลื่อนที่ด้วยความเร็ว 2,6 และ 10 มิลลิเมตรต่อวินาที ตามลำดับ (ความลึกในการกัต 2 มิลลิเมตร) .....	42
รูปที่ 4.5	แรงกัตชิ้นงานในแนวแกน Xw เมื่อดอกกัตเคลื่อนที่ด้วยความเร็ว 2,6 และ 10 มิลลิเมตรต่อวินาที ตามลำดับ (ความลึกในการกัต 2 มิลลิเมตร) .....	43



รูปที่ 4.6 แรงกัตชิ้นงานในแนวแกน Yw เมื่อดอกกัตเคลื่อนที่ด้วยความเร็ว 2,6 และ 10 มิลลิเมตรต่อวินาที ตามลำดับ (ความลึกในการกัต 2 มิลลิเมตร) ..... 43

รูปที่ 4.7 แรงกัตชิ้นงานในแนวแกน Zw เมื่อดอกกัตเคลื่อนที่ด้วยความเร็ว 2,6 และ 10 มิลลิเมตรต่อวินาที ตามลำดับ (ความลึกในการกัต 2 มิลลิเมตร) ..... 44

รูปที่ 4.8 ตำแหน่งของดอกกัตในแนวแกน Zw เมื่อความลึกการกัตจากผิวชิ้นงานคือ 1,3 และ 5 มิลลิเมตร ตามลำดับ (ดอกกัตเคลื่อนที่ด้วยความเร็ว 2 มิลลิเมตรต่อวินาที)..... 44

รูปที่ 4.9 แรงกัตชิ้นงานในแนวแกน Xw เมื่อความลึกการกัตจากผิวชิ้นงานคือ 1,3 และ 5 มิลลิเมตร ตามลำดับ (ดอกกัตเคลื่อนที่ด้วยความเร็ว 2 มิลลิเมตรต่อวินาที) ..... 45

รูปที่ 4.10 แรงกัตชิ้นงานในแนวแกน Yw เมื่อความลึกการกัตจากผิวชิ้นงานคือ 1,3 และ 5 มิลลิเมตร ตามลำดับ (ดอกกัตเคลื่อนที่ด้วยความเร็ว 2 มิลลิเมตรต่อวินาที) ..... 46

รูปที่ 4.11 แรงกัตชิ้นงานในแนวแกน Zw เมื่อความลึกการกัตจากผิวชิ้นงานคือ 1,3 และ 5 มิลลิเมตร ตามลำดับ (ดอกกัตเคลื่อนที่ด้วยความเร็ว 2 มิลลิเมตรต่อวินาที)..... 46

รูปที่ 4.12 แรงกัตชิ้นงานเมื่อวางชิ้นงานเอียง 10 องศาและดอกกัตเคลื่อนที่ในทิศทาง  $-Xw$  ด้วยความเร็ว 2 และ 4 มิลลิเมตรต่อวินาที..... 47

รูปที่ 4.13 ตำแหน่งคอมไพลแอนท์แนวแกน Xw เมื่อปรับค่าเกณฑ์  $K_A$  และ  $K_V$  ..... 48

รูปที่ 4.14 ตำแหน่งการเคลื่อนที่ของดอกกัตในแนวแกน Xw เมื่อวางชิ้นงานเป็นมุมเอียง (กำหนดให้ดอกกัตเคลื่อนที่ทิศทาง  $-Xw$  ความเร็ว 2 มิลลิเมตรต่อวินาที)..... 49

รูปที่ 4.15 แรงกัตในแนวแกน Xw เมื่อวางชิ้นงานเป็นมุมเอียง (กำหนดให้ดอกกัตเคลื่อนที่ทิศทาง  $-Xw$  ความเร็ว 2 มิลลิเมตรต่อวินาที)..... 50

รูปที่ 4.16 ลักษณะการเคลื่อนที่ตามจับแขนกลนำของผู้ดำเนินการในทิศทาง  $-X$  ..... 51

รูปที่ 4.17 ความเร็วการเคลื่อนที่ของตามจับและแรงสะท้อนกลับกระทำต่อมือผู้ดำเนินการ .... 52

รูปที่ 4.18 ชิ้นงานที่ได้จากการกัตเป็นเส้นตรง (ความลึก 2 มิลลิเมตร) ..... 54

รูปที่ 4.19 ตำแหน่งของดอกกัตบนระนาบ  $XwYw$  เมื่อทำการกัตชิ้นงานเป็นเส้นตรง..... 54

รูปที่ 4.20 ตำแหน่งและแรงกัตชิ้นงานในแนวแกน Xw เมื่อทำการกัตชิ้นงานเป็นเส้นตรง ..... 55

รูปที่ 4.21 ตำแหน่งและแรงกัตชิ้นงานในแนวแกน Yw เมื่อทำการกัตชิ้นงานเป็นเส้นตรง ..... 55

รูปที่ 4.22 ตำแหน่งและแรงกัตชิ้นงานในแนวแกน Zw เมื่อทำการกัตชิ้นงานเป็นเส้นตรง ..... 56

รูปที่ 4.23 ตำแหน่งของดอกกัตในแนวแกน Xw เมื่อกัตชิ้นงานเป็นเส้นตรง (เคลื่อนดอกกัตแบบมาสเตอร์-สเลฟในทิศทาง  $-Xw$ ) ..... 57

รูปที่ 4.24 ตำแหน่งของดอกกัตและแรงกัตชิ้นงานในแนวแกน Xw เมื่อกัตชิ้นงานเป็นเส้นตรง (เคลื่อนดอกกัตแบบมาสเตอร์-สเลฟในทิศทาง  $-Xw$ ) ..... 58

รูปที่ 4.25 ตำแหน่งของดอกกัทและแรงกัทขึ้นงานในแนวแกน Yw เมื่อกัทขึ้นงานเป็นเส้นตรง (เคลื่อนดอกกัทแบบมาสเตอร์-สเลฟในทิศทาง -Xw) .....	58
รูปที่ 4.26 ตำแหน่งของดอกกัทและแรงกัทขึ้นงานในแนวแกน Zw เมื่อกัทขึ้นงานเป็นเส้นตรง (เคลื่อนดอกกัทแบบมาสเตอร์-สเลฟในทิศทาง -Xw) .....	58
รูปที่ 4.27 ตำแหน่งคอมไพลแอนท์ในแนวแกน Xw Yw และ Zw เมื่อกัทขึ้นงานเป็นเส้นตรง (เคลื่อนดอกกัทแบบมาสเตอร์-สเลฟในทิศทาง -Xw) .....	60
รูปที่ 4.28 แรงสะท้อนกลับต่อมือผู้ดำเนินการแนวแกน X Y และ Z เมื่อกัทขึ้นงานเป็นเส้นตรง (เคลื่อนดอกกัทแบบมาสเตอร์-สเลฟในทิศทาง -Xw) .....	60
รูปที่ 4.29 ชิ้นงานที่ได้จากการกัทเป็นหลุม (ความลึก 2 มิลลิเมตร) .....	61
รูปที่ 4.30 ตำแหน่งของดอกกัทบนระนาบ XwYw เมื่อทำการกัทขึ้นงานเป็นหลุม .....	62
รูปที่ 4.31 ตำแหน่งและแรงกัทขึ้นงานในแนวแกน Xw เมื่อทำการกัทขึ้นงานเป็นหลุม .....	63
รูปที่ 4.32 ตำแหน่งและแรงกัทขึ้นงานในแนวแกน Yw เมื่อทำการกัทขึ้นงานเป็นหลุม .....	64
รูปที่ 4.33 ตำแหน่งและแรงกัทขึ้นงานในแนวแกน Zw เมื่อทำการกัทขึ้นงานเป็นหลุม .....	64
รูปที่ 4.34 ตำแหน่งของดอกกัทในแนวแกน Xw เมื่อกัทขึ้นงานเป็นหลุม (เคลื่อนดอกกัทแบบมาสเตอร์-สเลฟในแนวแกน Xw) .....	65
รูปที่ 4.35 ตำแหน่งของดอกกัทและแรงกัทขึ้นงานในแนวแกน Xw เมื่อกัทขึ้นงานเป็นหลุม (เคลื่อนดอกกัทแบบมาสเตอร์-สเลฟในแนวแกน Xw) .....	66
รูปที่ 4.36 ตำแหน่งของดอกกัทและแรงกัทขึ้นงานในแนวแกน Yw เมื่อกัทขึ้นงานเป็นหลุม (เคลื่อนดอกกัทแบบมาสเตอร์-สเลฟในแนวแกน Xw) .....	67
รูปที่ 4.37 ตำแหน่งของดอกกัทและแรงกัทขึ้นงานในแนวแกน Zw เมื่อกัทขึ้นงานเป็นหลุม (เคลื่อนดอกกัทแบบมาสเตอร์-สเลฟในแนวแกน Xw) .....	67
รูปที่ 4.38 ตำแหน่งคอมไพลแอนท์ในแนวแกน Xw Yw และ Zw เมื่อกัทขึ้นงานเป็นหลุม (เคลื่อนดอกกัทแบบมาสเตอร์-สเลฟในแนวแกน Xw) .....	68
รูปที่ 4.39 แรงสะท้อนกลับต่อมือผู้ดำเนินการแนวแกน X Y และ Z เมื่อกัทขึ้นงานเป็นหลุม (เคลื่อนดอกกัทแบบมาสเตอร์-สเลฟในแนวแกน Xw) .....	69
รูปที่ 4.40 ชิ้นงานที่ได้จากการกัทเป็นวงกลม (ความลึก 2 มิลลิเมตร) .....	71
รูปที่ 4.41 ตำแหน่งของดอกกัทบนระนาบ XwYw เมื่อทำการกัทขึ้นงานเป็นวงกลม .....	72
รูปที่ 4.42 ตำแหน่งและแรงกัทขึ้นงานในแนวแกน Xw เมื่อทำการกัทขึ้นงานเป็นวงกลม .....	73
รูปที่ 4.43 ตำแหน่งและแรงกัทขึ้นงานในแนวแกน Yw เมื่อทำการกัทขึ้นงานเป็นวงกลม .....	74
รูปที่ 4.44 ตำแหน่งและแรงกัทขึ้นงานในแนวแกน Zw เมื่อทำการกัทขึ้นงานเป็นวงกลม .....	74

รูปที่ 4.45 ตำแหน่งของดอกกัทับระนาบ $XwYw$ เมื่อกัทซ์นงานเป็นวงกลม (เคลื่อนดอกกัทแบบมาสเตอร์-สเลฟแนวระนาบ $XwYw$ ) .....	75
รูปที่ 4.46 ตำแหน่งของดอกกัทและแรงกัทซ์นงานในแนวแกน $Xw$ เมื่อกัทซ์นงานเป็นวงกลม (เคลื่อนดอกกัทแบบมาสเตอร์-สเลฟแนวระนาบ $XwYw$ ) .....	76
รูปที่ 4.47 ตำแหน่งของดอกกัทและแรงกัทซ์นงานในแนวแกน $Yw$ เมื่อกัทซ์นงานเป็นวงกลม (เคลื่อนดอกกัทแบบมาสเตอร์-สเลฟแนวระนาบ $XwYw$ ) .....	77
รูปที่ 4.48 ตำแหน่งของดอกกัทและแรงกัทซ์นงานในแนวแกน $Zw$ เมื่อกัทซ์นงานเป็นวงกลม (เคลื่อนดอกกัทแบบมาสเตอร์-สเลฟแนวระนาบ $XwYw$ ) .....	77
รูปที่ 4.49 ตำแหน่งคอมไพลแอนท์ในแนวแกน $Xw$ $Yw$ และ $Zw$ เมื่อกัทซ์นงานเป็นวงกลม (เคลื่อนดอกกัทแบบมาสเตอร์-สเลฟแนวระนาบ $XwYw$ ) .....	78
รูปที่ 4.50 แรงสะท้อนกลับต่อมือผู้ดำเนินการแนวแกน $X$ $Y$ และ $Z$ เมื่อกัทซ์นงานเป็นวงกลม (เคลื่อนดอกกัทแบบมาสเตอร์-สเลฟแนวระนาบ $XwYw$ ) .....	79
รูปที่ ก.1 ส่วนประกอบต่างๆในไดอะล็อก (Dialog) .....	87

# บทที่ 1

## บทนำ

### 1.1 ความเป็นมาและความสำคัญของปัญหา

เมื่อหุ่นยนต์อุตสาหกรรมทำงานในลักษณะมีการสัมผัส (Interaction) กับ สิ่งแวดล้อม (Environment) เช่น การขัดผิวชิ้นงาน การประกอบชิ้นส่วน เป็นต้น การควบคุมตำแหน่ง การเคลื่อนที่ของหุ่นยนต์เพียงอย่างเดียวไม่เพียงพอต่อการทำงานเนื่องจากในทางปฏิบัติไม่สามารถสร้างแบบจำลองความแม่นยำสูงระหว่างการเคลื่อนที่ของหุ่นยนต์ (Kinematics and dynamics) กับ รูปร่างของสิ่งแวดล้อม (Geometry and Mechanical Feature) ถ้าหากการควบคุมตำแหน่งการเคลื่อนที่ที่ปลายของแขนหุ่นยนต์เกิดความผิดพลาดไปจากที่ได้ออกแบบไว้ หุ่นยนต์อาจเพิ่มแรงกระทำต่อสิ่งแวดล้อมจนเกิดความเสียหายต่อพื้นผิวของสิ่งแวดล้อมหรือ หุ่นยนต์เองดังนั้นจึงจำเป็นต้องมีการพัฒนาระบบควบคุมแรงและตำแหน่งควบคู่กัน (Caccavale et al., 2005)

การกัดชิ้นงานเป็นกระบวนการหนึ่งสำหรับนำเนื้อวัสดุออก (Material removal process) จากชิ้นงานเริ่มต้นจนกระทั่งได้ชิ้นงานที่มีลักษณะตามต้องการ ในการกัดชิ้นงาน จะต้องมีการสัมผัสระหว่างคมของดอกกัดและเนื้อวัสดุ การเคลื่อนดอกกัดตามเส้นทางเดินที่กำหนดขึ้น (tool path) จะทำให้เกิดแรงกัดชิ้นงานในทิศทางต่างๆ ซึ่งสามารถตรวจวัดได้ด้วย อุปกรณ์ตรวจรู้แรง (Force sensor) เมื่อกำหนดให้ดอกกัดเคลื่อนที่ด้วยความเร็ว (feed-rate) หรือมีความลึกในการกัด (depth of cut) ที่ไม่เหมาะสมจะส่งผลถึงพื้นผิวของชิ้นงานและการสึกหรอของดอกกัด เนื่องจากแรงกัดที่เกิดขึ้นมีความสัมพันธ์กับการเคลื่อนที่ของดอกกัด ในขณะที่ทำการกัดชิ้นงาน จึงได้มีการศึกษาวิธีการนำค่าแรงกัดชิ้นงานมาใช้ตรวจสอบพฤติกรรมของดอกกัดที่เกิดขึ้นในขณะที่กัดชิ้นงาน ลักษณะของดอกกัดที่มีการศึกษาแรงกัดผิวชิ้นงานเป็นส่วนมากคือดอกกัดชนิดหัวทรงกลม (Ball-Ended Milling Tool) ซึ่งสามารถนำไปใช้ในงานกัดพื้นผิวที่มีความสลับซับซ้อนได้ดี

การควบคุมแรงโดยตรงเป็นวิธีการควบคุมแรงที่เกิดขึ้นขณะที่ปลายแขนกลมีการสัมผัสกับสิ่งแวดล้อมโดยอาศัยการวัดค่าแรงจากอุปกรณ์ตรวจรู้แรง และทำการควบคุมแรงนั้นให้ได้ตามค่าที่กำหนดพร้อมกับการควบคุมตำแหน่งปลายแขนกลให้เป็นไปตามเส้นทางเดินที่ต้องการ โดยปกติอุปกรณ์ตรวจรู้แรงจะมีค่าสัมประสิทธิ์สปริงสูงเมื่อปลายแขนกลมีการสัมผัสชิ้นงานเพียงเล็กน้อยก็สามารถทำการตรวจวัดค่าแรงได้ ส่งผลให้การควบคุมแรงกระทำในขณะที่ปลายแขนกลเริ่มสัมผัสผิวชิ้นงานมีความสะดวกขึ้น ดังนั้นงานวิจัยนี้จึงได้เสนอวิธีการควบคุมแรงโดยตรงสำหรับประยุกต์ใช้ในการควบคุมแรงและตำแหน่งของดอกกัดในขณะที่ทำการกัดชิ้นงาน

ด้วยแขนกลที่มีโครงสร้างแบบขนาน 5 แกน ตระกูล เอช-4 ซึ่งได้พัฒนาขึ้นสำหรับการกัดชิ้นงาน ร่วมกับแขนกลแฮปติก 6 องศาอิสระที่มีโครงสร้างแบบขนาน เพื่อให้แรงกัดชิ้นงานที่วัดค่าได้มีค่าใกล้เคียงกับค่าที่กำหนดและตำแหน่งของดอกกัดเป็นไปตามค่าที่ต้องการ

## 1.2 วัตถุประสงค์ของการวิจัย

1. เพื่อพัฒนาวิธีการควบคุมแรงที่ปลายแขนกลแบบขนานตระกูลเอช 4 ในงานการกัดชิ้นงาน (Milling) โดยอาศัยการวัดแรงในขณะที่กัดชิ้นงานโดยตรง
2. เพื่อศึกษาลักษณะการนำแรงที่เกิดขึ้นขณะทำการกัดชิ้นงาน มาใช้ให้เกิดความรู้สึกต่อมือของผู้ดำเนินการ

## 1.3 ขอบเขตของการวิจัย

1. สามารถควบคุมแรงและตำแหน่งของปลายแขนกลขณะทำการกัดชิ้นงานโดยอาศัยการวัดค่าแรงโดยตรง
2. สามารถใช้ระบบแขนกลตามร่วมกับแขนกลแฮปติกเพื่อสร้างชิ้นงานต้นแบบ โดยมีการสะท้อนแรงกระทำ (Force Reflection) ไปที่มือของผู้ดำเนินการ

## 1.4 ขั้นตอนการดำเนินงาน

1. ศึกษาและวิเคราะห์ผลงานวิจัยที่เกี่ยวข้อง
2. ศึกษาการทำงานของแขนกลแฮปติก และ แขนกลตาม
3. ทำการทดสอบการเคลื่อนที่ของแขนกลตามร่วมกับแขนกลแฮปติก
4. ศึกษาการควบคุมแรงจากการวัดค่าแรงโดยตรง
5. ทดลองการเคลื่อนที่ของแขนกลตามและบันทึกค่าแรงที่วัดได้
6. ทำการทดลองควบคุมแรงที่เกิดขึ้นขณะกัดชิ้นงาน
7. ทำการทดลองการทำงานของแขนกลตามร่วมกับแขนกลแฮปติก
8. สรุปผลและจัดทำบทความสำหรับการตีพิมพ์ในวารสาร

## 1.5 ประโยชน์ที่คาดว่าจะได้รับ

1. ระบบกลแขนกลแบบขนานสำหรับกัดชิ้นงานที่สามารถควบคุมแรงและตำแหน่งในการกัดชิ้นงาน
2. ระบบการทำงานร่วมกันระหว่างแขนกลเคลื่อนที่ตามและแขนกลแฮปติกโดยมีการส่งผ่านแรงกระทำขณะกัดชิ้นงานต่อมือของผู้ดำเนินการ
3. สร้างองค์ความรู้ในการควบคุมแรงและตำแหน่งของระบบแขนกลแบบขนาน

## บทที่ 2

### ความรู้เบื้องต้นและงานวิจัยที่เกี่ยวข้อง

เนื้อหาในส่วนนี้ประกอบด้วยข้อมูลจากงานวิจัยและข้อมูลเบื้องต้นที่เกี่ยวข้อง ซึ่งผู้วิจัยได้รวบรวมจากวารสารทางวิชาการเพื่อให้เกิดแนวทางในการศึกษาต่อไป โดยได้จัดกลุ่มหัวข้องานวิจัยออกเป็น 4 กลุ่ม ประกอบด้วย 1) การควบคุมแขนกลเมื่อมีการสัมผัสกับสิ่งแวดล้อม 2) การทำงานแบบมาสเตอร์ – สเลฟ 3) การสร้างเส้นทางเดินของดอกกัดเพื่อกัดชิ้นงาน และ 4) การศึกษาและวิเคราะห์แรงกัดชิ้นงาน

เมื่อทำการศึกษางานวิจัยในแต่ละกลุ่ม พบว่าการควบคุมแขนกลขณะมีการสัมผัสกับสิ่งแวดล้อมนั้นมีความสำคัญต่อการทำงานเป็นอย่างมาก เนื่องจากงานที่แขนกลทำจะต้องมีการเคลื่อนที่ที่ปลายแขนและมีการทำงานร่วมกับอุปกรณ์อื่นๆ โดยเฉพาะเมื่อแขนกลเป็นส่วนหนึ่งในระบบการทำงานแบบแขนกลนำ-ตาม หรือ มาสเตอร์-สเลฟ (Master-Slave operation) ปลายแขนกลของแขนกลตามจะเกิดการเคลื่อนที่ตามตำแหน่งหรือเส้นทางที่กำหนดโดยแขนกลนำ โดยที่ในแต่ละคาบเวลา (sampling period) ที่ใช้ในการควบคุมซึ่งไม่ได้มีการกำหนดค่าตำแหน่งเอาไว้ก่อนล่วงหน้า เมื่อเกิดการชนกับสิ่งกีดขวางหรือเกิดการกระทำกับสิ่งแวดล้อม ทำให้การเคลื่อนที่ของปลายแขนหุ่นยนต์ไม่เป็นไปตามค่าตำแหน่งที่กำหนดโดยแขนกลนำ และอาจเกิดความเสียหายต่อบริเวณที่เกิดการสัมผัสหรือการชนนั้น การทำงานของปลายแขนกลในลักษณะการทำงานแบบมาสเตอร์-สเลฟนั้นสามารถนำมาประยุกต์ใช้กับงานได้หลายประเภท เช่น การใช้แขนกลในงานการแพทย์เพื่อการผ่าตัดศัลยกรรม การทำงานหยิบจับสิ่งของแทนมนุษย์ การประกอบหรือตกแต่งชิ้นงาน เป็นต้น ซึ่งปลายแขนหุ่นยนต์ตาม (slave manipulator arm) จะต้องมีการสัมผัสกับสิ่งแวดล้อม การควบคุมตำแหน่งของปลายแขนจึงจะต้องพิจารณาทั้งการควบคุมตำแหน่งและการควบคุมแรงกระทำกับสิ่งแวดล้อมควบคู่กันไป

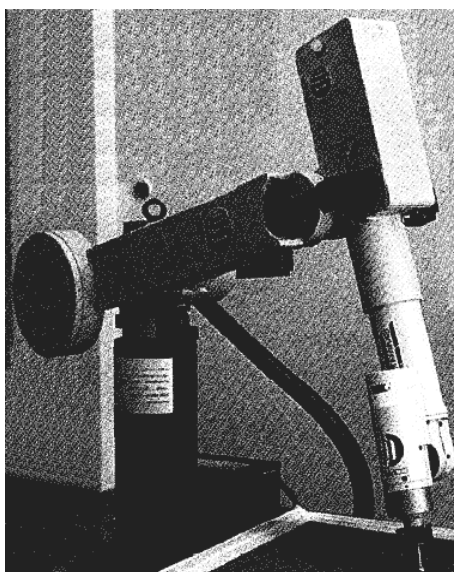
การสร้างชิ้นงานด้วยวิธีการกัดตามเส้นทางเดินที่กำหนดไว้เพื่อให้ได้ชิ้นงานที่มีรูปร่างของพื้นผิวตามต้องการ นิยมใช้ดอกกัดหัวทรงกลม (Ball-End Mill) เนื่องจากความสามารถในการสร้างผิวชิ้นงานที่มีความซับซ้อนทำได้ดีกว่าดอกกัดที่มีรูปทรงต่างออกไป จึงได้มีงานวิจัยที่ทำการศึกษการสร้างเส้นทางเดินสำหรับการเคลื่อนดอกกัดชิ้นงานหัวทรงกลมและทดสอบการกัดชิ้นงานด้วยเครื่องกัด CNC โดยการเคลื่อนที่ดอกกัดนั้น จะต้องมีการกำหนดให้ความเร็วการเคลื่อนที่หรือความเร็วของการกัดชิ้นงาน (feed-rate) มีความเร็วที่เหมาะสม เพื่อให้ได้ผิวชิ้นงานที่มีคุณภาพดีและใช้ระยะเวลาในการดำเนินการสั้น งานวิจัยจำนวนมากพยายามศึกษาแรงกัดที่เกิดขึ้นในขณะที่ทำการกัดชิ้นงานเพื่อเป็นข้อมูลประกอบสำหรับการกำหนดพารามิเตอร์ที่เหมาะสมในการกัด (cutting conditions) ซึ่งประกอบด้วย ความเร็วการเคลื่อนที่

ของดอกกัด (feed-rate) ความเร็วการหมุนของดอกกัด (spindle speed) และความลึกในการกัด (depth of cut) ค่าพารามิเตอร์ดังกล่าวจะมีการเปลี่ยนแปลงไปตามชนิดของวัสดุที่ใช้ในการกัดชิ้นรูป (workpiece material) และวัสดุที่ใช้ในการทำดอกกัด (cutting tool material)

เมื่อทำการติดตั้งดอกกัดชิ้นงานไว้ที่ปลายแขนกลสำหรับใช้ในการกัดชิ้นงานแล้วจึงควรทำการศึกษาแรงที่เกิดขึ้นในขณะที่ดอกกัดมีการสัมผัสกับเนื้อวัสดุของชิ้นงานเพื่อเป็นข้อมูลประกอบสำหรับการกัดชิ้นงาน งานวิจัยนี้จึงได้นำเสนอผลการศึกษากัดชิ้นงานที่เกิดขึ้นเพื่อใช้ประกอบการควบคุมแรงกัดและตำแหน่งของดอกกัดในขณะที่ทำการกัดชิ้นงาน

## 2.1 การควบคุมแขนกลเมื่อปลายแขนกลมีการสัมผัสกับสิ่งแวดล้อม

เมื่อปลายแขนกลมีการเคลื่อนที่จนเกิดการสัมผัสกับสิ่งแวดล้อมซึ่งอาจเป็นพื้นผิวที่แข็งก็จะเกิดแรงกระทำระหว่างพื้นผิวนั้นกับปลายแขนกล ถ้าหากแรงที่เกิดขึ้นมีค่ามากอาจทำให้พื้นผิวของสิ่งแวดล้อมนั้นหรือพื้นผิวของปลายแขนกลเกิดความเสียหายได้ จึงได้มีงานวิจัยที่ทำการศึกษาวิธีการควบคุมแขนกลให้สามารถทำงานในขณะที่มีการสัมผัสกับสิ่งแวดล้อมได้ เช่น Chiaverini and Sciavicco (1993) แสดงระบบจำลองสำหรับใช้ในการศึกษาการควบคุมแรงและตำแหน่งปลายแขนกลเมื่อเกิดการสัมผัสกับสิ่งแวดล้อมโดยให้ลำดับความสำคัญของแรงมากกว่าตำแหน่งปลายแขนกล ผลการจำลองโดยสมมติให้สิ่งแวดล้อมมีความยืดหยุ่น พบว่าการจำลองแรงที่เกิดขึ้นส่งผลดีแม้ว่าไม่มีการคาดหมายตำแหน่งของสิ่งแวดล้อมเอาไว้ก่อน Chiaverini et al. (1994) ศึกษาการควบคุมแรงให้มีค่าเป็นศูนย์ (Regulation) ด้วยระบบจำลองสำหรับแขนกลเมื่อตำแหน่งปลายแขนกลของระบบจำลองเปลี่ยนแปลงไปจนเกิดการสัมผัสกับแบบจำลองสิ่งแวดล้อม โดยแสดงผลการคำนวณเปรียบเทียบกับกรณีที่ไม่มีการควบคุมแรง Ferretti et al. (1995) ทำการทดลองควบคุมแรงที่วัดได้จากอุปกรณ์ตรวจรู้แรงที่ติดตั้งที่ปลายแขนกลขณะเกิดการสัมผัสกับสิ่งแวดล้อม โดยใช้การควบคุมแรงแบบอินทิกรัล (Integral) เพื่อสนับสนุนแบบจำลองทางทฤษฎี พบว่าการควบคุมแรงแบบอินทิกรัลยังคงให้ผลที่ดีเมื่อเปรียบเทียบกับ การควบคุมแรงแบบสัดส่วน (Proportional) Chiaverini et al. (1998) ทำการทดลองควบคุมแรงที่วัดค่าได้จากอุปกรณ์ตรวจรู้แรงและตำแหน่งปลายแขนกลให้ได้ตามค่าที่กำหนดไว้ (ดังแสดงในรูปที่ 2.1) โดยใช้วิธีการปรับค่าพารามิเตอร์ในการจำลองความแข็งของสิ่งแวดล้อม (Stiffness Adaptation) ร่วมกับวิธีการควบคุมแบบป้อนไปข้างหน้า (Feed Forward control) และแบบจำลองระบบทางพลวัต (Dynamic Model) ส่งผลให้ลักษณะของแรงที่เกิดขึ้นมีค่าใกล้เคียงกับค่าที่กำหนดไว้มากขึ้น และส่งผลที่ดีในขณะที่ปลายแขนกลเริ่มสัมผัสกับสิ่งแวดล้อมเมื่อเปรียบเทียบกับกรณีที่ไม่มีการปรับค่าพารามิเตอร์ในการจำลองความแข็งของสิ่งแวดล้อม



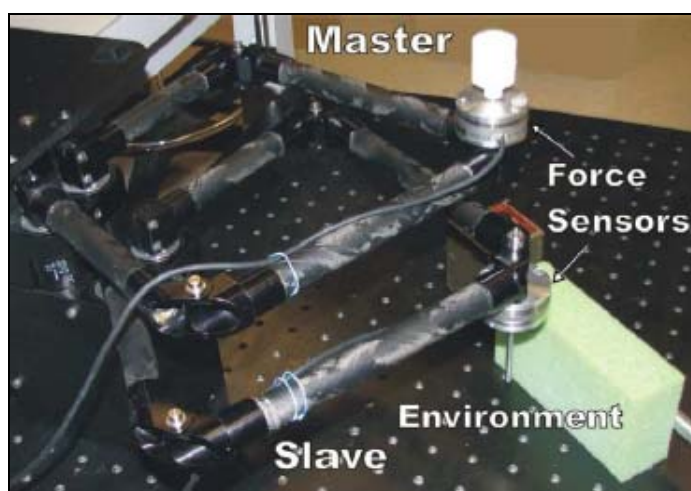
รูปที่ 2.1 ปลายแขนกลมีการสัมผัสกับสิ่งแวดล้อม (แผ่นชิ้นงาน) (Chiaverini et al.,1998)

## 2.2 การทำงานแบบมาสเตอร์ – สเลฟ (Master-Slave Operation)

ระบบการทำงานแบบมาสเตอร์-สเลฟ ประกอบด้วย แขนกลนำ (master arm) และ แขนกลตาม (slave arm) ซึ่งมีการทำงานสอดคล้องกันภายในบริเวณที่กำหนดขึ้น แขนกลตาม จะทำงานได้โดยอาศัยการรับและส่งค่าจากแขนกลนำผ่านชุดอุปกรณ์ควบคุม โดยมนุษย์จะ ควบคุมแขนกลนำให้เคลื่อนไปตามทางเดินที่มนุษย์เป็นผู้กำหนด การทำงานในลักษณะนี้เป็น การทำงานที่เป็นการผสมผสานระหว่างสิ่งดีของมนุษย์และเครื่องจักรกล กล่าวคือ มนุษย์มีความ ยืดหยุ่นในการทำงาน สามารถตัดสินใจที่ลึบซับซ้อนได้ค่อนข้างดี ในขณะที่แขนหุ่นยนต์ที่ ควบคุมการทำงานด้วยคอมพิวเตอร์สามารถทำงานที่มีความแม่นยำสูงได้ การทำงานในลักษณะ แขนกลนำ-ตามจึงเหมาะสำหรับการทำงานโดยตรงกับสิ่งแวดล้อมแทนมนุษย์ ในพื้นที่อันตราย พื้นที่ระยะไกล หรือ งานที่ไม่สามารถกำหนดทิศทางเคลื่อนที่ของปลายแขนกลไว้ก่อน เช่น งานทางการแพทย์หรือการผ่าตัด เพราะผู้ดำเนินการสามารถปรับการเคลื่อนที่ของปลายแขนกล ตามโดยการเคลื่อนด้ามจับของแขนกลนำไปยังตำแหน่งและทิศทางที่ต้องการ จากนั้นระบบ ควบคุมจะทำให้ปลายแขนของแขนกลตามเคลื่อนที่ไปยังตำแหน่งและทิศทางนั้นๆเอง โดยปกติ แขนกลนำจะมีอุปกรณ์สร้างแรงสะท้อนกลับกระทำต่อมือของผู้ดำเนินการหรือเป็นอุปกรณ์ที่ เรียกว่า อุปกรณ์แฮปติก (Haptic Device) เพื่อให้ผู้ดำเนินการหรือผู้ควบคุมแขนกลนำเกิด ความรู้สึกขึ้นขณะเกิดการเคลื่อนที่เข้าไปในบริเวณที่ไม่ต้องการ หรือ ขณะปลายแขนกลตาม สัมผัสกับสิ่งแวดล้อม งานวิจัยที่มีการศึกษาการทำงานแบบมาสเตอร์-สเลฟ เช่น Ibeas and de la Sen (2006) ได้ออกแบบระบบควบคุมเพื่อให้เกิดเสถียรภาพขณะแขนกลตามสัมผัสกับ สิ่งกีดขวางโดยใช้การประมาณค่าพารามิเตอร์แบบหลายค่า (Multi-Estimation scheme) ในแต่ละคาบเวลาทั้งในส่วนของแขนกลนำและแขนกลตาม ผลการทดลองกับสิ่งกีดขวางที่มี ความยืดหยุ่น แสดงให้เห็นว่าการประมาณค่าพารามิเตอร์แบบหลายค่าทำให้สามารถควบคุม



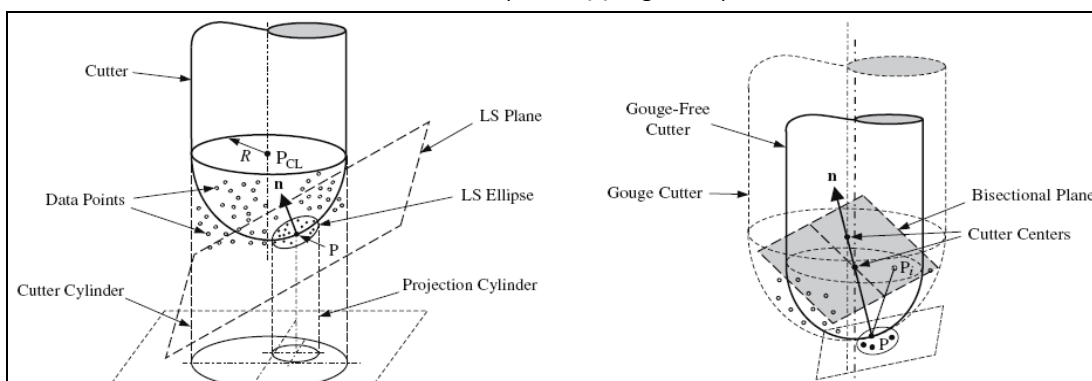
แรงในขณะเกิดการสัมผัสได้ดีกว่าการประมาณค่าพารามิเตอร์แบบค่าเดียว ระบบควบคุมดังกล่าวจึงให้ความรู้สึกที่ดีต่อมือของผู้ดำเนินการได้มากขึ้น Katherine et al.(2006) ได้เสนอแนวทางการลดผลกระทบจากแรงสะท้อนกลับที่มีต่อการเปลี่ยนแปลงตำแหน่งของแขนกลนำโดยจำลองระบบเพื่อหาความสัมพันธ์ระหว่างแรงสะท้อนกลับและตำแหน่งที่เปลี่ยนแปลงจากการพิจารณาโครงสร้างของแขนกลนำ งานวิจัยนี้ได้เสนอผลการเปรียบเทียบในกรณีที่มีการเคลื่อนที่ 1 องศาอิสระ Gasparetto et al.(2009) เสนอวิธีการควบคุมแรงสะท้อนกลับเพื่อให้ผู้ดำเนินการเกิดความรู้สึกที่ดี ขณะทำการควบคุมการเคลื่อนที่ของเครื่องมือผ่าตัดโดยอาศัยวิธีการปรับค่าการสร้างแรงสะท้อนกลับจากค่าตำแหน่งของปลายแขนกลนำ และค่าแรงที่วัดได้ด้วยอุปกรณ์ตรวจรู้แรงในขณะที่ปลายแขนกลตามสัมผัสกับชิ้นงาน Malysz and Sirouspour (2009) แสดงการจำลองแรงสะท้อนกลับที่กระทำต่อมือผู้ดำเนินการแบบไม่เป็นเชิงเส้นเพื่อประยุกต์ใช้กับกรณีที่แขนกลตามสัมผัสกับพื้นผิวอ่อนนุ่ม (ดังรูปที่ 2.2) โดยทดลองกับวัสดุฟองน้ำเมื่อแขนกลทั้งสองเคลื่อนที่แบบ 2 แกนในแนวราบ (plane motion) Hyung et al.(2010) กล่าวถึงการประมาณค่าแรงขณะปลายแขนกลตามสัมผัสกับสิ่งแวดล้อมสำหรับประยุกต์ใช้กับงานด้านศัลยกรรมโดยไม่ต้องมีอุปกรณ์ตรวจรู้แรงที่ปลายแขนกลตามระบบแขนกลประกอบด้วยแขนกล Phantom เป็นแขนกลนำและใช้แขนกลตามที่สามารถเคลื่อนที่ได้เพียง 1 แกนเพื่อให้เกิดการเคลื่อนที่สัมผัสกับวัสดุ 2 ชนิดแล้วส่งแรงสะท้อนกลับมายังมือของผู้ดำเนินการ หากใช้วิธีการประมาณค่าจะได้ค่าแรงที่มีลักษณะการสั่นน้อยกว่าการใช้ค่าแรงที่วัดได้จากอุปกรณ์ตรวจรู้แรงโดยตรง Hosseini-Suny et al.(2010) ได้เสนอวิธีการควบคุมระบบแขนกลให้มีเสถียรภาพเมื่อมีความล่าช้าของเวลา (time delay) ในการส่งข้อมูลทั้งในส่วนของแขนกลนำและแขนกลตาม โดยได้แนะนำการประมาณค่าเวลาที่เกิดความล่าช้าและใช้การทำนายแรงและตำแหน่งของแขนกลตามเมื่อเกิดการสัมผัสกับสิ่งแวดล้อม



รูปที่ 2.2 ระบบแขนกลมีการทำงานแบบมาสเตอร์-สเลฟในขณะสัมผัสกับวัสดุฟองน้ำ  
(Malysz and Sirouspour, 2009)

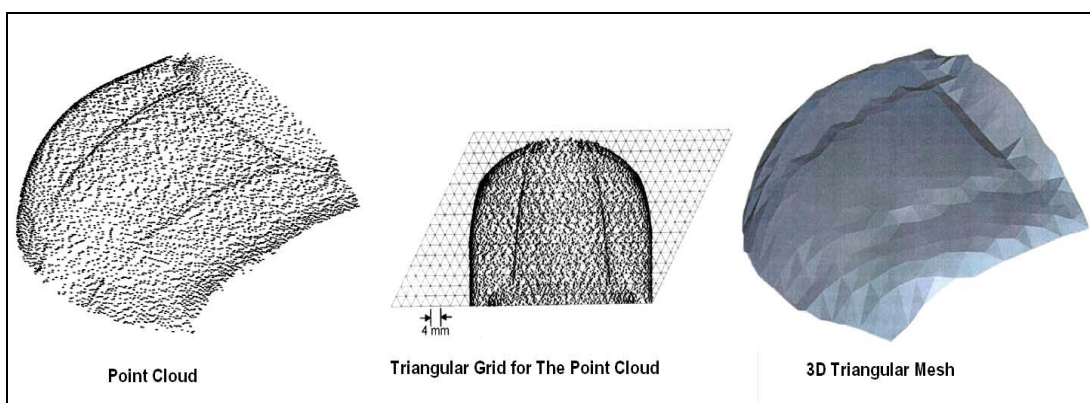
### 2.3. การสร้างเส้นทางเดินดอกกัดและการกัดชิ้นงาน

ข้อมูลจุดบนพื้นผิวของชิ้นงานสามารถหาได้โดยตรงจากเครื่องมือในงานวิศวกรรมย้อนกลับ กระบวนการจำลองพื้นผิวของชิ้นงานโดยอาศัยกลุ่มของข้อมูลจุด (point cloud) ดังกล่าวค่อนข้างซับซ้อนและใช้ระยะเวลาการดำเนินการมากในการที่จะสร้างหรือจำลองพื้นผิว 3 มิติจากข้อมูลจุดดังกล่าว โดยเฉพาะเมื่อมีปริมาณข้อมูลจุดเป็นจำนวนมาก ดังนั้น เพื่อลดขั้นตอนการจำลองพื้นผิวชิ้นงานจึงมีงานวิจัยที่เสนอวิธีการดังต่อไปนี้ Teng et al.(2006) ได้นำเสนอการสร้างเส้นทางเดินของดอกกัดหัวทรงกลมสำหรับการกัดแบบ 3 แกนในบริเวณที่พื้นผิวมีความซับซ้อนให้มีประสิทธิภาพ โดยทำการแบ่งชุดของข้อมูลจุด (data points) ตรงบริเวณที่พื้นผิวมีความสลับซับซ้อนให้เป็นบริเวณที่มีความหนาแน่นสูงและความหนาแน่นต่ำและเลือกขนาดเส้นผ่านศูนย์กลางของดอกกัดให้เหมาะสม (ดังรูปที่ 2.3) โดยเลือกใช้ดอกกัดขนาดใหญ่สำหรับบริเวณที่ข้อมูลจุดมีความหนาแน่นต่ำ และ เลือกดอกกัดขนาดเล็กสำหรับบริเวณที่ข้อมูลจุดมีความหนาแน่นสูงซึ่งเป็นบริเวณที่พื้นผิวชิ้นงานมีความซับซ้อนสูง เพื่อลดความผิดพลาดซึ่งอาจจะเกิดจากการกัดเข้าไปในบริเวณที่ไม่ต้องการ (Gouge-Free) Chui et al.(2008) ได้เสนอวิธีการสร้างเส้นทางเดินของดอกกัดหัวทรงกลมสำหรับการกัดชิ้นงานแบบ 5 แกน โดยอาศัยการสร้างโครงข่ายสามเหลี่ยมในสามมิติ (3D triangular mesh) จากกลุ่มข้อมูลจุด (point cloud) (ดังรูปที่ 2.4) เมื่อกำหนดให้ผิวของดอกกัดสัมผัสกับผิวของโครงข่ายสามเหลี่ยมแล้วจะสามารถหาดำแหน่งกึ่งกลางของปลายหัวดอกกัดชิ้นงานได้ ส่วนทิศทางการเคลื่อนที่ของดอกกัดชิ้นงานหาได้จากกรณีวิเคราะห์การเชื่อมต่อของเส้นโค้งซึ่งสร้างขึ้นจากผิวโครงข่ายสามเหลี่ยมในสามมิติ Yang et al.(2009) ได้เสนอวิธีการสร้างพื้นผิวชิ้นงานที่มีความต่อเนื่องจากข้อมูลกลุ่มจุดโดยตรง โดยอาศัยวิธีการ Moving Least-Squares เพื่อนำไปประยุกต์ใช้ในงานด้านการออกแบบพื้นผิวของผลิตภัณฑ์ หรือ งานสร้างต้นแบบ Makki et al.(2010) ได้แสดงลักษณะของชิ้นงานซึ่งได้จากการกัดโดยใช้เครื่องกัดแบบ 5 แกน โดยการใช้การสร้างเส้นทางเดินของดอกกัดจากกลุ่มข้อมูลจุดเมื่อกำหนดให้พื้นที่ที่เกิดการซ้อนทับกันระหว่างพื้นผิว (overlapping area) ให้มีค่าน้อยกว่าวิธีการปกติ



รูปที่ 2.3 ขนาดและตำแหน่งของดอกกัดที่เหมาะสมเมื่อมีการกำหนดบริเวณกลุ่มข้อมูลจุด

(Teng et al., 2006)



รูปที่ 2.4 ลักษณะกลุ่มจุดข้อมูลและการสร้างโครงข่ายสามเหลี่ยมในสามมิติ (Chui et al., 2008)

## 2.4 การวิเคราะห์แรงกัดชิ้นงาน

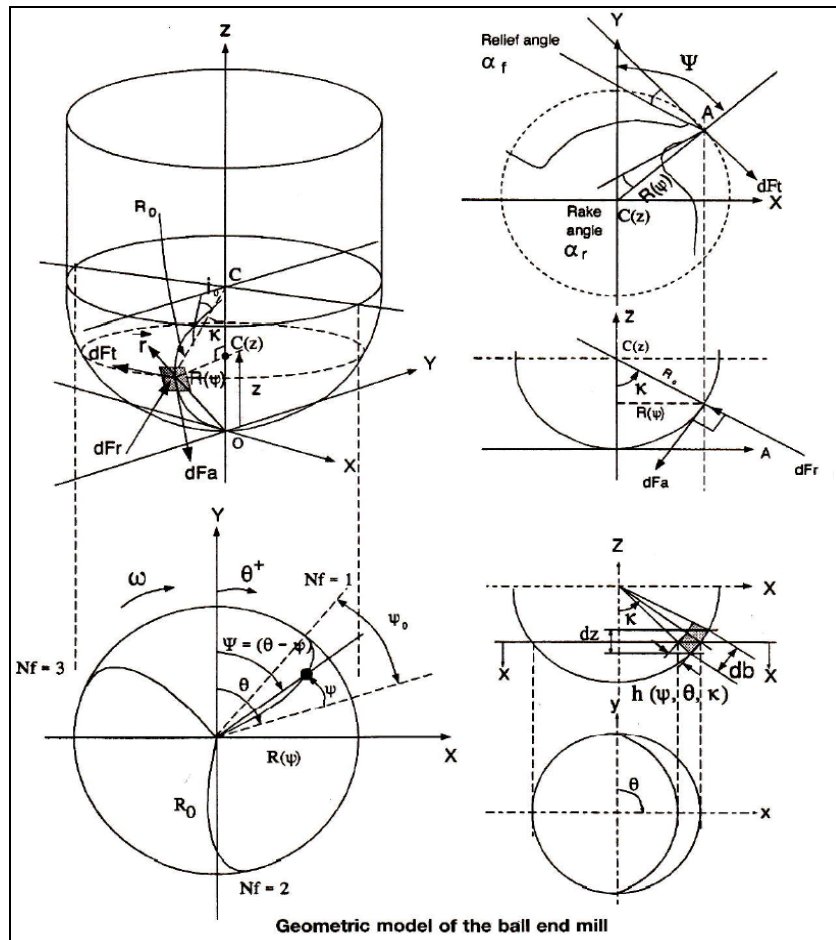
การสร้างชิ้นงานด้วยวิธีการกัดแบบเซาะร่อง (milling) เป็นวิธีการสร้างชิ้นงานแบบการนำเนื้อวัสดุออกจากชิ้นงานเริ่มต้น (material removal process) จนกระทั่งได้ชิ้นงานที่มีรูปร่างตามต้องการ โดยอาศัยการเคลื่อน (feed) ดอกกัดชิ้นงานที่หมุน (spin) ไปตามเส้นทางเดินที่ได้เตรียมไว้ โดยดอกกัดจะเคลื่อนที่ไปที่ตำแหน่งต่างๆของเครื่องกัดชิ้นงานตามคำสั่งของผู้ดำเนินการ

การกัดชิ้นงานที่มีพื้นผิวค่อนข้างซับซ้อนนิยมกัดด้วยเครื่องกัด CNC ชนิด 3 แกน และ 5 แกน โดยนิยมใช้ดอกกัดชิ้นงานชนิดหัวทรงกลม (Ball-End milling tool) โดยเส้นทางเดินของดอกกัดอาจได้มาจากการใช้โปรแกรมทางด้าน CAM (Computer Aided Manufacturing) โดยที่โปรแกรม CAM จะแปลงเส้นทางด้านของหัวกัด (tool path) ให้อยู่ในรูปของโปรแกรมรหัสจี (G-code) โปรแกรมรหัสจีที่สร้างจากโปรแกรม CAM นี้จะมีลักษณะเป็นชุดคำสั่งมาตรฐานที่เครื่อง CNC ที่มีขายอยู่ในท้องตลาดสามารถเข้าใจได้ โดยชุดควบคุมเครื่อง CNC จะทำการแปลรหัสจีให้เป็นคำสั่งในการควบคุมการทำงานของเครื่อง CNC พฤติกรรมหรือลักษณะการทำงานของดอกกัด (cutting conditions) ในขณะกัดชิ้นงานส่งผลถึงคุณภาพของผิวชิ้นงานและระยะเวลาที่ต้องใช้ในการดำเนินการ จึงได้มีการศึกษาผลของพารามิเตอร์ที่สำคัญในการกัดชิ้นงาน เช่น ความเร็วการหมุนของดอกกัด (spindle speed) ความเร็วการเคลื่อนที่ของดอกกัด (feed rate) และ ความลึกในการกัดของแต่ละทางเดิน (depth of cut) ในการกัดชิ้นงาน การกำหนดค่าพารามิเตอร์ของเงื่อนไขในการกัดเพื่อต้องการให้การกัดชิ้นงานใช้เวลาน้อย ถ้าไม่ระวังอาจจะก่อให้เกิดการสั่นสะเทือนแบบแชตเตอร์ (chattering vibration) คือหัวกัดจะสั่นที่ความถี่สูงทำให้มีผลต่อคุณภาพของผิวชิ้นงานที่ได้จากการกัด นอกจากนี้เมื่อทำการศึกษาแรงกัดที่เกิดขึ้นในขณะที่ดอกกัดเคลื่อนที่กัดชิ้นงาน จะทำให้ทราบถึงข้อมูลการสึกหรอ หรือการสั่นสะเทือนแบบแชตเตอร์ (chatter) ของดอกกัดที่จะส่งผลต่อคุณภาพพื้นผิวของชิ้นงาน Altintas and Lee(1998)ได้แสดงการวิเคราะห์แรงกัดด้วยได้สร้างแบบจำลองแรงของการกัดที่

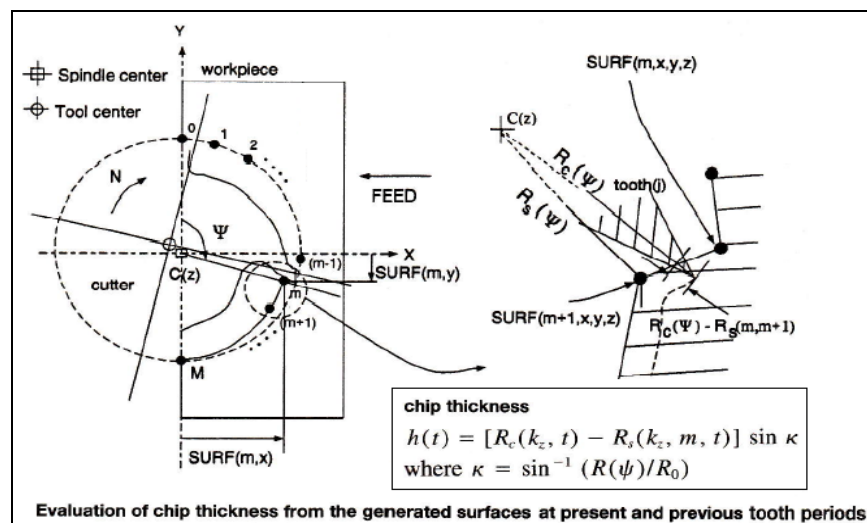
เกิดขึ้นกับการใช้ดอกกัดชนิดหัวทรงกลม (ดังแสดงในรูปที่ 2.5-2.7) และทำการทดลองกัดชิ้นงานที่เป็นวัสดุ Titanium Alloy (Ti6Al4V) ด้วยดอกกัดหัวทรงกลมแบบ 2 ฟันเป็นร่องเส้นตรงเปรียบเทียบกับผลจากการจำลองแรงกัด พบว่าสามารถทำนายแรงกัดในกรณีที่เกิดดอกกัดเกิดการสั่นชัตเตอร์ และไม่เกิดการสั่นชัตเตอร์ได้ ทำให้แบบจำลองทางกายภาพของดอกกัดดังกล่าวได้รับการยอมรับและมีการอ้างอิงจากงานวิจัยต่าง ๆ ต่อมา Lazoglu(2003) ได้เสนอวิธีการหาแบบจำลองแรงกัดชิ้นงานของดอกกัดหัวทรงกลม 4 ฟัน โดยพิจารณาจากข้อมูลตำแหน่งของดอกกัด ฟันผิวชิ้นงาน และบริเวณผิวที่ดอกกัดสัมผัสชิ้นงาน ทำการทดสอบวัดแรงกัดชิ้นงานที่เป็นวัสดุ Titanium Alloy (Ti6Al4V) เปรียบเทียบกับการคำนวณด้วยแบบจำลองเมื่อดอกกัดหมุนครบ 1 รอบ โดยแสดงให้เห็นว่าแรงกัดชิ้นงานจริงมีการเปลี่ยนแปลงในทิศทางเดียวกับแบบจำลอง Fussell et al.(2003) ได้จำลองแรงกัดและแสดงแบบจำลองลักษณะชิ้นงานที่ได้จากการกัดเปรียบเทียบกับผลการทดลองกัดชิ้นงานด้วยเครื่องกัดชนิด 5 แกน โดยทดลองกัดชิ้นงานที่เป็นวัสดุสแตนเลส (stainless steel) และ วัสดุอะลูมิเนียม 6061 Aluminum ด้วยดอกกัดแบบหัวทรงกลม โดยใช้แบบจำลองการประมาณการเคลื่อนที่ของดอกกัดแบบการกัด 3 แกน แบ่งการพิจารณาแรงกัดบริเวณที่ดอกกัดสัมผัสกับชิ้นงานเป็นช่วง ๆ ตามแนวแกนของดอกกัด (Z-buffer Spacing) แรงกัดที่จำลองได้เป็นไปในทิศทางเดียวกันกับการกัดชิ้นงาน โดยแรงกัดที่จำลองได้ควรมีค่าใกล้เคียงกับค่าที่วัดได้ หากสามารถตรวจสอบการสึกหรอของดอกกัดได้อย่างแม่นยำมากขึ้น Lamikiz et al.(2004) ได้อาศัยแบบจำลองแรงกัดชิ้นงานพื้นฐานของ Y. Altintas เพื่อประมาณแรงกัดของวัสดุอะลูมิเนียม Al7075-T6 และ วัสดุเหล็ก (AISI H13 52 HRC) เมื่อดอกกัดชิ้นงานมีการเคลื่อนที่ในทิศทางหรือลงตามแนวลาดเอียงของชิ้นงาน โดยแยกพิจารณาส่วนของแรงกัดที่เกิดขึ้นจากคมมีดของดอกกัด (cutting edge) และแรงกัดที่เกิดขึ้นจากการตัดเฉือนเนื้อวัสดุ (chip thickness) ในบริเวณที่วิเคราะห์พบว่าดอกกัดมีการสัมผัสกับชิ้นงาน Milfelner et al.(2005) ได้ทำการทดลองเพื่อหาความสัมพันธ์ระหว่างแรงกัดชิ้นงานที่เป็นวัสดุ 16MnCr5 กับ สภาวะในการกัดด้วยดอกกัดแบบหัวทรงกลม เมื่อทำการกัดชิ้นงานด้วยเครื่อง CNC และวัดค่าแรงกัดด้วยอุปกรณ์ตรวจรู้แรง (Force sensor) โดยกำหนดสภาวะในการกัดประกอบด้วยความลึกการกัดตามแนวรัศมี ความลึกการกัดตามแนวแกน ความเร็วการเคลื่อนดอกกัด และ อัตราการป้อนคมกัด งานวิจัยได้เสนอแบบจำลองที่เหมาะสมที่สุดจากผลการทดลองปรับสภาวะในการกัดจำนวน 45 ครั้ง Fontaine et al.(2006) ได้นำเสนอวิธีการทำนายแรงกัดชิ้นงานโดยใช้แบบจำลอง Thermo mechanic โดยพิจารณาค่าความเค้นเฉือน (Shear stress) และค่าความเครียดเฉือน (Shear strain) ในขณะที่เกิดการตัดเฉือน (Oblique cutting) แบบจำลองสามารถทำนายแรงกัดได้ดีเมื่อทำการเปรียบเทียบกับผลการทดลองวัดแรงกัดชิ้นงานจากเครื่องกัด CNC แบบ 3 แกน โดยเฉพาะเมื่อได้พิจารณาผลของแบบจำลองการสึกหรอของดอกกัด Salami et al.(2007) ได้เสนอการปรับปรุงอัตราการเคลื่อนที่ (feed-rate) ของดอกกัด

หัวทรงกลมแบบใช้ใบมีดตัด 1 ฟัน ให้มีความเหมาะสมเพื่อลดระยะเวลาในการดำเนินการกัดชิ้นงานที่ใช้วัสดุ CK45 Carbon Steel โดยอาศัยข้อมูลแรงกัดชิ้นงานซึ่งวัดได้จากอุปกรณ์ตรวจรู้แรง Kistler รุ่น 9255A Gonzalo et al.(2009) ได้เสนอวิธีการหาค่าสัมประสิทธิ์ในแบบจำลองแรงกัดของ Y. Altintas ด้วยระเบียบวิธีไฟไนต์เอลิเมนต์ โดยอาศัยค่าแรงกัดที่วัดได้จากการทดลองกัดชิ้นงานโดยใช้วัสดุ AISI 4340 Steel เพื่อเป็นทางเลือกในการประมาณค่าแรงกัดเมื่อชิ้นงานมีรูปร่างซับซ้อน Ozturk et al.(2009) ได้ศึกษาผลกระทบจากทิศทางของดอกกัดหัวทรงกลม (Lead angle and Tilt angle) ที่มีต่อแรงกัดและเสถียรภาพในขณะกัดชิ้นงานซึ่งส่งผลต่อคุณภาพของพื้นผิวชิ้นงานเมื่อทำการกัดชิ้นงานแบบ 5 แกน โดยมีจุดมุ่งหมายเพื่อให้สามารถเลือกสถานะในการกัดชิ้นงานให้เหมาะสมต่อคุณภาพของผิวชิ้นงานและระยะเวลาการกัดได้ดียิ่งขึ้น Budak et al.(2009) ได้จำลองการกัดชิ้นงานแบบ 5 แกน โดยใช้ข้อมูลตำแหน่งของดอกกัดชิ้นงาน (cutting location data) เพื่อหาค่าแรงกัดเมื่อดอกกัดเปลี่ยนแปลงทิศทาง (Lead angle and Tilt angle) และทำการพิจารณาเสถียรภาพในขณะกัดชิ้นงาน Zeroudi et al.(2010) ได้แสดงตำแหน่งของดอกกัดชิ้นงานหัวทรงกลม (cutter location) และตำแหน่งที่ดอกกัดสัมผัสกับผิวชิ้นงาน (cutter contact) เมื่อดอกกัดเคลื่อนที่ตามข้อมูลเส้นทางเดินดอกกัดซึ่งได้มาจากโปรแกรมด้าน CAM งานวิจัยได้เปรียบเทียบผลการทำนายแรงกัดกับการวัดแรงกัดชิ้นงานจริงโดยใช้วัสดุ 42CrMo4 แนวการกัดเป็นร่องในลักษณะคลื่น (wave like) โดยทำการกัดชิ้นงานด้วยเครื่อง CNC แบบ 3 แกน Liang et al.(2010) ได้ทำนายแรงกัดชิ้นงานของดอกกัดหัวทรงกลม เมื่อดอกกัดมีการเคลื่อนที่แนวเฉียงเป็นมุมต่างๆ โดยการวิเคราะห์พื้นที่สัมผัสกับผิวชิ้นงาน แยกออกเป็นส่วนย่อยๆทางกายภาพของดอกกัด และทำการทดลองเปรียบเทียบค่าแรงกัดชิ้นงานที่ใช้วัสดุเหล็ก 1045 Steel แสดงแรงกัดที่เกิดขึ้นในทิศทางของแกน X แกน Y และ แกน Z

แบบจำลองแรงกัตชิ้นงานของดอกกัตหัวทรงกลมอ้างอิงจาก Altintas and Lee (1998) แสดงได้ดังนี้



รูปที่ 2.5 แบบจำลองทางกายภาพของดอกกัตหัวทรงกลม (Altintas and Lee, 1998)



รูปที่ 2.6 ภาพจำลองความหนาของเศษ (chip thickness) สำหรับการกัตชิ้นงาน (Altintas and Lee, 1998)

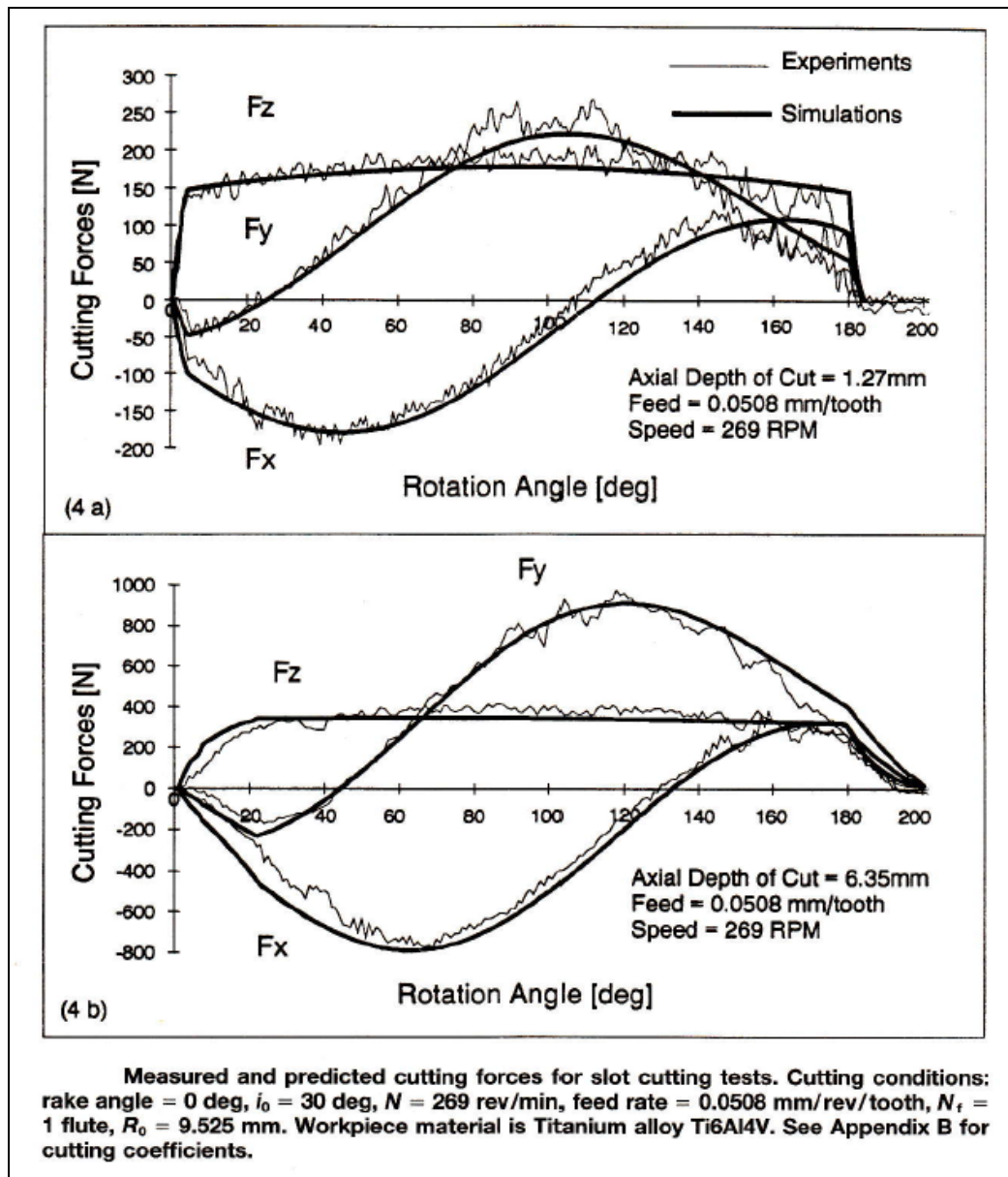
Modeling of Cutting Forces.		Ball End Mill Geometry
$dF_t(\theta, z) = K_{te} dS + K_{tc} h(\theta, \psi, \kappa) db$ $dF_r(\theta, z) = K_{re} dS + K_{rc} h(\theta, \psi, \kappa) db$ $dF_a(\theta, z) = K_{ae} dS + K_{ac} h(\theta, \psi, \kappa) db$		$dS = \ d\mathbf{r}\  = \sqrt{(R'(\psi))^2 + R^2(\psi) + R_0^2 \cot^2 i_0} d\psi$ $R'(\psi) = \frac{-R_0(\psi \cot i_0 - 1) \cot i_0}{\sqrt{1 - (\psi \cot i_0 - 1)^2}}$ $db = dz / \sin \kappa$ $h(t) = [R_c(k_z, t) - R_s(k_z, m, t)] \sin \kappa$
$\begin{bmatrix} dF_x \\ dF_y \\ dF_z \end{bmatrix} = \begin{bmatrix} -\sin(\kappa) \sin(\Psi) & -\cos(\Psi) & -\cos(\kappa) \sin(\Psi) \\ -\sin(\kappa) \cos(\Psi) & \sin(\Psi) & -\cos(\kappa) \cos(\Psi) \\ \cos(\kappa) & 0 & -\sin(\kappa) \end{bmatrix} \times \begin{bmatrix} dF_r \\ dF_t \\ dF_a \end{bmatrix}$		
Nomenclature		
$a$ = axial depth of cut $db$ = differential cutting edge length $dz$ = differential height in axial direction $dF_{tj}, dF_{rj}, dF_{aj}$ = differential cutting forces in tangential, radial, and axial directions for tooth $j$ $f$ = feed speed [mm/sec] $h$ = uncut chip thickness normal to cutting edge in milling $i_0$ = helix angle at ball shaped flute and shank meeting point $i(\psi)$ = local helix angle or angle of obliquity on the flute $x, y, z$ = coordinates of a point on the cutting edge	$x_s, y_s, z_s$ = coordinates of a point on the cut surface $x'(t), y'(t)$ = displacements of the cutter center due to structural vibrations at time $t$ $F_{xj}, F_{yj}, F_{zj}$ = milling forces in Cartesian coordinates on flute $j$ $H_x, H_y$ [m/N] = Direct transfer functions in $x$ and $y$ directions. $K_{te}, K_{rc}, K_{ac}$ = cutting force coefficients [force/area] $K_{te}, K_{re}, K_{ae}$ = edge force coefficients [force/length] $K_z$ = number of axial elements $N_f$ = number of flutes $N$ = spindle speed	$R_0$ = ball radius $R(\psi)$ = tool radius in $x$ - $y$ plane at a point defined by $\psi$ $R_s, R_c$ = Radial distance between the stationary spindle center and points on the cut surface and cutting edge, respectively $\psi(z)$ = lag angle between the tip ( $z = 0$ ) and a point on the helical flute at height $z$ $\Psi$ = immersion angle in global coordinates, measured from $y$ -axis (CW) $\psi_0$ = maximum lag angle between the tip ( $z = 0$ ) and uppermost cutting point ( $z = a$ ) $\theta$ = tool rotation angle, measured from $y$ -axis (CW) $\phi_p$ = pitch angle of the cutter ( $=2\pi/N_f$ )

รูปที่ 2.7 แบบจำลองแรงกัดชิ้นงานในสภาวะสถิต (ดอกกัดไม่มีการสั่น)

(Altintas and Lee, 1998)

จากรูปที่ 2.5 และ 2.6 เราพิจารณาแบ่งส่วนของดอกกัดตามแนวแกน Z จะได้ลักษณะหน้าตัดของคมตัด 1 คมตัดบนระนาบ XY โดยได้แสดงทิศทางของแรงกัดที่เกิดขึ้นจากส่วนย่อยๆ ของคมตัดคือ  $dF_t$ ,  $dF_r$  และ  $dF_a$  ดังแสดงในรูปที่ 2.5 ทำให้สามารถจำลองแรงกัดได้จากแบบจำลองในสภาวะสถิต (ดอกกัดไม่มีการสั่น) ดังแสดงในรูปที่ 2.7 แรงกัดประกอบด้วยส่วนแรงกัดเนื่องจากขอบของคมกัด (edge force) แสดงด้วยค่าสัมประสิทธิ์  $K_{te}$ ,  $K_{re}$  และ  $K_{ae}$  และ ส่วนแรงกัดเนื่องจากการตัด (cutting force) แสดงด้วยค่าสัมประสิทธิ์  $K_{tc}$ ,  $K_{rc}$  และ  $K_{ac}$

สามารถทำนายแรงกัดเปรียบเทียบกับผลการทดลองกัดชิ้นงานวัสดุ Titanium alloy (Ti6Al4V) โดยการกัดเป็นเส้นตรง (Slot cutting test) เมื่อดอกกัดชิ้นงานแบบ 1 ฟัน มีการหมุนเป็นมุมต่างๆ ดังแสดงในรูปที่ 2.8 ซึ่งแสดงผลของแรงกัดที่ได้จากการวัดและผลที่ได้จากการจำลอง จะเห็นว่าแบบจำลองแรงกัดชิ้นงานจะมีผลใกล้เคียงกับผลการทดลอง

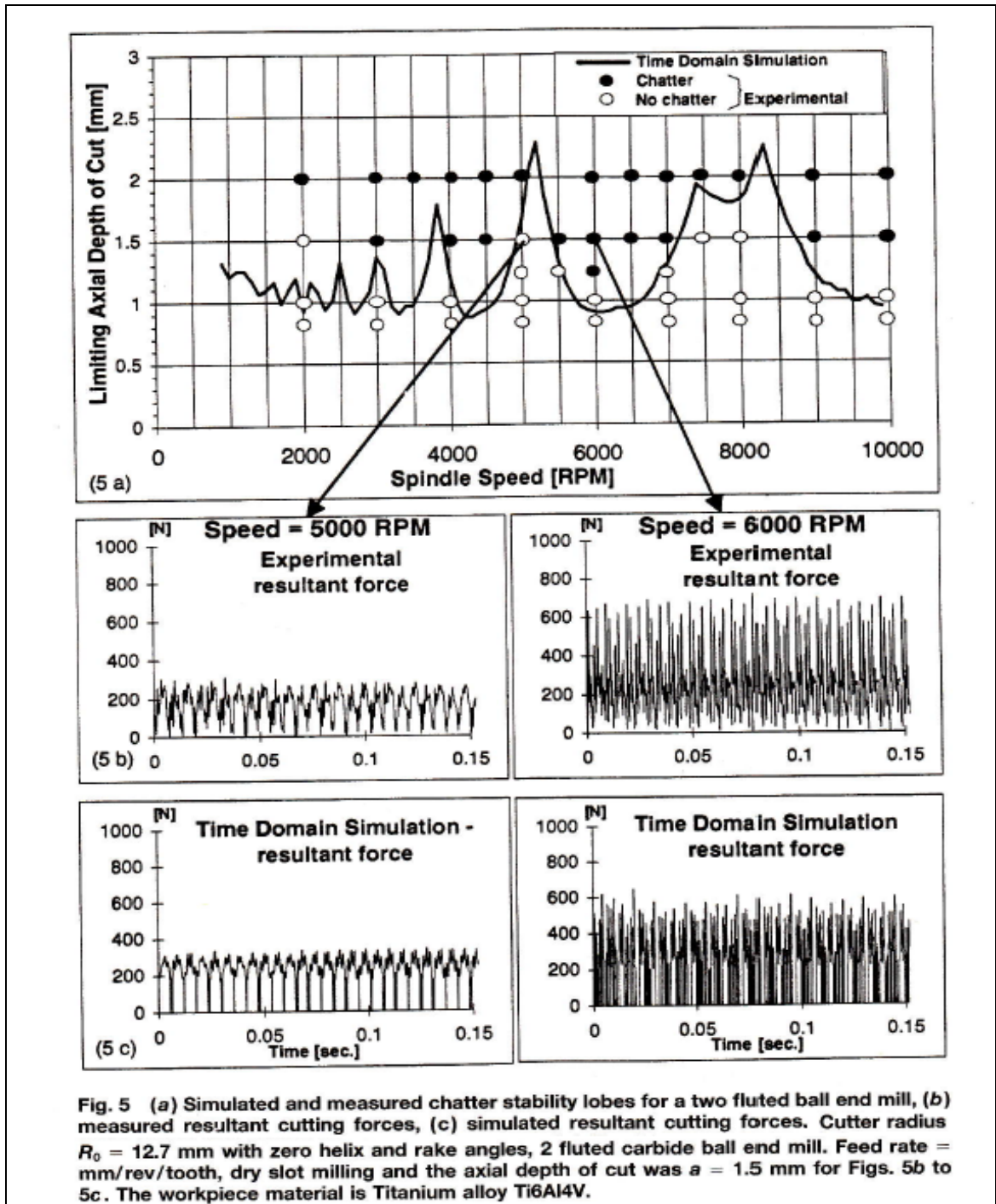


รูปที่ 2.8 ลักษณะของแรงกัตที่เกิดขึ้นจากมุมการหมุนของดอกกัต (Altintas and Lee, 1998)

เมื่อทำการปรับความเร็วรอบดอกกัตและความลึกในการกัตเพื่อหาค่าที่ทำให้ดอกกัตเกิดการสั่นแบบแชตเตอร์ (chatter) ในสภาวะพลวัตหรือสภาวะที่ดอกกัตมีการเคลื่อนที่รูปที่ 2.9 แสดงผลลัพธ์เปรียบเทียบระหว่างแรงที่ได้จากการจำลองและแรงที่ได้จากการวัดเมื่อมีการปรับความเร็วรอบ (spindle speed) ของดอกกัตและความลึกของการกัต ซึ่งจะพบว่าในกรณีที่ดอกกัตหมุนด้วยความเร็วรอบ 6,000 RPM และมีความลึกในการกัต 1.5 mm จะเกิดการสั่นแชตเตอร์ โดยสังเกตได้จากผลลัพธ์ของแรงกัต (Resultant cutting force) มีค่าสูงเป็น 2 เท่าของกรณีที่ดอกกัตหมุนด้วยความเร็วรอบ 5,000 RPM แม้ว่าค่าความลึกในการกัต (depth of cut) และอัตราการกัตต่อจำนวนฟัน (feed per tooth) ของทั้งสอง



กรณี (ความเร็วรอบ 5,000 RPM และ 6,000 RPM) จะมีค่าเท่ากัน ผลลัพธ์ของแรงกัดจากการทดลองและการจำลองในระยะเวลา 0.15 วินาทีที่มีความสอดคล้องกัน

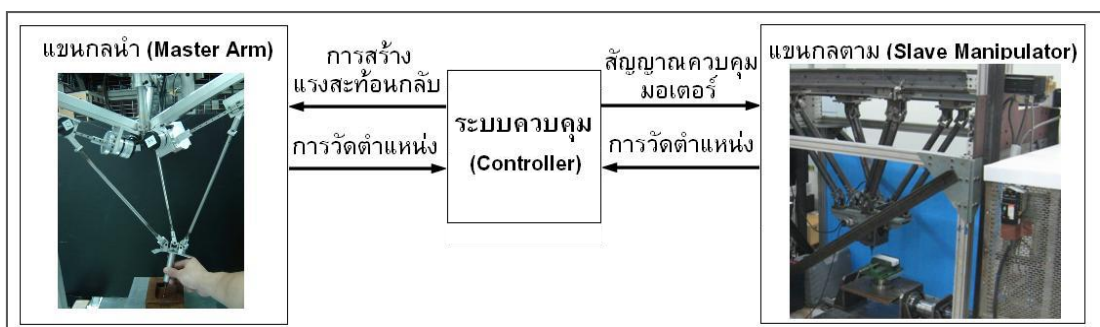


รูปที่ 2.9 การทดลองและการจำลองผลลัพธ์ของแรงกัดเพื่อแสดงค่าที่ทำให้ดอกกัดเกิดการสั่นแซตเตอร์(chatter) (Altintas and Lee, 1998)

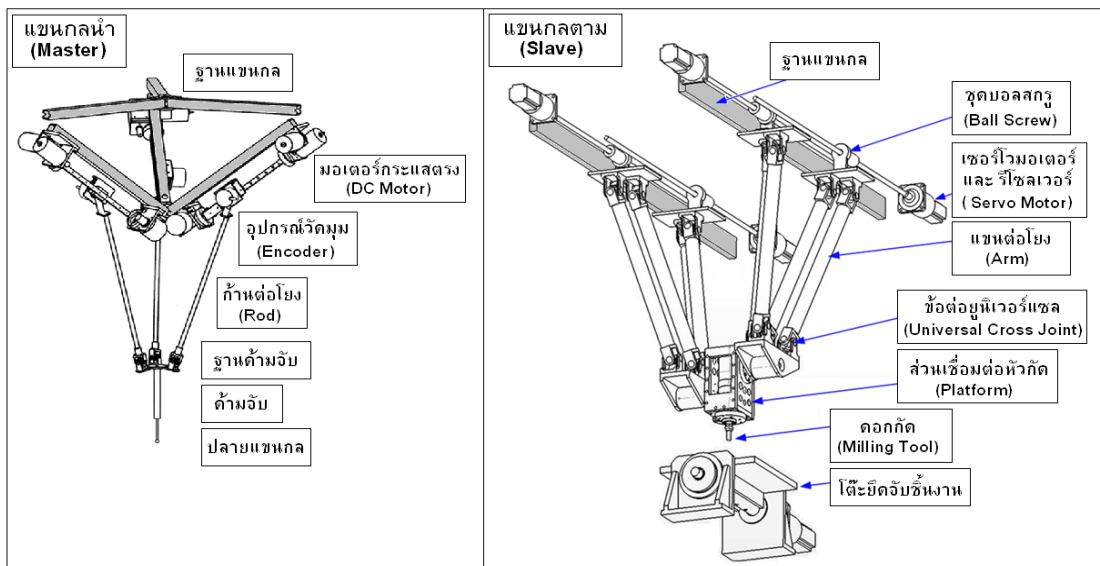
### บทที่ 3

## การออกแบบระบบควบคุมที่ใช้กับการควบคุมการทำงานแบบแขนกลนำและ แขนกลตามโดยมีแรงสะท้อนกลับ

ระบบแขนกลที่ใช้ในงานวิจัยนี้ประกอบด้วยแขนกลที่มีโครงสร้างแบบขนาน (Parallel Mechanism) ทั้งในส่วนของแขนกลนำ (Master Manipulator Arm) และแขนกลตาม (Slave Manipulator Arm) โดยมีระบบควบคุม (Control System) ทำหน้าที่ควบคุมการเคลื่อนที่ของแขนกลตาม เมื่อแขนกลตามมีการกระทำกับสิ่งแวดล้อมก่อให้เกิดการผิดพลาดของตำแหน่ง ค่าความผิดพลาดของตำแหน่งที่แขนกลตามนี้จะถูกนำมาใช้ในการแสดงแรงสะท้อนกลับ (Force Reflection) ที่แขนกลนำ การทำงานของระบบแขนกลดังกล่าวเป็นการทำงานร่วมกันระหว่างแขนกลนำและแขนกลตามเรียกว่าระบบการทำงานแบบมาสเตอร์-สเลฟโดยมีแรงสะท้อนกลับ (Master-Slave Operating with force reflect) รูปที่ 3.1 แสดงระบบการทำงานแบบแขนกลนำ-ตาม โดยมีแรงสะท้อนกลับที่พัฒนาขึ้นในงานวิจัยนี้ ผู้ควบคุมการทำงานจะทำการควบคุมแขนกลนำที่อยู่ทางด้านซ้ายมือในรูป โดยตำแหน่งปลายแขนของแขนกลนำจะถูกแปลงเป็นค่าตัวแปรที่ใช้ในการควบคุมมอเตอร์ที่ใช้ขับเคลื่อนแขนกลตามเพื่อให้ได้ตำแหน่งของปลายแขนของแขนกลตามที่มีรูปแบบของตำแหน่ง (Tip Position) และการเรียงตัว (Tip Orientation) ในลักษณะเดียวกับแขนกลนำโดยใช้การวิเคราะห์ทางด้านคิเนเมติกมาช่วยในการแปลงค่าดังกล่าวซึ่งจะกล่าวต่อไป เมื่อแขนกลตามทางด้านขวามือของรูปที่ 3.1 มีการกระทบหรือกระทำกับสิ่งแวดล้อม เช่นเมื่อแขนกลตามติดตั้งหัวกัดที่ปลายแขน ในขณะที่กัดชิ้นงานก็จะมีแรงกระทำที่ปลายหัวกัด เราสามารถวัดแรงกัดนี้ได้โดยการติดตั้งอุปกรณ์ตรวจจับที่ตัวจับชิ้นงาน แรงกัดที่วัดได้นี้จะถูกแปลงเป็นตัวแปรที่ใช้ในการสร้างแรงสะท้อนกลับที่แขนกลนำ โดยที่แขนกลนำก็จะมีมอเตอร์ที่ใช้ในการขับเคลื่อนแขนกลเช่นกัน แรงสะท้อนกลับนี้จะเป็นแรงที่กระทำกับมือของผู้ดำเนินการ ทำให้มีความรู้สึกหรือรับรู้แรงเสมือนที่เกิดขึ้นที่ปลายแขนของแขนกลตาม



รูปที่ 3.1 ระบบการทำงานแบบมาสเตอร์-สเลฟในงานวิจัยนี้



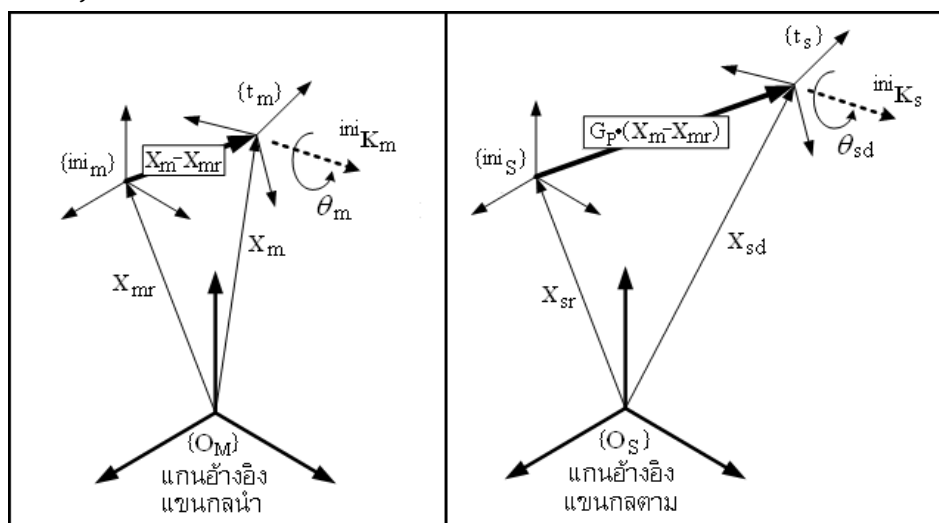
รูปที่ 3.2 ส่วนประกอบหลักของแขนกลนำและแขนกลตามในงานวิจัยนี้

ส่วนประกอบหลักของแขนกลนำและแขนกลตามในงานวิจัยนี้แสดงไว้ในรูปที่ 3.2 รายละเอียดของแขนกลนำและตามสามารถศึกษาได้จากงานวิจัย (Sangveraphunsiri and Ngamvilaikorn, 2005) และ (Sangveraphunsiri and Chooprasird, 2011) โดยที่แขนกลนำประกอบด้วยค้ำจับสำหรับให้ผู้ดำเนินการสามารถเคลื่อนปลายแขนกลนำไปยังตำแหน่งต่างๆ ได้ภายในบริเวณการทำงาน (working area) โดยส่งผ่านการเคลื่อนที่ของค้ำจับไปที่ก้านต่อโยงโดยมีอุปกรณ์วัดมุมติดตั้งอยู่ระหว่างข้อต่อที่เชื่อมโยงบานต่อโยงดังกล่าว อุปกรณ์วัดมุมดังกล่าวมีไว้เพื่อให้สามารถตรวจวัดตำแหน่งการเคลื่อนที่ของปลายแขนกลนำได้ นอกจากนี้แขนกลนำยังติดตั้งมอเตอร์กระแสตรงที่ฐานของแขนกลไว้ทั้งหมด 6 ตัว เพื่อสร้างแรงสะท้อนกลับที่กระทำกับมือของผู้ดำเนินการในลักษณะต้านการเคลื่อนที่ ส่วนแขนกลตามประกอบด้วยเซอร์โวมอเตอร์ทั้งหมด 4 ตัวที่ทำหน้าที่ขับเคลื่อนชุดบอลสกรู เพื่อส่งผ่านการเคลื่อนที่ไปยังแขนต่อโยง ส่วนเชื่อมต่อหัวกัด และ ดอกกัดชิ้นงาน ตามตำแหน่งและทิศทางที่กำหนดให้ ขณะเดียวกันโต๊ะจับชิ้นงานก็สามารถหมุนได้อีก 1 ทิศทาง ทำให้การทำงานของแขนกลตามมีลักษณะเป็นแบบ 5 องศาอิสระ (five degrees of freedom) เนื่องจากระบบควบคุมที่พัฒนาให้พบนี้ จะถูกติดตั้งอยู่กับเครื่องดิจิทัลคอมพิวเตอร์ที่ทำงานภายใต้ระบบปฏิบัติการ Windows 7 พร้อมทั้งติดตั้งแผงวงจรที่ทำหน้าที่แปลงสัญญาณ อนาล็อกเป็นสัญญาณดิจิทัล และในทางกลับกันก็สามารถแปลงสัญญาณดิจิทัลให้เป็นสัญญาณอนาล็อก โดยมีความละเอียดของการแปลงข้อมูลอยู่ที่ 14-bit นอกจากนี้แผงวงจรดังกล่าวยังประกอบด้วยส่วนที่สามารถรับสัญญาณตำแหน่งจากอุปกรณ์วัดตำแหน่งแบบดิจิทัลเอ็นโค้ดเดอร์ (digital encoder) คือจะมีทั้งในส่วนที่เป็น เอ็นโค้ดเดอร์ (encoder) และดีโค้ดเดอร์ (decoder) ที่สามารถวัดมุมหมุนหรือระยะทางของการเคลื่อนที่ได้แม่นยำ ส่วนคาบเวลาในการสุ่มข้อมูล (sampling period)

อยู่ที่ 0.001 วินาทีหรือความเร็วในการสุมจะอยู่ที่ 1000 รอบ/วินาที ในความเป็นจริงแล้ว แฉวงจรถที่แปลงสัญญาณดังกล่าวนี้สามารถกำหนดความเร็วในการสุมข้อมูลได้สูงกว่านี้มาก แต่เนื่องจากโปรแกรมดังกล่าวนี้ทำงานภายใต้ระบบปฏิบัติการ Windows 7 ซึ่งมีส่วนทำงานที่ใช้เวลามากในช่วงหัว (overhead activities) ทุกครั้งที่เรียกฟังก์ชันการทำงานที่ต้องมีการส่งสัญญาณเข้าและออกจากระบบคอมพิวเตอร์จะต้องการกิจกรรม (activities) มาก ทำให้เราไม่สามารถกำหนดค่าความเร็วในการสุมข้อมูลได้สูงมาก ในระหว่างคาบเวลาของการสุมเราจะสมมติว่าระบบไม่มีการเปลี่ยนแปลง ทำให้อาจจะเกิดการผิดพลาดในการสมมตินี้ด้วย ซึ่งทำให้เราจำเป็นต้องจำกัดช่วงความถี่ของการทำงาน (bandwidth) หรือพูดอีกอย่างก็คือกำหนดความเร็วของการทำงานหรือการเคลื่อนที่ของแขนกล ซึ่งในงานที่ใช้เป็นงานกัดชิ้นงานหรือเป็นงานที่มีการกระทำกับสิ่งแวดล้อม ซึ่งโดยปกติก็จะมีการทำงานค่อนข้างช้าอยู่แล้ว ดังนั้นปัญหาหรือผลกระทบดังกล่าวจึงมีไม่มาก

### 3.1 การควบคุมตำแหน่งปลายแขนของแขนกลตาม

การเคลื่อนที่ของปลายแขนกลตามควรเป็นไปในทิศทางเดียวกับการเคลื่อนที่ของปลายแขนกลนำเมื่อพิจารณาที่คาบเวลาของการสุมข้อมูล กรณีที่แขนกลทั้งสองมีโครงสร้างแตกต่างกัน (dissimilar structure) สามารถหาตำแหน่งและทิศทางสำหรับการเคลื่อนปลายแขนกลตามได้เมื่อทราบตำแหน่งและทิศทางเริ่มต้นของแขนกลทั้งสอง โดยรายละเอียดสามารถศึกษาได้จาก (Sangveraphunsiri and Ngamvilaiorn, 2005) เพื่อให้เกิดความสะดวกในการวิเคราะห์ จึงกำหนดให้แกนอ้างอิงของแขนกลนำและแกนอ้างอิงของแขนกลตามตั้งอยู่ในทิศทางเดียวกัน ซึ่งสามารถแสดงภาพการตั้งแกนอ้างอิงเพื่อใช้ในการวิเคราะห์ตำแหน่งและทิศทางของปลายแขนกลตามได้ดังรูปที่ 3.3 เมื่อทราบตำแหน่งและทิศทางเริ่มต้น (home position and orientation) ของแขนกลทั้งสองแล้ว เราสามารถหาตำแหน่งและทิศทางสำหรับปลายแขนกลตามที่เวลาใดๆได้ ดังจะแสดงวิธีการในขั้นตอนถัดไป



รูปที่ 3.3 การตั้งแกนอ้างอิงเพื่อใช้ในการวิเคราะห์ตำแหน่งและทิศทางของปลายแขนกลตาม

### วิธีการคำนวณตำแหน่งปลายแขนกลตาม

จากรูปที่ 3.3 ตำแหน่งปลายแขนกลตามสามารถหาได้จากสมการ

$$\mathbf{X}_{sd} = G_P \cdot (\mathbf{X}_m - \mathbf{X}_{mr}) + \mathbf{X}_{sr} \quad (3.1)$$

เมื่อกำหนดให้

$\mathbf{X}_m$  คือ ตำแหน่งปลายแขนกลนำที่เวลาใดๆ

$\mathbf{X}_{mr}$  คือ ตำแหน่งเริ่มต้นของปลายแขนกลนำ

$\mathbf{X}_{sr}$  คือ ตำแหน่งเริ่มต้นของปลายแขนกลตาม

$G_P$  คือ ค่าเกณฑ์ใช้ปรับอัตราส่วนของตำแหน่งระหว่างแขนกลนำและแขนกลตาม  
(ค่าอัตราส่วนปกติ  $G_P = 1.0$ )

### วิธีการคำนวณทิศทางหรือการเรียงตัว (orientation) ที่ปลายแขนกลตาม

เมตริกซ์การหมุนที่ตำแหน่งเริ่มต้นของปลายแขนกลนำสามารถหาได้จากสมการ

$${}^{ini}\mathbf{R}_m = ({}^0\mathbf{R}_{mr})^T {}^0\mathbf{R}_m \quad (3.2)$$

โดยที่  ${}^{ini}\mathbf{R}_m$  คือเมตริกซ์การหมุนของเฟรม  $m$  (master) เมื่อเทียบกับเฟรม  $ini$  (initial) ซึ่งสามารถเขียนในรูปของเมตริกซ์ได้ ดังนี้คือ

$${}^{ini}\mathbf{R}_m = \begin{bmatrix} rm_{11} & rm_{12} & rm_{13} \\ rm_{21} & rm_{22} & rm_{23} \\ rm_{31} & rm_{32} & rm_{33} \end{bmatrix} \quad (3.3)$$

เราสามารถแปลงเมตริกซ์การหมุนของสมการที่ (3.3) ให้อยู่ในรูปของมุมการหมุนรอบแนวเวกเตอร์ใดๆ ของแขนกลนำได้จากความสัมพันธ์ (Sciavicco and Siciliano, 1996) ดังนี้

$$\theta_m = \cos^{-1} \left( \frac{rm_{11} + rm_{22} + rm_{33} - 1}{2} \right) \quad (3.4)$$

โดยที่  $\theta_m$  คือค่าขนาดของมุมที่หมุน

แนวเวกเตอร์การหมุนที่แกนกลนำ สามารถหาได้จากสมการ ดังนี้

$${}^{ini}\mathbf{K}_m = \frac{1}{2 \sin \theta_m} \begin{bmatrix} rm_{32} - rm_{23} \\ rm_{13} - rm_{31} \\ rm_{21} - rm_{12} \end{bmatrix} = \begin{bmatrix} k_x \\ k_y \\ k_z \end{bmatrix} \quad (3.5)$$

จากแนวเวกเตอร์ของแกนกลนำ  ${}^{ini}\mathbf{K}_m$  ที่หาได้จากสมการ (3.5) สามารถแปลงให้เป็นแนวเวกเตอร์บนแกนกลตาม ได้คือ

$${}^{ini}\mathbf{K}_s = {}^0\mathbf{R}_{sr} {}^{ini}\mathbf{R}_m {}^{ini}\mathbf{K}_m \quad (3.6)$$

เมื่อกำหนดให้

$$k_x = \left( \frac{rm_{32} - rm_{23}}{2 \sin \theta_m} \right), \quad k_y = \left( \frac{rm_{13} - rm_{31}}{2 \sin \theta_m} \right), \quad k_z = \left( \frac{rm_{21} - rm_{12}}{2 \sin \theta_m} \right)$$

จากสมการ (3.4) – (3.6) เราสามารถเขียนเมตริกซ์ของการหมุนของแกนกลตาม เทียบกับเฟรมเริ่มต้นหรือแกนอ้างอิงได้ คือ

$${}^{ini}\mathbf{R}_{sd} = \begin{bmatrix} k_x k_x (1 - \cos \theta_{sd}) + \cos \theta_{sd} & k_x k_y (1 - \cos \theta_{sd}) - k_z \sin \theta_{sd} & k_x k_z (1 - \cos \theta_{sd}) + k_y \sin \theta_{sd} \\ k_x k_y (1 - \cos \theta_{sd}) + k_z \sin \theta_{sd} & k_y k_y (1 - \cos \theta_{sd}) + \cos \theta_{sd} & k_y k_z (1 - \cos \theta_{sd}) - k_x \sin \theta_{sd} \\ k_x k_z (1 - \cos \theta_{sd}) - k_y \sin \theta_{sd} & k_y k_z (1 - \cos \theta_{sd}) + k_x \sin \theta_{sd} & k_z k_z (1 - \cos \theta_{sd}) + \cos \theta_{sd} \end{bmatrix} \quad (3.7)$$

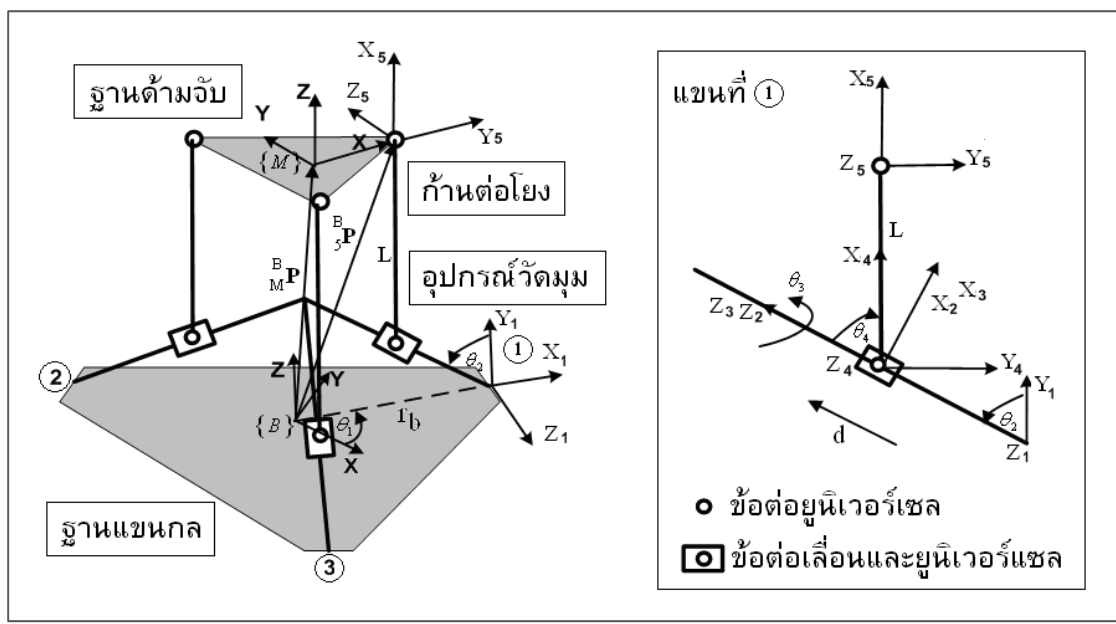
เมตริกซ์การหมุนที่ปลายแกนกลตามที่ได้จากสมการ (3.7) สามารถนำมาเขียนเทียบกับแกนอ้างอิงได้คือ

$${}^0\mathbf{R}_{sd} = {}^0\mathbf{R}_{sr} {}^{ini}\mathbf{R}_{sd} \quad (3.8)$$

เมื่อสามารถหาตำแหน่งและทิศทางที่ต้องการให้แกนกลตามเคลื่อนที่ไปในแต่ละคาบเวลา ( $\mathbf{X}_{sd}$  และ  ${}^0\mathbf{R}_{sd}$ ) ได้จากการเคลื่อนที่ของปลายแกนกลนำดังกล่าวแล้ว ขั้นตอนต่อมาคือ การควบคุมการเคลื่อนที่ของปลายแกนกลตามไปยังตำแหน่งที่ต้องการ ในกรณีที่ปลายแกนกลตามยังไม่มีสัมผัสกับสิ่งแวดล้อม (เช่น ชิ้นงานหรือสิ่งกีดขวางอื่น ๆ) สามารถทำการควบคุมเฉพาะตำแหน่งและทิศทางของปลายแกนกลตามได้โดยไม่ต้องพิจารณาการควบคุมแรง

ตำแหน่งและทิศทางของปลายแขนกลนำหาได้จากการคำนวณด้วยสมการฟอร์เวิร์ดคิเนมาติก (forward kinematic) ของแขนกลนำ เมื่อทราบตำแหน่งข้อต่อต่างๆของโครงสร้างแขนกลนำดังแสดงในรูปที่ 3.4 ในทำนองเดียวกันตำแหน่งและทิศทางของปลายแขนกลตามสามารถหาได้จากการคำนวณฟอร์เวิร์ดคิเนมาติกของแขนกลตามเมื่อทราบตำแหน่งข้อต่อของโครงสร้างแขนกลตามดังรูปที่ 3.5 (Sangveraphunsiri and Ngamvilaikorn, 2005)

### ฟอร์เวิร์ดคิเนมาติกของแขนกลนำ



รูปที่ 3.4 โครงสร้างแสดงข้อต่อต่างๆของแขนกลนำ

จากรูปที่ 3.4 ตำแหน่งข้อต่อที่ 5 ของแต่ละแขน (แขนที่  $i = 1, 2, 3$ ) เมื่อเปรียบเทียบกับฐานของแขนกลหรือเฟรมอ้างอิง คือ

$$\begin{bmatrix} {}^B_5\mathbf{P}^i \\ 1 \end{bmatrix} = \begin{bmatrix} \cos \theta_1^i \cos \theta_2^i \cos \theta_3^i \sin \theta_4^i L - \sin \theta_1^i \sin \theta_3^i \sin \theta_4^i L \\ -\cos \theta_1^i \sin \theta_2^i \cos \theta_4^i L - d^i \cos \theta_1^i \sin \theta_2^i + r_b \cos \theta_1^i \\ \sin \theta_1^i \cos \theta_2^i \cos \theta_3^i \sin \theta_4^i L + \cos \theta_1^i \sin \theta_3^i \sin \theta_4^i L \\ -\sin \theta_1^i \sin \theta_2^i \cos \theta_4^i L - d^i \sin \theta_1^i \sin \theta_2^i + r_b \sin \theta_1^i \\ \sin \theta_2^i \cos \theta_3^i \sin \theta_4^i L + \cos \theta_2^i \cos \theta_4^i L + d^i \cos \theta_2^i \end{bmatrix} \quad (3.9)$$

ตำแหน่งจุดกึ่งกลางฐานข้อมือของแขนกลนำ สามารถหาได้จากสมการ

$${}^B_M\mathbf{P} = \frac{1}{3} \left( {}^B_5\mathbf{P}^1 + {}^B_5\mathbf{P}^2 + {}^B_5\mathbf{P}^3 \right) \quad (3.10)$$

สมการที่ (3.10) เป็นสมการแสดงตำแหน่งและทิศทางหรือเวกเตอร์ของจุดกึ่งกลางฐานตามจับเปรียบเทียบกับฐานแขนกล ที่จะใช้ในเมตริกซ์การแปลงแบบโฮโมจีเนส (Homogeneous Transformation Matrix) ดังนี้

$${}^B_M\mathbf{T} = \begin{bmatrix} \mathbf{n} & \mathbf{o} & \mathbf{a} & {}^B_M\mathbf{P} \\ 0 & 0 & 0 & 1 \end{bmatrix} \quad (3.11)$$

โดยที่เวกเตอร์แสดงทิศทางของด้านจับแขนกลนำซึ่งเป็นส่วนของเมตริกซ์การหมุนของสมการที่ (3.11) สามารถเขียนได้ ดังนี้

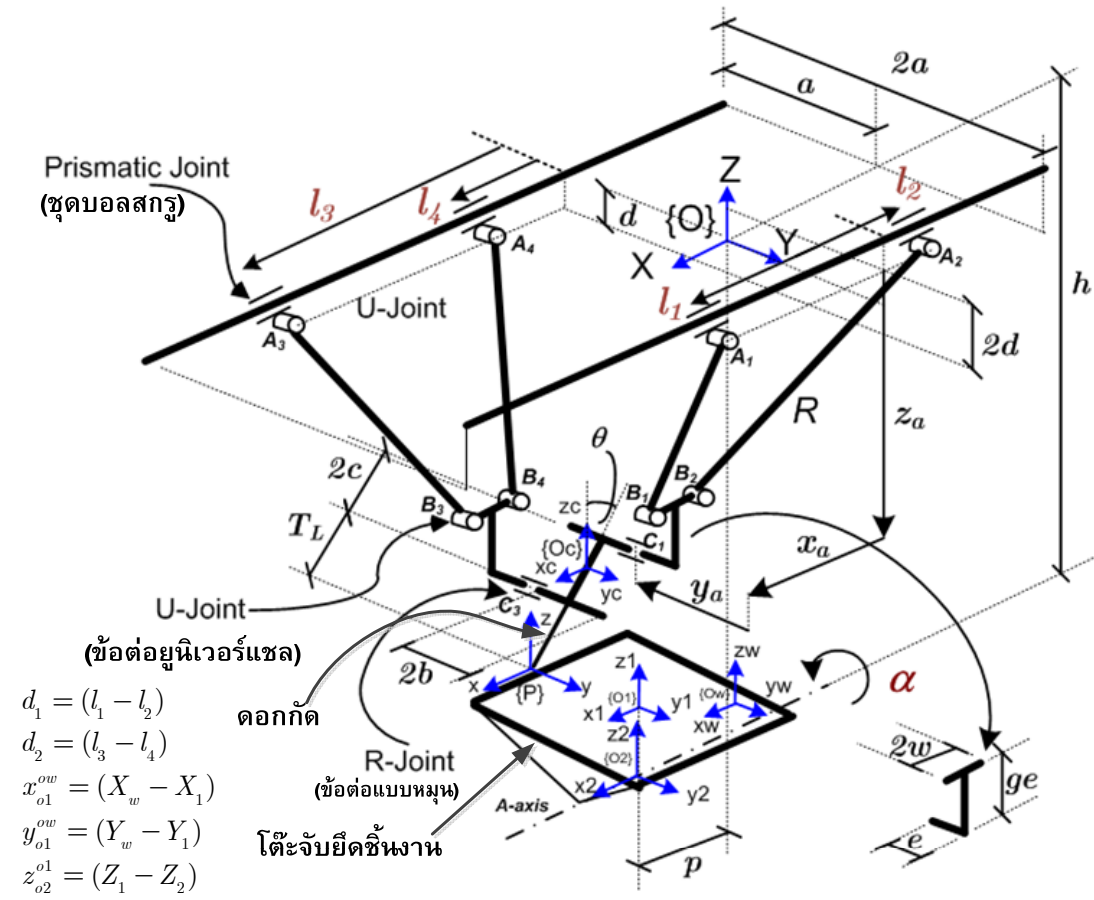
$$\mathbf{n} = \frac{{}^B\mathbf{P}^1 - {}^M\mathbf{P}}{|{}^B\mathbf{P}^1 - {}^M\mathbf{P}|}, \quad \mathbf{o} = \frac{{}^B\mathbf{P}^2 - {}^B\mathbf{P}^3}{|{}^B\mathbf{P}^2 - {}^B\mathbf{P}^3|}, \quad \mathbf{a} = \mathbf{n} \times \mathbf{o}$$

ตำแหน่งและทิศทางของปลายแขนกลนำเทียบกับฐานแขนกลนำในรูปแบบเมตริกซ์เมื่อ  $tip_x, tip_y$  และ  $tip_z$  เป็นระยะห่างระหว่างปลายแขนกลและจุดศูนย์กลางของฐานตามจับในทิศทางแนวแกน  $\{M\}$  บนฐานตามจับ

$${}^B_{Tip}\mathbf{T} = {}^B_M\mathbf{T} \times {}^M_{Tip}\mathbf{T} = \begin{bmatrix} \mathbf{n} & \mathbf{o} & \mathbf{a} & {}^B_M\mathbf{P} \\ 0 & 0 & 0 & 1 \end{bmatrix} \times \begin{bmatrix} 1 & 0 & 0 & tip_x \\ 0 & 1 & 0 & tip_y \\ 0 & 0 & 1 & tip_z \\ 0 & 0 & 0 & 1 \end{bmatrix} \quad (3.12)$$



ฟอร์เวิร์ดคิเนเมติกของแขนกลตาม



รูปที่ 3.5 โครงสร้างแสดงข้อต่อต่างๆของแขนกลตาม

จากรูปที่ 3.5 ตรงข้อต่อแบบเลื่อน (prismatic joint) จะเป็นรางเลื่อนแบบบอลสกรู ขับเคลื่อนด้วยมอเตอร์กระแสตรง 4 ตัวที่ติดตั้งอุปกรณ์วัดมุมหมุนของมอเตอร์เพื่อใช้ในการคำนวณหาระยะทางการเคลื่อนที่  $(l_1, l_2, l_3, l_4)$  ของข้อต่อแบบเลื่อนนี้ เมื่อทราบระยะเลื่อนของชุดบอลสกรูในแต่ละแขน  $(l_1, l_2, l_3, l_4)$  จากรูปที่ 3.5 เราสามารถคำนวณหามุมการหมุนของดอกกัทรอบแนวแกน Y ได้คือ

$$\cos \theta = \sqrt{1 - \left( \frac{l_1 + l_2 - l_3 - l_4}{4c} \right)^2} \quad (3.13)$$

ตำแหน่งปลายดอกกัทบนโต๊ะยึดจับชิ้นงาน (ตามแนวแกน Xw Yw และ Zw ในรูปที่ 3.5) คือ

$$x_w = x - p + x_{o1}^{ow} \quad (3.14)$$

$$y_w = y \cdot \cos \alpha + (z + h) \sin \alpha + y_{o1}^{ow} \quad (3.15)$$

$$z_w = (z + h) \cos \alpha - y \cdot \sin \alpha + z_{o2}^{o1} \quad (3.16)$$

ตำแหน่งปลายดอกกัทบนแกนอ้างอิงของแขนกลตาม (ตามแนวแกน X Y และ Z ในรูปที่ 3.5) คือ

$$x = \left( \frac{l_1 + l_2 + l_3 + l_4}{4} \right) - (c + T_L) \sin \theta \quad (3.17)$$

$$y = \left( \frac{d_1^2 - d_2^2 - 4w(d_1 - d_2) - 16(d - c \cos \theta)(z_c + ge)}{16(a - b - e)} \right) \quad (3.18)$$

$$z = (z_c - (c + T_L) \cos \theta) \quad (3.19)$$

เมื่อกำหนดให้

$$z_c = \frac{-B \pm \sqrt{B^2 - 4AC}}{2A}$$

โดยที่

$$A = \left( \frac{16^2 (d - c \cos \theta)^2}{128 (a - b - e)^2} + 2 \right)$$

$$B = \left( 4ge + \frac{512ge(d - c \cos \theta)^2}{128(a - b - e)^2} - \frac{32(d - c \cos \theta)(d_1^2 - d_2^2 - 4w(d_1 - d_2))}{128(a - b - e)^2} \right)$$

$$C = \frac{16^2(d - c \cos \theta)^2 ge^2}{128(a - b - e)^2} - \frac{32ge(d - c \cos \theta)(d_1^2 - d_2^2 - 4w(d_1 - d_2))}{128(a - b - e)^2} +$$

$$\frac{(d_1^2 - d_2^2 - 4w(d_1 - d_2))^2}{128(a - b - e)^2} + \frac{(d_1^2 + d_2^2)}{4} + 2w^2 - w(d_1 + d_2) +$$

$$2ge^2 + 2e^2 - 2R^2 + 2(b - a)^2 - 4e(a - b) + 2(c \cos \theta - d)^2$$

ทิศทางของดอกกัตในลักษณะเวกเตอร์บนโต๊ะยึดจับชิ้นงาน

$$I_w = \pm \frac{1}{\sqrt{1 + \frac{1}{\tan^2 \theta}}} \quad \text{sign}(I_w) = \text{sign}(\theta) \quad (3.20)$$

$$J_w = \pm \frac{1}{\left( \sqrt{1 + \tan^2 \theta} \right) \cdot \left( \sqrt{1 + \tan^2(90 - \alpha)} \right)} \quad \text{sign}(J_w) = \text{sign}(\alpha) \quad (3.21)$$

$$K_w = \frac{\tan(90 - \alpha)}{\left( \sqrt{1 + \tan^2 \theta} \right) \cdot \left( \sqrt{1 + \tan^2(90 - \alpha)} \right)} \quad \text{sign}(K_w) = + \quad (3.22)$$

เมื่อสามารถคำนวณหาตำแหน่งและทิศทางที่ต้องการให้แขนกลตามเคลื่อนที่ไปได้แล้ว จากสมการ (3.14) – (3.22) โดยใช้ข้อมูลระยะทางเคลื่อนที่ ( $l_1, l_2, l_3, l_4$ ) ที่คำนวณได้จาก อุปกรณ์วัดมุมที่ติดตั้งที่แกนหมุนของมอเตอร์ ดังนั้น เมื่อเรากำหนดตำแหน่งที่ต้องการ การเคลื่อนที่ของชุดบอลสกรูแต่ละชุด ระบบควบคุมจะทำการควบคุมการหมุนของมอเตอร์ ขับเคลื่อนที่ข้อแบบเลื่อนไถล (prismatic joint) เพื่อขับชุดบอลสกรูให้ได้ระยะทางการเคลื่อนที่ ตามที่กำหนด ดังนั้น ตำแหน่งปลายและการเรียงตัวของปลายแขนของแขนกลตามก็จะคำนวณหาได้จากสมการ (3.14) – (3.22) ดังกล่าว การคำนวณหาตำแหน่งดังกล่าวนี้เราจะเรียกว่าการคำนวณฟอร์เวิร์ดคิเนเมติกของแขนกล (ในที่นี้คือแขนกลตาม)

การควบคุมการเคลื่อนที่ของแต่ละข้อต่อของแขนกลตามนี้จะควบคุมการเคลื่อนที่ด้วย ตัวควบคุมแบบพีดี (PD Control) หรืออาจจะใช้ตัวควบคุมแบบพีไอดี (PID control) ในกรณีที่ เราจะต้องการลดผลกระทบจากสัญญาณรบกวนที่ด้านขาเข้าของชุดขับ แต่ในที่นี้เราจะใช้ ตัวควบคุมแบบพีดี การคำนวณหาแบบฟอร์เวิร์ดคิเนเมติกที่กล่าวข้างต้นนี้ อาจจะไม่สะดวก ในการใช้งาน ทั้งนี้ เนื่องจากว่า ปกติแล้วเราจะทราบตำแหน่งและการเรียงตัวของปลายแขนกล มากกว่า ดังนั้น จากค่าตำแหน่งและการเรียงตัวของปลายแขนกลที่ต้องการนี้ เราจะต้องนำมา

คำนวณหาระยะทางเคลื่อนที่  $l_1, l_2, l_3, l_4$  การคำนวณหาดังกล่าวนี้เรียกว่าการคำนวณหาอินเวอร์สคิเนเมติก โดยปกติแล้วถ้าแขนกลที่มีโครงสร้างกลไกแบบอนุกรม (serial mechanism) เราจะหาสมการฟอร์เวิร์ดคิเนเมติกได้ค่อนข้างง่ายและการสมการอินเวอร์สคิเนเมติกจะหาได้ยากกว่า ตรงกันข้ามกับแขนกลที่มีโครงสร้างกลไกแบบขนาน (parallel mechanism) ที่ใช้ในโครงการนี้ เราจะหาสมการอินเวอร์สคิเนเมติกได้ง่ายกว่ามากเมื่อเทียบกับการหาสมการฟอร์เวิร์ดคิเนเมติก สมการอินเวอร์สคิเนเมติก (Inverse Kinematic) ของแขนกลตามในงานวิจัยนี้สามารถแสดงได้ดังสมการที่ (3.23) - (3.26) สำหรับแขนที่ 1 ถึงแขนที่ 4 ตามลำดับ

สมการอินเวอร์สคิเนเมติกสำหรับการเลื่อนตำแหน่งแขนที่ 1 ถึงแขนที่ 4 พิจารณาจากโครงสร้างแขนกลตามในรูปที่ 3.5 (Sangveraphunsiri and Chooprasird, 2011)

$$l_1 = (x_w + x_{O_w}^{O_1} + p) + (T_L + 2c) \sin(\theta) + w + \sqrt{R^2 - \left( \frac{-(y_w + y_{O_w}^{O_1}) \cos(\alpha) + (z_w + z_{O_1}^{O_2}) \sin(\alpha)}{-b + a - e} \right)^2 - \left( \frac{-(y_w + y_{O_w}^{O_1}) \sin(\alpha) - (z_w + z_{O_1}^{O_2}) \cos(\alpha)}{+h - (T_L + 2c) \cos(\theta) + d - ge} \right)^2} \quad (3.23)$$

$$l_2 = (x_w + x_{O_w}^{O_1} + p) + (T_L + 2c) \sin(\theta) - w - \sqrt{R^2 - \left( \frac{-(y_w + y_{O_w}^{O_1}) \cos(\alpha) + (z_w + z_{O_1}^{O_2}) \sin(\alpha)}{-b + a - e} \right)^2 - \left( \frac{-(y_w + y_{O_w}^{O_1}) \sin(\alpha) - (z_w + z_{O_1}^{O_2}) \cos(\alpha)}{+h - (T_L + 2c) \cos(\theta) + d - ge} \right)^2} \quad (3.24)$$

$$l_3 = (x_w + x_{O_w}^{O_1} + p) + T_L \sin(\theta) + w + \sqrt{R^2 - \left( \frac{(y_w + y_{O_w}^{O_1}) \cos(\alpha) - (z_w + z_{O_1}^{O_2}) \sin(\alpha)}{-b + a - e} \right)^2 - \left( \frac{-(y_w + y_{O_w}^{O_1}) \sin(\alpha) - (z_w + z_{O_1}^{O_2}) \cos(\alpha)}{+h - T_L \cos(\theta) - d - ge} \right)^2} \quad (3.25)$$

$$l_4 = (x_w + x_{O_w}^{O_1} + p) + T_L \sin(\theta) - w - \sqrt{R^2 - \left( \frac{(y_w + y_{O_w}^{O_1}) \cos(\alpha) - (z_w + z_{O_1}^{O_2}) \sin(\alpha)}{-b + a - e} \right)^2 - \left( \frac{-(y_w + y_{O_w}^{O_1}) \sin(\alpha) - (z_w + z_{O_1}^{O_2}) \cos(\alpha)}{+h - T_L \cos(\theta) - d - ge} \right)^2} \quad (3.26)$$

สำหรับทิศทางของปลายแขนกลตามหาได้โดยพิจารณาการเรียงตัวของปลายแขนกล (ตามแนวแกน  $X_w$   $Y_w$  และ  $Z_w$  ในรูปที่ 3.5) คือ

$$\alpha = \pm 90 - \arctan\left(\frac{K_w}{J_w}\right) \quad (3.27)$$

$$\theta = \arctan\left(\frac{I_w}{\sqrt{J_w^2 + K_w^2}}\right) \quad (3.28)$$

ในขณะที่มอเตอร์ของแขนกลตามหมุนได้ 1 รอบทำให้เกิดระยะเลื่อนเท่ากับระยะพิตช์ (Pitch) ของชุดบอลสกรู ดังนั้นเมื่อต้องการควบคุมตำแหน่งการเลื่อนของแขนใดก็สามารถทำได้ โดยควบคุมมุมการหมุนของมอเตอร์ขับเคลื่อนชุดบอลสกรูนั้นๆ แสดงการควบคุมการหมุนของมอเตอร์ขับเคลื่อนแต่ละตัวด้วยตัวควบคุมแบบพีดีดังสมการที่ (3.29)

แรงบิดสำหรับควบคุมการหมุนของมอเตอร์ขับเคลื่อนแขนกลตามเกิดจาก ค่าความผิดพลาดของมุมการหมุน และค่าความเร็วในการหมุนดังสมการ

$$\tau = k_p (\theta_d - \theta) + k_d \dot{\theta} + \tau_{friction} \quad (3.29)$$

เมื่อกำหนดให้

$k_p$  คือ ค่าเกนแบบสัดส่วน (Proportional Gain)

$k_d$  คือ ค่าเกนแบบอนุพันธ์ (Derivative Gain)

$\theta_d$  คือ มุมที่ต้องการให้มอเตอร์หมุนไป

$\theta$  คือ มุมที่วัดได้จากอุปกรณ์วัดมุม

$\tau_{friction}$  คือ แรงบิดชดเชยเนื่องจากแรงเสียดทาน

### 3.2 การควบคุมแรงโดยตรง (Direct force Control)

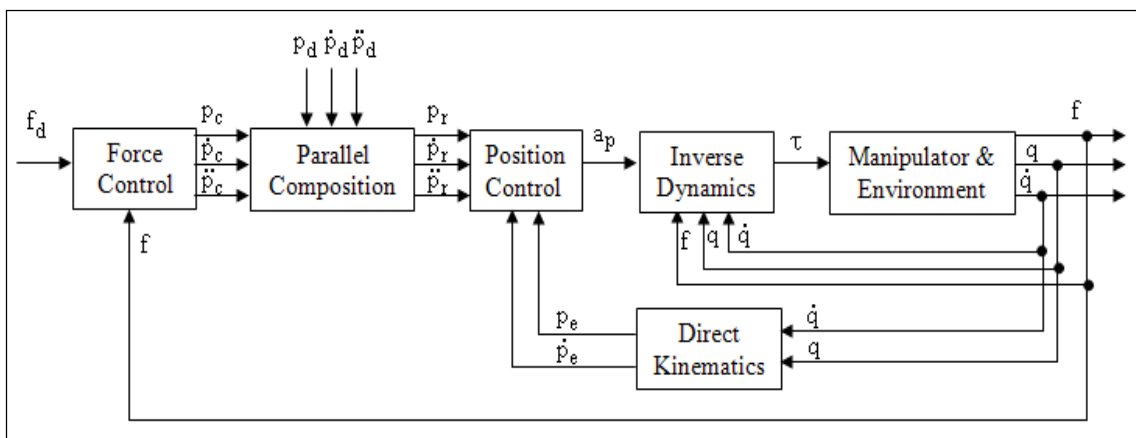
เนื่องจากการทำงานของระบบแขนกลที่เรากำลังสนใจอยู่นี้จะนำไปใช้ในการกักชิ้นงาน ดังนั้น นอกจากการควบคุมตำแหน่งของปลายแขนของหัวกัทแล้ว การควบคุมแรงกัทหรือแรงที่กระทำกับสิ่งแวดล้อมก็ถือเป็นเป้าหมายของการออกแบบระบบควบคุม เมื่อต้องการควบคุมทั้งตำแหน่งและแรง ความยุ่งยากจะอยู่ตรงที่เมื่อไหร่ที่เราต้องการควบคุมแรงเราย่อมสูญเสียความแม่นยำของตำแหน่ง และถ้าเราต้องการความแม่นยำของตำแหน่งเราก็จำเป็นต้องสูญเสียความแม่นยำของการควบคุมแรง ซึ่งข้อจำกัดนี้เป็นธรรมชาติของการควบคุมการเคลื่อนที่ที่ ต้องการทั้งการควบคุมตำแหน่งและการควบคุมแรงกัทพร้อมกัน ในงานวิจัยที่เกี่ยวกับการควบคุมแรงและตำแหน่งนั้นส่วนมากจะแยกการควบคุมออกเป็นสองส่วนอย่างเด่นชัด คือหาทิศทางของการควบคุมแรง โดยทิศทางของการควบคุมแรงจะทำการควบคุมแรงเป็นหลัก และทิศทางที่ตั้งฉากกับแรงนี้ก็สามารถควบคุมตำแหน่งและความเร็วของการเคลื่อนที่ได้ แต่ในงานวิจัยนี้เราจะพยายามควบคุมทั้ง 2 อย่างไปพร้อมกัน แนนอนความแม่นยำของตำแหน่งย่อมสูญเสียไปบ้างแต่ลักษณะของการกักชิ้นงานที่สนใจในการวิจัยนี้เป็นการกักชิ้นงานโดยใช้แขนกลนำแขนกลตามที่มีแรงสะท้อนกลับนั้นเราจะควบคุมแรงก่อน ส่วนการควบคุมตำแหน่งนั้นเราสามารถใช้อื่นนำกำหนดตำแหน่งกัทซ้ำ ๆ โดยให้แรงกัทไม่เกินที่กำหนด โดยวิธีนี้เราก็จะได้ความแม่นยำการกักชิ้นงานของแขนกลตามโดยที่แรงกัทไม่เกินค่าที่กำหนด ทำให้คุณภาพของผิวชิ้นงานดีกว่าการที่เราไม่ได้ควบคุมแรงกัท

การควบคุมแรงกระทำกับสิ่งแวดล้อมจะแบ่งออกเป็น 2 ประเภทใหญ่ ๆ คือ การควบคุมแรงแบบทางอ้อม (indirect force control) และการควบคุมแรงแบบทางตรง (direct force control) การควบคุมแรงแบบทางอ้อมสามารถทำได้โดยการควบคุมการเคลื่อนที่ที่ปลายแขน โดยเราจำเป็นต้องทราบประมาณความแข็งเกร็งของสิ่งแวดล้อม (environment stiffness) และทำการปรับค่าเกณฑ์ควบคุมความหยุ่นตัว (active compliance control) ของการเคลื่อนที่ของปลายแขนหุ่นยนต์ ด้วยวิธีการนี้ความแม่นยำของแรงที่กระทำกับสิ่งแวดล้อมจะขึ้นอยู่กับความถูกต้องในการหาค่าความแข็งเกร็งของการสัมผัส (contact stiffness)

การควบคุมแรงกระทำโดยตรงนั้น เราจะใช้ค่าความผิดพลาดของแรงกระทำกับสิ่งแวดล้อมที่เกิดขึ้นจริงโดยวัดผ่านอุปกรณ์ตรวจรู้แรงกับแรงกระทำอ้างอิงหรือแรงกระทำที่ต้องการมาใช้ในการปรับระบบควบคุมแรงของการเคลื่อนที่ของปลายแขนกล

เมื่อปลายแขนกลตามมีการสัมผัสกับสิ่งแวดล้อม (ชิ้นงานหรือสิ่งกีดขวาง) จะเกิดแรงกระทำขึ้นที่ปลายแขนกลตาม เมื่อแรงกระทำดังกล่าวมีค่ามากพอจะสามารถทำความเสียหายต่อปลายแขนกลตามหรือพื้นผิวของสิ่งแวดล้อมหรือชิ้นงานนั้น ๆ ดังนั้นการควบคุมการเคลื่อนที่ของปลายแขนกลตามเมื่อมีการสัมผัสกับสิ่งแวดล้อมจึงต้องพิจารณาแรงที่เกิดขึ้นในระหว่างดำเนินการไปพร้อมกันด้วย Siciliano and Villani (1999) ได้แสดงวิธีการควบคุมแรง

โดยตรงจากค่าแรงที่วัดได้ด้วยอุปกรณ์ตรวจแรงในส่วนของการสัมผัสระหว่างปลายแขนกลตามและสิ่งแวดล้อม การควบคุมแรงให้ได้เท่ากับค่าอ้างอิงที่กำหนดจะมีผลต่อระบบการควบคุมตำแหน่ง ก่อนอื่นเราจะต้องการกล่าวถึงตำแหน่งคอมไพแลนต์ก่อน (Compliant position) ตำแหน่งคอมไพแลนต์หรือบางครั้งเราจะเรียกว่าตำแหน่งระนาบคอมไพแลนต์ ซึ่งคือระนาบที่ตรงตำแหน่งกระทำระหว่างปลายแขนกลกับสิ่งแวดล้อมหรือผิวชิ้นงาน โดยที่ระนาบนี้จะตั้งฉากกับแนวแรงที่กระทำและสัมผัสกับผิวชิ้นงานที่ตรงตำแหน่งดังกล่าว โดยเมื่อมีแรงกระทำเกิดขึ้นจะทำให้ค่าตำแหน่งคอมไพแลนต์ (Compliant position) เกิดการเปลี่ยนแปลงไปส่งผลให้ตำแหน่งอ้างอิงสำหรับปลายแขนกลตามเกิดการเปลี่ยนแปลงตามไปด้วย รูปที่ 3.6 แสดงแผนภาพการควบคุมตำแหน่งและแรง ตำแหน่งที่ต้องการให้ปลายแขนกลเคลื่อนที่ไปกำหนดค่าโดยตัวแปร  $p_d$  ส่วนแรงกระทำกับผิวชิ้นงานที่ต้องการกำหนดค่าโดยตัวแปร  $f_d$  โดยระบบควบคุมแรงดังกล่าวนี้จะทำการควบคุมแรงและตำแหน่งให้เข้าใกล้ค่าที่กำหนด



รูปที่ 3.6 แผนภาพแสดงการควบคุมตำแหน่งและแรงโดยตรง (Siciliano and Villani ,1999)

เมื่อมีค่าผลต่างของแรงที่ต้องการ ( $f_d$ ) และแรงที่ตรวจวัดได้จากอุปกรณ์ตัวรู้แรง ( $f$ ) ในทิศทางการเปลี่ยนแปลงตำแหน่งคอมไพแลนต์ โดยเราสามารถจำลองความสัมพันธ์ระหว่างผลต่างของแรงดังกล่าวกับตำแหน่งของระนาบคอมไพแลนต์ได้ดังแสดงในสมการที่ (3.30) จะเห็นว่าระนาบคอมไพแลนต์นี้จะต้องยุบตัวเมื่อแรงที่ต้องการมีค่ามากกว่าแรงที่วัดได้ โดยที่เราสามารถแก้สมการดังกล่าวเพื่อหาค่าตำแหน่งของระนาบคอมไพแลนต์เมื่อทราบค่าเริ่มต้น (initial condition) กำหนดให้ค่าเริ่มต้นของตำแหน่งคอมไพแลนต์  $p_c(0) = 0$  จะสามารถหาค่า  $p_c$  ณ เวลาต่างๆได้จากการอินทิเกรต

$$K_A \ddot{p}_c + K_V \dot{p}_c = (f_d - f) \quad (3.30)$$

ค่าตำแหน่งอ้างอิงสำหรับการเคลื่อนที่ของปลายแขนกลกำหนดโดยค่าตัวแปร  $p_r$  โดยที่ค่าตำแหน่งอ้างอิง  $p_r$  จะใช้เป็นตำแหน่งอ้างอิงในรูปของการควบคุมการเคลื่อนที่ของปลายแขนกล ซึ่งเป็นรูปในของระบบควบคุมตำแหน่งและแรงตั้งแสดงในรูปที่ 3.6 ตำแหน่งอ้างอิง  $p_r$  นี้จะเกิดจากผลรวมของตำแหน่งคอมไพลแอนท์ ( $p_c$ ) และตำแหน่งที่ต้องการ ( $p_d$ ) ตั้งสมการที่ (3.31)

$$p_r = p_c + p_d \quad (3.31)$$

เมื่อหาอนุพันธ์ลำดับที่ 1 และ 2 ของสมการ (3.31) เราจะได้ค่าความเร็วอ้างอิง ( $\dot{p}_r$ ) และ ความเร่งอ้างอิง ( $\ddot{p}_r$ ) ตั้งสมการที่ 3.32 และ 3.33 ตามลำดับ

$$\dot{p}_r = \dot{p}_c + \dot{p}_d \quad (3.32)$$

$$\ddot{p}_r = \ddot{p}_c + \ddot{p}_d \quad (3.33)$$

การควบคุมตำแหน่งปลายแขนกลให้มีค่าเท่ากับตำแหน่งอ้างอิง สามารถทำได้โดยการชดเชยความผิดพลาดด้วยแบบจำลองทางพลศาสตร์ (Model-based compensation) โดยกำหนดให้ค่าความเร่งที่ใช้ในระบบควบคุมดังกล่าวเขียนได้ตามสมการ (3.36) ระบบควบคุมตำแหน่งปลายแขนกลดังกล่าวสามารถสรุปได้ดังนี้ คือ

จากแบบจำลองทางพลศาสตร์ของแขนกล คือ

$$B(q)\ddot{q} + C(q, \dot{q})\dot{q} + F\dot{q} + g(q) = \tau - J^T(q)h \quad (3.34)$$

โดยที่

- $q$  คือ พิกัดทั่วไป (generalized coordinate)
- $B(q)$  คือ เมตริกซ์ของความเฉื่อย (inertial matrix)
- $C(q, \dot{q})$  คือ เทอมที่ไม่เป็นเชิงเส้นตรง (non-linear term) ขึ้นอยู่กับแรงสู่ศูนย์กลางและแรงโคลิโอริส (coriolis)
- $F\dot{q}$  คือ แรงเนื่องจากความเสียดทานหนืด (viscous friction)
- $g(q)$  คือ แรงเนื่องจากความโน้มถ่วงโลก (gravitational force)
- $J^T(q)h$  คือ แรงที่ปลายแขนกลกระทำกับสิ่งแวดล้อมโดยคิดเทียบที่พิกัดของแขนกล
- $\tau$  คือ แรงที่มอเตอร์กระทำกับข้อต่อของแขนกล



ระบบควบคุมแบบการชดเชยด้วยแบบจำลองพลศาสตร์ โดยสมมติว่าเราสามารถหาแบบจำลองทางคณิตศาสตร์ของการเคลื่อนที่ของแขนกล และเราสามารถวัดค่าตัวแปร  $q, \dot{q}$  ได้ รวมถึงการวัดแรงกระทำที่ปลายแขนหุ่นยนต์กระทำกับสิ่งแวดล้อมโดยใช้อุปกรณ์ตรวจวัดแรงที่ติดตั้งที่ฐานยึดจับชิ้นงาน ประกอบเราสามารถหาค่าจาโคเบียน  $J(q)$  ของแขนกลที่เรากำลังทำการทดลองได้ ดังนั้น แรงที่มอเตอร์ต้องสร้างในระบบควบคุมการเคลื่อนที่ คือ

$$\tau = B(q)a_p + C(q, \dot{q})\dot{q} + F\dot{q} + g(q) + J^T(q)h \quad (3.35)$$

โดยที่ค่าความเร่ง  $a_p$  สามารถกำหนดได้จากสมการ (3.36) โดยการจูนค่าเกน  $K_P$  และ  $K_D$  ที่เหมาะสม ซึ่งจะกล่าวต่อไปในบทที่เกี่ยวกับการทดลอง ตัวแปร  $q$  ในที่นี้คือระยะทางแนวบอลสกรูที่ขับโดยมอเตอร์ทั้ง 4 ตัว หรือคือ  $l_1, l_2, l_3, l_4$  โดยที่แต่ละแกนสามารถควบคุมแยกเป็นอิสระจากกัน โดยเรากำหนดให้ค่าความเร่ง  $a_p$  ได้คือ

$$a_p = \ddot{l}_e + K_D(\dot{l}_e - \dot{l}) + K_P(l_e - l) \quad (3.36)$$

โดยที่  $l_e$  คือตำแหน่งที่ต้องการของตัวเลื่อนบนบอลสกรู ( $l_1, l_2, l_3, l_4$ ) และตัวแปร  $l$  คือตำแหน่งของตัวเลื่อนบนบอลสกรูที่วัดได้

เนื่องจากการทำงานของระบบที่เรากำลังสนใจนั้น เป็นการเคลื่อนที่ที่ความเร็วไม่สูงมาก จะทำให้เทอม  $C(q, \dot{q})\dot{q}$  มีขนาดเล็กสามารถละทิ้งได้ เช่นเดียวกับเราสามารถสมมติว่าแรงเสียดทานความหนืดมีค่าน้อยมากเช่นกัน ส่วนเทอมที่เกี่ยวกับแรงโน้มถ่วงนั้น เนื่องจากมอเตอร์ขับเคลื่อนมวลให้เคลื่อนที่ในแนวนอนตั้งตามทิศทางของบอลสกรู ซึ่งตรงข้ามกับแรงโน้มถ่วง ดังนั้นเราจึงสามารถละทิ้งเทอมเนื่องจากแรงโน้มถ่วงได้เช่นเดียวกัน คุณสมบัติดังกล่าวข้างต้นเป็นข้อดีของโครงการแบบขนานที่พัฒนาขึ้นในห้องปฏิบัติการวิจัย เมื่อเปรียบเทียบกับการใช้โครงสร้างแขนกลแบบอนุกรม (serial mechanism) ซึ่งการลดค่าดังกล่าวอาจจะต้องพิจารณารายละเอียดให้มากกว่านี้

เมื่อแทนสมการ (3.35) และ (3.36) ลงในสมการ (3.34) จะได้ว่า

$$\ddot{q} = \ddot{l} = a_p = \ddot{l}_e + K_D(\dot{l}_e - \dot{l}) + K_P(l_e - l) \quad (3.37)$$

โดยที่  $\ddot{q}$  ในที่นี้ก็คือ  $\ddot{l}$  ดังนั้น เราจะได้ว่า

$$\ddot{e} + K_D \dot{e} + K_P e = 0 \Leftrightarrow e = l_e - l \quad (3.38)$$

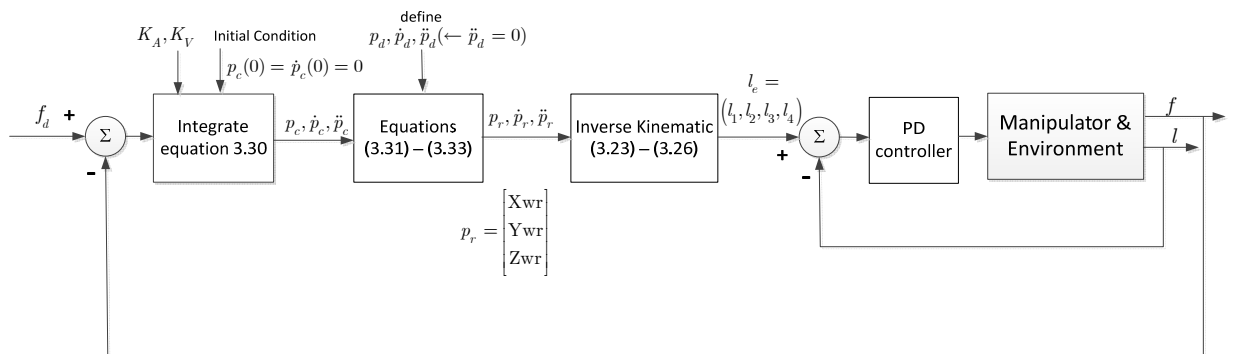
สมการ (3.38) คือสมการที่ใช้ในการออกแบบตัวควบคุมการเคลื่อนที่ตำแหน่งของปลายแขนกล ซึ่งก็คือรูปในของระบบควบคุมตำแหน่งและแรงโดยตรง

ขั้นตอนดังกล่าวมาข้างต้นสรุปได้ว่า กรณีปลายแขนกลมีการสัมผัสกับสิ่งแวดล้อมจะสามารถหาตำแหน่งอ้างอิง ( $p_r$ ) สำหรับควบคุมปลายแขนกลที่ต้องเคลื่อนไป ได้จากผลรวมของค่าตำแหน่งคอมไพลแอนท์ ( $p_c$ ) และ ค่าตำแหน่งเดิมที่ต้องการให้ปลายแขนกลเคลื่อนที่ไป ( $p_d$ ) จากนั้นจึงนำค่าตำแหน่งอ้างอิงมาใช้ในการควบคุมตำแหน่งการเคลื่อนที่ของแขนกลด้วยวิธีการควบคุมแบบชดเชยด้วยแบบจำลองพลศาสตร์ (Model-based compensation) หรือบ่อยครั้งเราจะเรียกว่า อินเวอร์สไดนามิก (Inverse Dynamic) เพื่อคำนวณหาแรงบิด ( $\tau$ ) สำหรับอุปกรณ์ขับเคลื่อนแต่ละตัวเพื่อให้ปลายแขนกลมีตำแหน่งและค่าแรงกระทำมีค่าเข้าใกล้ค่าที่กำหนดไว้

ค่าของตำแหน่งคอมไพลแอนท์ ( $p_c$ ) หาได้จากสมการที่ (3.30) เมื่อพิจารณาการเปลี่ยนแปลงตำแหน่งคอมไพลแอนท์ในทิศทางเดียวกับทิศทางของแรงที่เกิดขึ้นโดยการปรับค่าเกน  $K_A$  และ  $K_V$  เพื่อให้การเปลี่ยนแปลงตำแหน่งคอมไพลแอนท์มีความเหมาะสมกับแรงที่เกิดขึ้นในขณะที่ปลายแขนกลเกิดการสัมผัสกับสิ่งแวดล้อม ค่าเกนดังกล่าวประมาณค่าได้จากการทดลองเมื่อทำการวิเคราะห์ผลการเคลื่อนที่ปลายแขนกลและค่าแรงที่เกิดขึ้น

รูปที่ 3.7 แสดงแผนภาพของระบบควบคุมตำแหน่งและแรงโดยตรง ซึ่งปรับมาจากระบบควบคุมตามแผนภาพในรูปที่ 3.6 ซึ่งระบบควบคุมตำแหน่งและแรงโดยตรงที่ดัดแปลงนี้เกิดจากแนวคิดที่อธิบายข้างต้นตามสมการ (3.30) – (3.38) โดยใช้สมมติฐานว่าการทำงานของระบบดังกล่าวนี้มีความเร็วไม่สูงมาก ประกอบกับการควบคุมของมอเตอร์ทั้ง 4 ตัวที่ขับเคลื่อนชุดบอลสกรูสามารถทำงานแยกเป็นอิสระต่อกัน โดยขั้นตอนการทำงานสามารถสรุปได้ดังนี้

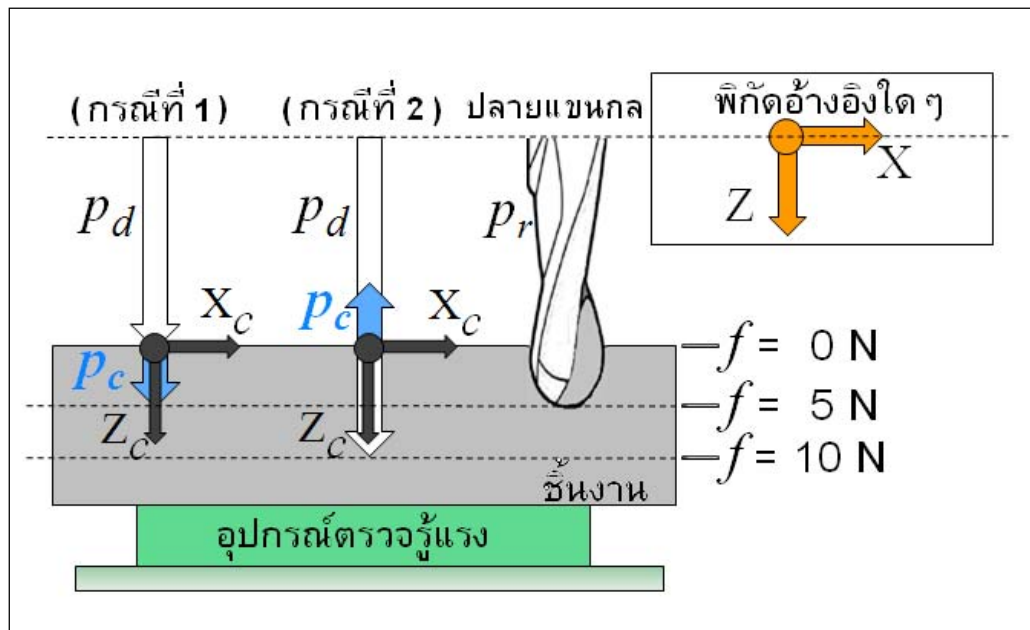
กำหนดค่าแรงกัตที่ต้องการคือ  $f_d$  เปรียบเทียบกับค่าแรงที่วัดได้คือ  $f$  ค่าความแตกต่างสามารถนำไปใช้ในสมการที่ (3.30) เราสามารถคำนวณหาค่า  $p_c, \dot{p}_c, \ddot{p}_c$  ได้โดยการใช้ทฤษฎีสมการที่ (3.30) โดยกำหนดค่าเริ่มต้น  $p_c(0) = \dot{p}_c(0) = 0$  และค่า  $K_A, K_V$  (ที่สามารถหาได้จากการทดลอง ซึ่งจะกล่าวต่อไปในบทการทดลอง) จากค่า  $p_c, \dot{p}_c, \ddot{p}_c$  ที่หาได้นี้พร้อมกับค่า  $p_d, \dot{p}_d, \ddot{p}_d$  ที่กำหนดขึ้น เราสามารถหาค่า  $p_r, \dot{p}_r, \ddot{p}_r$  ได้จากสมการ (3.31) – (3.33) นำค่า  $p_r$  ที่หามาได้นี้นำไปแทนในสมการอินเวอร์สคิเนเมติก เราจะได้ค่า  $l_e = (l_1, l_2, l_3, l_4)$  ซึ่งก็คือค่าระยะทางการเคลื่อนที่ของบอลสกรูแต่ละแกน จากค่า  $l_e$  ที่ต้องการของแต่ละแกนเราสามารถใส่ตัวควบคุมพีดีเพื่อควบคุมการเคลื่อนที่ของมอเตอร์ในการขับเคลื่อนบอลสกรูให้ได้ระยะทางตามต้องการ การทำงานของระบบควบคุมที่กล่าวมานี้สามารถเขียนเป็นแผนภาพบล็อกได้ตามรูปที่ 3.7



รูปที่ 3.7 แผนภาพแสดงระบบควบคุมตำแหน่งและแรงโดยตรงของแขนกลตาม

เพื่อให้เกิดความเข้าใจการควบคุมตำแหน่งและแรงโดยตรงที่ใช้ในงานวิจัยนี้ ผู้วิจัยขอเสนอภาพแสดงลักษณะการเปลี่ยนแปลงตำแหน่งคอมโพสไฟลแอนท์เฉพาะใน 1 ทิศทางเพื่อให้เกิดความเข้าใจมากขึ้น ขณะที่ปลายแขนกลเกิดการสัมผัสกับสิ่งแวดล้อม (ผิวหน้าของชิ้นงาน) ดังแสดงในรูปที่ 3.8 เมื่อพิจารณาแรงกระทำที่เกิดขึ้นเฉพาะแนวแกน Z ผลต่างระหว่างค่าแรงที่กำหนดและค่าแรงที่วัดได้ด้วยอุปกรณ์ตรวจรู้แรงในแนวแกน Z สามารถนำมาใช้ในการแสดงผลการเปลี่ยนแปลงตำแหน่งคอมโพสไฟลแอนท์

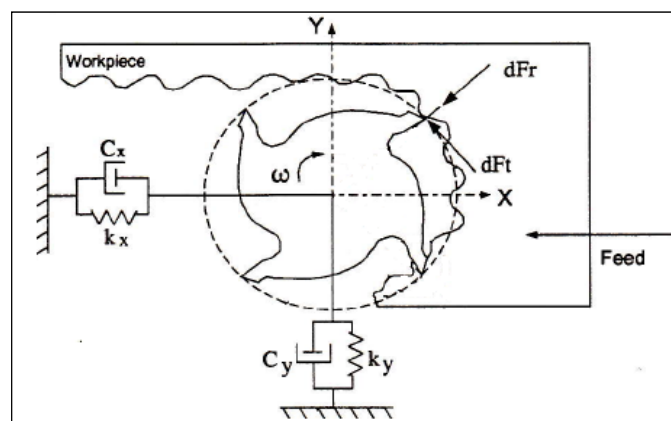
สมมุติว่าต้องการให้แรงกระทำเมื่อปลายแขนกลสัมผัสกับผิวชิ้นงานมีค่า 5 นิวตัน ค่าของแรงกระทำสามารถวัดได้ด้วยอุปกรณ์ตรวจรู้แรง (ติดตั้งไว้กับอุปกรณ์ยึดจับชิ้นงาน) กรณีชิ้นงานมีคุณสมบัติสม่ำเสมอจะพบว่าแรงที่วัดได้มีค่าเพิ่มขึ้นเมื่อปลายแขนกลเคลื่อนที่เข้าไปในเนื้อวัสดุมากขึ้น เราสามารถแบ่งลักษณะการสัมผัสระหว่างปลายแขนกลกับผิวชิ้นงานออกได้เป็น 2 กรณีดังนี้ กรณีที่ 1 กำหนดให้ตำแหน่งปลายแขนกลเริ่มสัมผัสผิวชิ้นงาน จะมีค่าของแรงในทิศทางการเปลี่ยนแปลงตำแหน่งคอมโพสไฟลแอนท์น้อยกว่าค่าที่กำหนด การเปลี่ยนแปลงตำแหน่งคอมโพสไฟลแอนท์จึงมีทิศทางเข้าสู่เนื้อวัสดุมากขึ้นทำให้แรงกระทำเพิ่มขึ้นจนเข้าสู่ค่าที่กำหนดไว้ ส่วนในกรณีที่ 2 พบว่าแรงเริ่มต้นมีค่าสูงกว่าค่าที่กำหนดไว้ทำให้ทิศทางการเปลี่ยนแปลงตำแหน่งคอมโพสไฟลแอนท์จะมีทิศทางออกจากเนื้อหรือผิวของวัสดุมากขึ้นจนกระทั่งแรงที่วัดได้มีค่าเท่ากับแรงที่กำหนดไว้ ดังนั้นปลายแขนกลทั้งสองกรณีจะเคลื่อนที่เข้าสู่ตำแหน่งอ้างอิงของปลายแขนกล ( $p_r$ ) โดยมีค่าของแรงที่วัดได้เท่ากับค่าของแรงที่กำหนดไว้ (5 นิวตัน)



รูปที่ 3.8 ลักษณะการเปลี่ยนแปลงตำแหน่งคอมไฟลแอนท์

ในงานวิจัยนี้ ตำแหน่งปลายแขนกลที่สัมผัสกับชิ้นงานคือตำแหน่งของดอกกัดในขณะที่ทำการกัดชิ้นงาน การเปลี่ยนแปลงตำแหน่งคอมไฟลแอนท์ในขณะที่กัดชิ้นงานจึงอาศัยค่าแรงกัดซึ่งวัดค่าด้วยอุปกรณ์ตรวจจับแรง ค่าแรงกัดที่นำมาใช้ในการคำนวณจะต้องมีทิศทางของแรงที่สอดคล้องกับทิศทางการเคลื่อนที่ของดอกกัดชิ้นงาน ผู้วิจัยจึงได้ศึกษางานวิจัยที่แสดงทิศทางของแรงกัดในขณะที่ดอกกัดทำการกัดชิ้นงานเพื่อนำไปใช้อ้างอิงสำหรับการเคลื่อนดอกกัดในทิศทางอื่นๆต่อไป ตัวอย่างงานวิจัยที่ศึกษาแรงกัดชิ้นงานแสดงดังต่อไปนี้

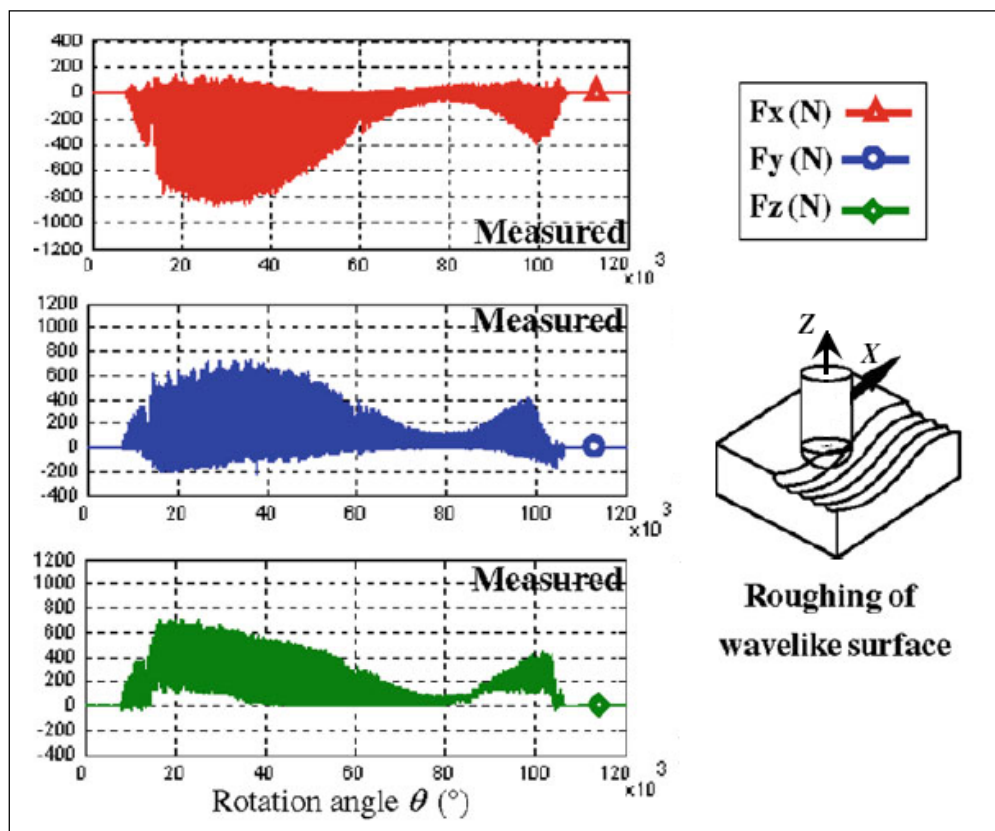
Altintas and Lee (1998) ได้แสดงการพิจารณาทิศทางของแรงกัดเมื่อดอกกัดแบบ 4 ฟัน เคลื่อนที่กัดชิ้นงาน ดังรูปที่ 3.9 กรณีที่ดอกกัดอยู่หนึ่งส่วนชิ้นงานมีการเคลื่อนที่ในทิศทาง  $-X$  (เสมือนดอกกัดเคลื่อนที่ในทิศทาง  $X$ )



รูปที่ 3.9 แบบจำลองของดอกกัดในขณะกัดชิ้นงาน (Altintas and Lee, 1998)

ดอกกัทซ์ขึ้นงานหมุนด้วยความเร็วรอบ  $\omega$  ในทิศทางดังแสดงในรูปที่ 3.9 เมื่อพิจารณา ส่วนที่คมกัทซ์ของแต่ละฟันสัมผัสขึ้นงานจะเกิดแรงกัทซ์  $dFr$  ในทิศทางแนวรัศมีของดอกกัทซ์และ  $dFt$  ในทิศทางการหมุนของคมดอกกัทซ์ แรงที่เกิดขึ้นจากคมกัทซ์ทั้งหมดส่งผลให้เกิดแรงในแนวแกน X และ Y ตามตำแหน่งการหมุนของคมกัทซ์และการเคลื่อนที่ของดอกกัทซ์ เนื่องจากแบบจำลองนี้เป็นแบบจำลองในสภาวะพลวัต (ดอกกัทซ์เกิดการสั่นแซดเตอร์ในแนวแกน X และ Y) จึงได้มีการจำลองค่าสัมประสิทธิ์สปริงและสัมประสิทธิ์แดมปีงเอาไว้ด้วย

Zeroudi et al. (2010) แสดงผลการวัดค่าแรงกัทซ์ในแนวแกน X Y และ Z เมื่อกำหนดให้ดอกกัทซ์หัวทรงกลมแบบ 2 ฟันเคลื่อนที่กัทซ์ขึ้นงานวัสดุ 42CrMo4 เป็นลักษณะคลื่น (Wave like) (ดังแสดงในรูปขวามือด้านล่างของรูปที่ 3.10) ในทิศทางการเคลื่อนที่แนวแกน X จะได้ลักษณะของแรงกัทซ์ขึ้นงานดังรูปที่ 3.10 (ซึ่งแสดงเฉพาะ 1 เที้ยวของการกัทซ์) สังเกตได้ว่าเมื่อดอกกัทซ์เคลื่อนที่ในแนวแกน X แรงกัทซ์ค่าสูงในแนวแกน X ( $F_x$ ) มีค่าเป็นค่าลบ (ขนาดของแรงกัทซ์สูงสุด 800 นิวตัน) แรงกัทซ์ค่าสูงในแนวแกน Y ( $F_y$ ) มีค่าเป็นบวก (ขนาดของแรงกัทซ์สูงสุด 700 นิวตัน) และแรงกัทซ์แนวแกน Z ( $F_z$ ) มีค่าเป็นบวก (ขนาดของแรงกัทซ์สูงสุด 700 นิวตัน) ทิศทางของแรงกัทซ์ดังกล่าวสามารถนำมาใช้อ้างอิงต่อไป



รูปที่ 3.10 แรงกัทซ์ขึ้นงานที่วัดค่าได้ ( $F_x, F_y$  และ  $F_z$ ) เมื่อกัทซ์ขึ้นงานเป็นคลื่น (Zeroudi et al., 2010)

### 3.3 การสร้างแรงสะท้อนกลับ

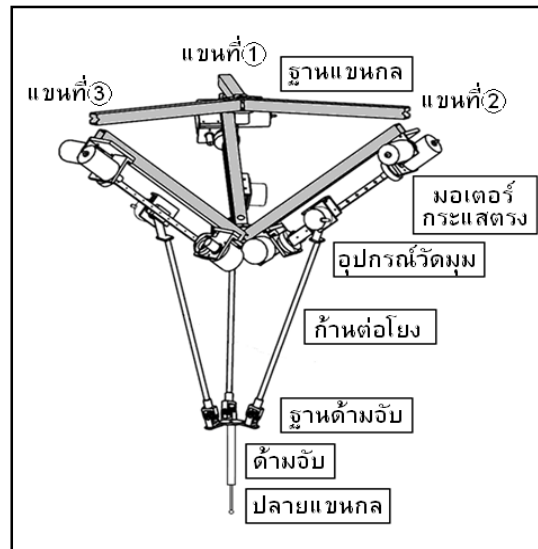
เมื่อผู้ดำเนินการทำการควบคุมแขนกลตามโดยใช้มือการขับเคลื่อนแขนกลนำ เพื่อให้ผู้ดำเนินการมีความรู้สึกถึงแรงกระทำระหว่างปลายแขนกลตามกับสิ่งแวดล้อม เราจะเป็นต้องสร้างแรงสะท้อนกลับไปที่มือของผู้ดำเนินการ เนื่องจากแขนกลนำก็เปรียบเสมือนแขนกลที่สามารถควบคุมการเคลื่อนที่ได้ด้วยเช่นกัน การสร้างแรงสะท้อนกลับกระทำต่อมือของผู้ดำเนินการสามารถทำได้โดยสร้างแรงขับเคลื่อนจากมอเตอร์กระแสตรงจำนวน 6 ตัว ซึ่งติดตั้งไว้ที่ฐานของแขนกลนำดังรูปที่ 3.11 ผู้ดำเนินการจะรู้สึกถึงแรงกระทำเมื่ออุปกรณ์ขยายสัญญาณ (Amplifier) มีการจ่ายกระแสไฟฟ้าไปที่มอเตอร์แต่ละตัวตามสัดส่วนของแรงบิดที่ต้องการ (desired torque) ระบบควบคุมจะสามารถคำนวณหาค่าแรงบิดที่ต้องการสำหรับมอเตอร์ ( $\tau$ ) ได้จากแรงที่ต้องการให้เกิดขึ้นที่ปลายแขนกลนำ ( $\mathbf{F}$ ) และเมตริกซ์จาโคเบียนของแขนกลนำ ( $\mathbf{J}$ ) ดังนี้

$$\mathbf{F} = \mathbf{J}^T \boldsymbol{\tau} \quad (3.39)$$

เมื่อ  $\mathbf{F} = [M_X \ M_Y \ M_Z \ F_X \ F_Y \ F_Z]^T$  ประกอบด้วยโมเมนต์ ( $M$ ) และแรง ( $F$ ) ในแนวแกน X Y และ Z

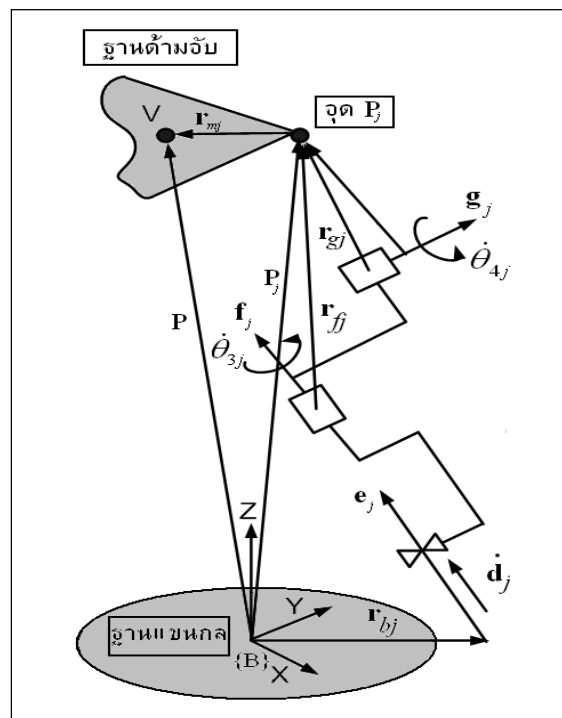
$\boldsymbol{\tau} = [f_1 \ \tau_1 \ f_2 \ \tau_2 \ f_3 \ \tau_3]^T$  ประกอบด้วยแรงในแนวเลื้อน ( $f$ ) และแรงบิด ( $\tau$ ) ของมอเตอร์ในแขนที่ 1 2 และ 3

เมตริกซ์จาโคเบียน ( $\mathbf{J}$ ) ประกอบด้วยอินเวอร์สของเมตริกซ์  $\mathbf{A}$  คูณกับเมตริกซ์  $\mathbf{B}$  ( $\mathbf{J} = \mathbf{A}^{-1}\mathbf{B}$ ) เราสามารถหาค่าเมตริกซ์  $\mathbf{A}$  และ เมตริกซ์  $\mathbf{B}$  ได้จากการวิเคราะห์โครงสร้างของแขนกลนำ รายละเอียดของการหาเมตริกซ์  $\mathbf{A}$  และเมตริกซ์  $\mathbf{B}$  สามารถศึกษาได้จาก (Sangveraphunsiri and Ngamvilakorn, 2005) โดยในที่นี้จะกล่าวเฉพาะส่วนที่จำเป็นในการใช้งานกับงานวิจัยนี้เท่านั้น



รูปที่ 3.11 ส่วนประกอบโครงสร้างของแขนกลนำ

โครงสร้างแขนกลนำในแต่ละแขนสำหรับการหาค่าเมตริกซ์  $A$  และ  $B$  แสดงในรูปที่ 3.12 โดยทำการกลับด้านโครงสร้างของแขนกลนำให้ฐานด้ามจับขึ้นด้านบน แขนกลนำมีข้อต่อซึ่งติดตั้งอุปกรณ์ขับเคลื่อนด้วยมอเตอร์กระแสตรง (Active joint) สามารถทำให้เกิดแรงกระทำในแนวแกน  $e_j$  และ แรงบิดกระทำรอบแนวแกน  $f_j$  เพื่อส่งแรงสะท้อนกลับไปที่ฐานด้ามจับและส่งต่อไปถึงมือของผู้ดำเนินการ



รูปที่ 3.12 โครงสร้างแขนกลนำในแต่ละแขนสำหรับการวิเคราะห์เมตริกจาโคเบียน

เมตริกซ์  $\mathbf{A}$  สามารถเขียนได้ดังนี้

$$\mathbf{A} = \begin{bmatrix} a_{11} & 0 & 0 & 0 & 0 & 0 \\ 0 & a_{12} & 0 & 0 & 0 & 0 \\ 0 & 0 & a_{21} & 0 & 0 & 0 \\ 0 & 0 & 0 & a_{22} & 0 & 0 \\ 0 & 0 & 0 & 0 & a_{31} & 0 \\ 0 & 0 & 0 & 0 & 0 & a_{32} \end{bmatrix} \quad (3.40)$$

เมื่อ  $a_{j1} = -\cos \theta_{j4}$  ,  $a_{j2} = -\sin \theta_{j4} L$  และ  $j = 1, 2, 3$  โดยมุม  $\theta$  ต่างๆ สามารถวัดได้จากอุปกรณ์วัดมุมที่ติดตั้งอยู่ที่ข้อต่อต่างๆ ในที่นี้เราติดตั้งอุปกรณ์วัดมุมทั้งหมด 9 ตัว โดยติดตั้ง 3 ตัวในแต่ละแขนซึ่งจะมีทั้งหมด 3 แขน

เมตริกซ์  $\mathbf{B}$  สามารถเขียนได้ ดังนี้

$$\mathbf{B} = \begin{bmatrix} (\mathbf{I}_1 \times \mathbf{r}_{m1})^T & \mathbf{I}_1^T \\ (\mathbf{M}_1 \times \mathbf{r}_{m1})^T & \mathbf{M}_1^T \\ (\mathbf{I}_2 \times \mathbf{r}_{m2})^T & \mathbf{I}_2^T \\ (\mathbf{M}_2 \times \mathbf{r}_{m2})^T & \mathbf{M}_2^T \\ (\mathbf{I}_3 \times \mathbf{r}_{m3})^T & \mathbf{I}_3^T \\ (\mathbf{M}_3 \times \mathbf{r}_{m3})^T & \mathbf{M}_3^T \end{bmatrix} \quad (3.41)$$

เมื่อ  $j = 1, 2, 3$

$$\mathbf{I}_j = \begin{bmatrix} \left( \begin{array}{l} \sin \theta_1 \sin \theta_3 \sin \theta_4 - \cos \theta_1 \cos \theta_2 \cos \theta_3 \sin \theta_4 \\ + \cos \theta_1 \sin \theta_2 \cos \theta_4 \end{array} \right) \\ \left( \begin{array}{l} -\cos \theta_1 \sin \theta_3 \sin \theta_4 - \sin \theta_1 \cos \theta_2 \cos \theta_3 \sin \theta_4 \\ + \sin \theta_1 \sin \theta_2 \cos \theta_4 \end{array} \right) \\ \left( -\sin \theta_2 \cos \theta_3 \sin \theta_4 - \cos \theta_2 \cos \theta_4 \right) \end{bmatrix}_j$$

$$\mathbf{M}_j = \begin{bmatrix} \left( \begin{array}{l} \cos \theta_1 \cos \theta_2 \sin \theta_3 + \sin \theta_1 \cos \theta_3 \\ \sin \theta_1 \cos \theta_2 \sin \theta_3 - \cos \theta_1 \cos \theta_3 \end{array} \right) \\ \left( \sin \theta_2 \sin \theta_3 \right) \end{bmatrix}_j$$

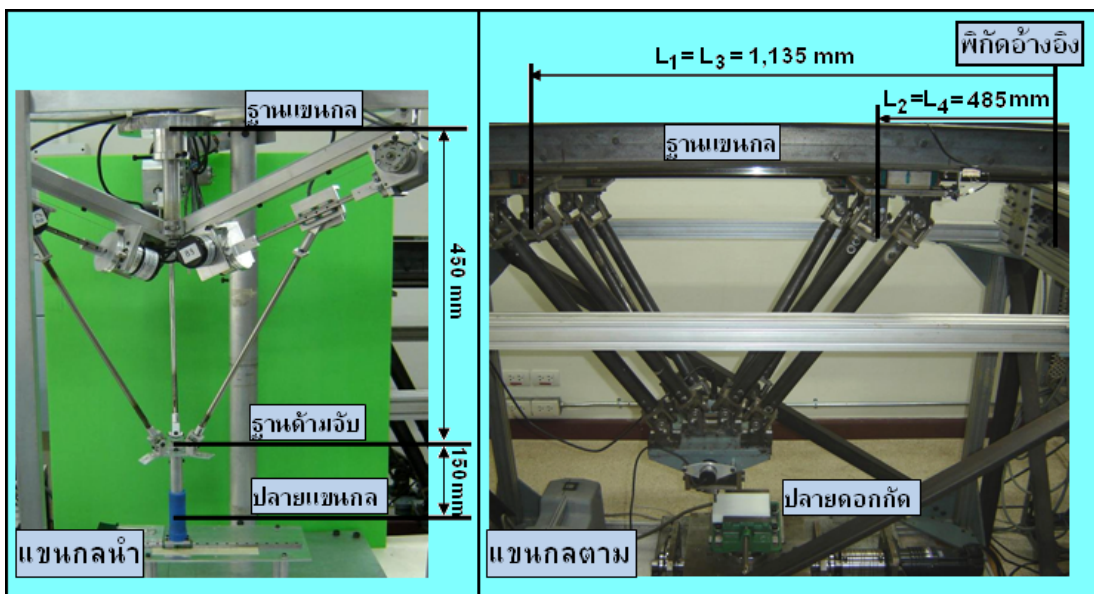
$$\mathbf{r}_{mj} = \mathbf{P} - \mathbf{P}_j$$



## บทที่ 4

### ผลการทดลอง

ก่อนเริ่มการทำงานของระบบแขนกลนำ-ตามนั้น ผู้ดำเนินการต้องปรับตำแหน่งของแขนกลนำและแขนกลตามให้อยู่ ณ ตำแหน่งเริ่มต้นการทำงาน (Home Position) รูปที่ 4.1 แสดงรูปแบบตำแหน่งเริ่มต้นของทั้งแขนกลนำและแขนกลตาม โดยตำแหน่งเริ่มต้นการทำงานนี้จะต้องมีค่าเท่ากับค่าตำแหน่งเริ่มต้นที่กำหนดไว้ในโปรแกรมควบคุมการทำงาน โดยกำหนดให้ฐานด้ามจับของแขนกลนำห่างจากฐานแขนกลนำเท่ากับ 450 mm ความยาวด้ามจับถึงปลายแขนกลนำจะเท่ากับ 150 mm ในส่วนของแขนกลตามจะต้องทำการปรับระยะห่างระหว่างฟิวด์อ้างอิง(กำหนดไว้บนพื้นผิวของชิ้นส่วนอะลูมิเนียม)และข้อต่อยูนิเวอร์แซลของชุดแขนด้านในดังต่อไปนี้ ข้อต่อที่ 1 และ 3 คือ 1,135 mm ข้อต่อที่ 2 และ 4 คือ 485 mm



รูปที่ 4.1 ตำแหน่งเริ่มต้นการทำงาน (Home Position) ของแขนกลนำและแขนกลตาม

การเคลื่อนที่ของปลายแขนกลตามนั้นจะเป็นการควบคุมแบบเซอร์โว (servo) ซึ่งจะมีการควบคุมอยู่ 2 ลักษณะ กล่าวคือ ลักษณะแรก สัญญาณอ้างอิงที่ใช้ในรูปควบคุมนั้นจะได้จากค่าตำแหน่งและทิศทางจากแขนกลนำ เมื่อแขนกลนำเคลื่อนที่อุปกรณ์วัดตำแหน่งที่ติดอยู่กับแขนกลนำจะใช้เป็นข้อมูลในการสร้างเส้นทางการเคลื่อนที่เพื่อใช้เป็นสัญญาณอ้างอิงสำหรับควบคุมแขนกลตาม เพื่อให้แขนกลตามมีการเคลื่อนที่ในลักษณะเดียวกับแขนกลนำ การควบคุมอีกลักษณะหนึ่งอาศัยการกำหนดเส้นทางการเคลื่อนที่ขึ้นมาเพื่อใช้เป็นสัญญาณเส้นทางอ้างอิง (referenced path) ที่ใช้ในระบบควบคุมแบบเซอร์โว โดยที่การกำหนดเส้นทางจะเป็นลักษณะบอกทิศทางและอัตราการเคลื่อนที่เพื่อให้ปลายแขนกล 5 แกน มีการเคลื่อนที่ตามที่ต้องการโดย

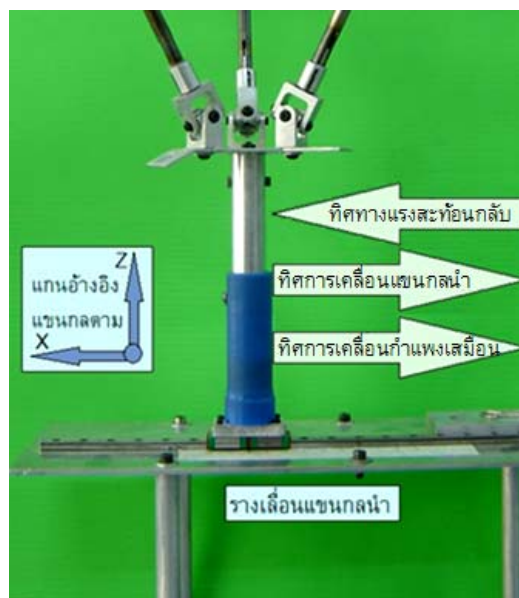
ไม่จำเป็นต้องใช้แขนกลนำเป็นตัวสร้างเส้นทางอ้างอิง การกำหนดเส้นทางเคลื่อนที่โดยไม่จำเป็นต้องใช้แขนกลนำดังกล่าวจะมีประโยชน์ในกรณีที่ต้องการเคลื่อนตำแหน่งดอกกัดไปยังตำแหน่งเริ่มต้นการกัดชิ้นงาน และกรณีทำการทดลองกัดชิ้นงานโดยการเคลื่อนที่เฉพาะแขนกล 5 แกน ด้วยความเร็วคงที่ เป็นต้น

เมื่อเริ่มต้นการกัดชิ้นงาน ผู้ดำเนินการต้องยึดจับชิ้นงานด้วยปากกาจับงานซึ่งติดตั้งไว้ด้านบนของอุปกรณ์ตรวจรู้แรงดังแสดงในรูปที่ 4.2 ส่วนฐานอีกด้านหนึ่งของอุปกรณ์ตรวจรู้แรงกัดจะยึดติดกับโต๊ะยึดชิ้นงานของแขนกลตาม เพื่อใช้สำหรับตรวจวัดแรงกัดในขณะที่ดอกกัดทำการกัดเซาะชิ้นงาน ดอกกัดหมุนได้โดยอาศัยการขับเคลื่อนของชุดหัวกัด (router) ซึ่งกำหนดให้มีความเร็วรอบในการหมุน 5,000 rpm ตลอดระยะเวลาการทำงาน ในงานวิจัยนี้ใช้ชุดหมุนหัวกัด (spindle) ยี่ห้อ KRESS 1050 ในการหมุนดอกกัดชนิดหัวกัดเป็นรูปทรงกลมแบบ 2 ฟัน ขนาดเส้นผ่านศูนย์กลาง 8 mm โดยใช้พลาสติกเป็นวัสดุที่ใช้ในการทดสอบการกัดชิ้นงาน และใช้อุปกรณ์ตรวจรู้แรงของบริษัท Kistler ซึ่งสามารถตรวจวัดแรงได้ 3 ทิศทาง ประกอบด้วยแรงในแนวแกน x, y, และ z คือแรง  $F_x$ ,  $F_y$  และ  $F_z$  ตามลำดับ และสามารถวัดค่าโมเมนต์รอบแนวแกนได้ 1 ทิศทางคือตามทิศทาง z คือแรงโมเมนต์  $M_z$  แต่ในงานวิจัยนี้ค่าแรงโมเมนต์  $M_z$  ไม่ได้ถูกนำมาใช้ อุปกรณ์ตรวจรู้แรงดังกล่าวที่ใช้งานวิจัยนี้จะเป็นแบบควอตซ์ (quartz) กล่าวคือ แรงที่วัดได้จะอยู่ในรูปของประจุไฟฟ้า โดยที่ประจุไฟฟ้าที่วัดได้จะส่งผ่านไปยังชุดขยายสัญญาณแบบประจุ (Charge Amplifier) เพื่อเปลี่ยนค่าประจุดังกล่าวให้อยู่ในรูปของแรงดันไฟฟ้า (Voltage) จากนั้นจึงทำการแปลงค่าสัญญาณที่ได้มาเป็นค่าแรงกัดตามสัดส่วนที่ได้มีการแนะนำไว้ในคู่มือของอุปกรณ์ตรวจรู้แรง



รูปที่ 4.2 การติดตั้งอุปกรณ์ตรวจรู้แรงและการยึดจับชิ้นงาน

ในกรณีที่แขนกลตามเคลื่อนที่โดยอาศัยค่าตำแหน่งและทิศทางจากแขนกลนำ ลักษณะการเคลื่อนที่ตามจับแขนกลนำของผู้ดำเนินการจะส่งผลต่อลักษณะการเคลื่อนที่ของแขนกลตามและการเคลื่อนที่ของคัตในขณะกัตชิ้นงาน งานวิจัยนี้ได้เลือกใช้อุปกรณ์รางเลื่อนดังแสดงในรูปที่ 4.3 เพื่อช่วยอำนวยความสะดวกในการทดลองกรณีการเคลื่อนที่เป็นเส้นตรงเพราะว่าสามารถเริ่มการเคลื่อนที่ที่ตำแหน่งที่จากตำแหน่งเริ่มต้นของแขนกลนำ (Home Position) ซึ่งกำหนดไว้บนอุปกรณ์รางเลื่อนดังกล่าว นอกจากนี้รางเลื่อนแขนกลนำยังมีประโยชน์ในการทดสอบค่าแรงสะท้อนกลับกระทำต่อมือผู้ดำเนินการในทิศทางตรงข้ามกับการเคลื่อนที่ของแขนกลนำบนรางเลื่อน เช่น กรณีที่มีการเคลื่อนที่ของแขนกลนำในทิศทาง  $-X$  จะเกิดแรงสะท้อนกลับในทิศทาง  $X$  แรงสะท้อนกลับของแขนกลนำเกิดขึ้นได้จากค่าสัญญาณอ้างอิงซึ่งคำนวณได้ในระบบควบคุมสัญญาณอ้างอิงดังกล่าวอาจกำหนดขึ้นได้จากผลต่างระหว่างตำแหน่งการเคลื่อนที่ของแขนกลนำและการเคลื่อนที่ของกำแพงเสมือน กำแพงเสมือนดังกล่าวเป็นขอบเขตที่สร้างขึ้นในโปรแกรมควบคุม เพื่อช่วยจำกัดบริเวณการเคลื่อนที่ของแขนกลนำ โดยแขนกลนำจะสร้างแรงสะท้อนกลับกระทำต่อมือผู้ดำเนินการเมื่อเกิดการเคลื่อนที่ข้ามเขตของกำแพง ในที่นี้เราจะกำหนดให้ขอบเขตของกำแพงเสมือนมีการเคลื่อนที่ตำแหน่งไปในทิศทาง  $-X$  เช่นเดียวกับทิศการเคลื่อนที่ของแขนกลนำ

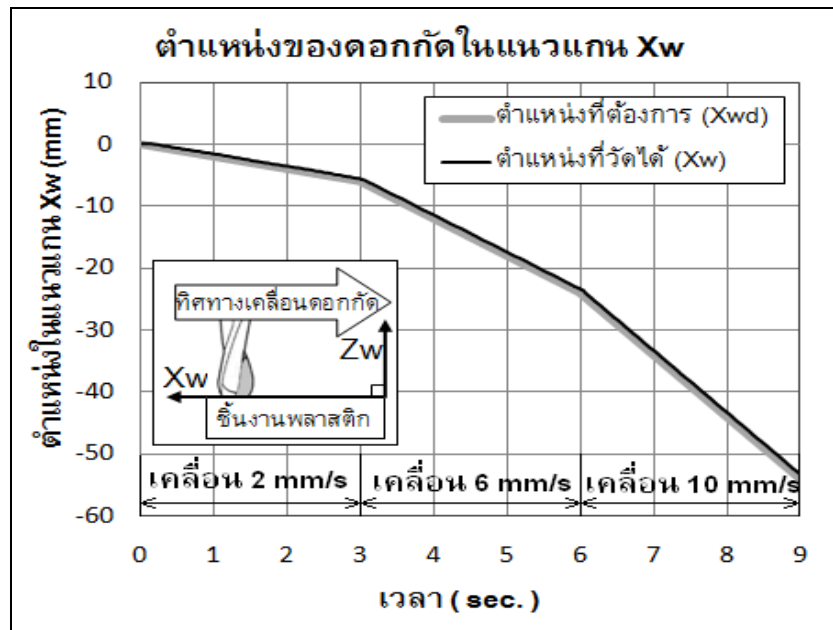


รูปที่ 4.3 การติดตั้งแขนกลนำบนรางเลื่อนสำหรับการกัตชิ้นงาน

#### 4.1 ผลการทดลองเบื้องต้น

การทดลองเบื้องต้นนี้ ก็เพื่อต้องการศึกษาลักษณะของแรงกัตที่เกิดขึ้นเมื่อมีการเปลี่ยนแปลงความเร็วการเคลื่อนที่ของดอกกัตและความลึก โดยทำการทดลองกัตเป็นร่องตามแนวเส้นตรงบนชิ้นวัสดุพลาสติกแบบ PE (Polyethylene) ระบบควบคุมจะควบคุมดอกกัตให้เคลื่อนที่กัตขึ้นงานในทิศทาง  $-X_w$  ในขณะที่เดียวกันอุปกรณ์ตรวจรู้แรงจะตรวจวัดแรงกัตที่คาบเวลาของสุ่มวัดข้อมูล (sampling period) โดยจะวัดตลอดช่วงเวลาของการกัต แรงกัตขึ้นงานซึ่งวัดค่าได้จากอุปกรณ์ตรวจรู้แรงดังกล่าวจะประกอบด้วยแรงกัตค่าสูงและแรงกัตค่าต่ำ โดยที่ค่าแรงกัตค่าสูงจะเกิดขึ้นในขณะที่คมมีดกัตเนื้อขึ้นงานส่วนแรงกัตค่าต่ำจะเกิดขึ้นในขณะที่คมมีดไม่ได้กัตเนื้อขึ้นงาน เนื่องจากดอกกัตนี้เป็นแบบ 2 ฟัน ดังนั้นในหนึ่งรอบของการหมุนจะมีแรงกัตค่าสูงอยู่ 2 ครั้งเช่นเดียวกับค่าแรงกัตค่าต่ำ งานวิจัยนี้จะใช้เฉพาะแรงกัตค่าสูง โดยจะนำแรงกัตค่าสูงที่วัดค่าได้มาพิจารณาในขั้นตอนการควบคุมแรงกัตต่อไป

การทดลองเปลี่ยนแปลงความเร็วของการเคลื่อนที่ของดอกกัต (feed rate) โดยการเปลี่ยนแปลงค่าดังกล่าวสามารถเปลี่ยนแปลงผ่านระบบควบคุมการเคลื่อนที่ของปลายแขนกลตาม รูปที่ 4.4 แสดงตำแหน่งในแนวแกน  $X_w$  เทียบกับเวลา เมื่อแบ่งการเปลี่ยนแปลงความเร็วออกเป็น 3 ช่วง คือช่วงความเร็ว 2, 6 และ 10 มิลลิเมตรต่อวินาที ตามลำดับ โดยแต่ละช่วงความเร็วจะกินเวลา 3 วินาที อย่างไรก็ตาม ช่วงเวลาดังกล่าวสามารถเปลี่ยนแปลงได้อย่างอิสระ โดยการส่งผ่านระบบควบคุมการเคลื่อนที่ ในการทดลองกัตครั้งนี้เรากำหนดความลึกของการกัตเท่ากับ 2 มิลลิเมตร จากรูปจะเห็นว่าค่าตำแหน่งจริงที่วัดได้จะมีค่าใกล้เคียงกับค่าตำแหน่งที่ต้องการหรือตำแหน่งอ้างอิงเป็นอย่างมาก ผลดังกล่าวเพื่อยืนยันความสามารถในการควบคุมของระบบควบคุมการเคลื่อนที่ของแขนกลที่เราพัฒนาขึ้น ถึงแม้จะมีแรงกัตซึ่งในที่นี่ถือเป็นสัญญาณรบกวนที่มากกระทบกับระบบ แต่ระบบควบคุมก็ยังคงรักษาความแม่นยำในการควบคุมการเคลื่อนที่ของแขนกลได้ ในการทดลองถัดไปเราจะคงค่าความเร็วของการกัตแต่จะเปลี่ยนแปลงความลึกของการกัต เราจะได้ความแม่นยำในระดับเดียวกัน ซึ่งรายละเอียดจะกล่าวต่อไป

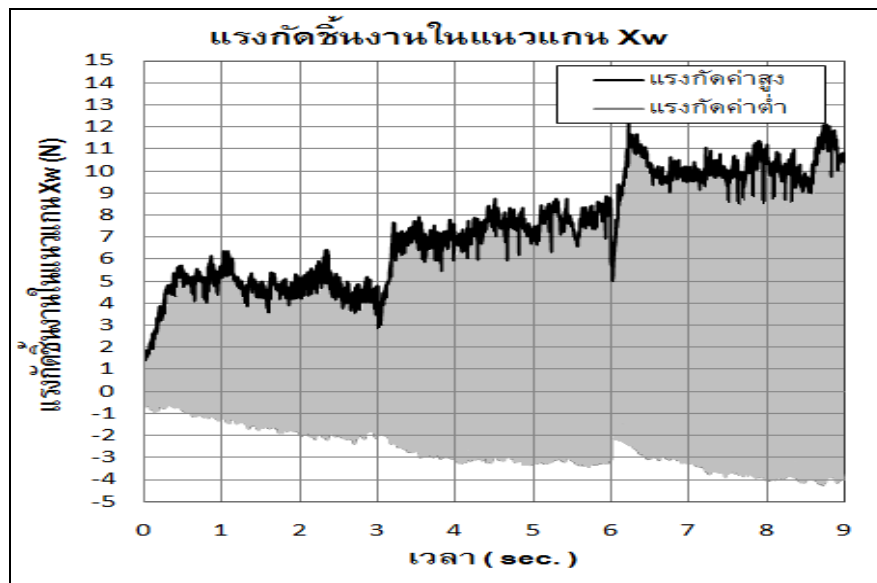


รูปที่ 4.4 ตำแหน่งของดอกกัดในแนวแกน  $X_w$  เมื่อดอกกัดเคลื่อนที่ด้วยความเร็ว 2, 6 และ 10 mm/s ตามลำดับ (ความลึกในการกัด 2 มิลลิเมตร)

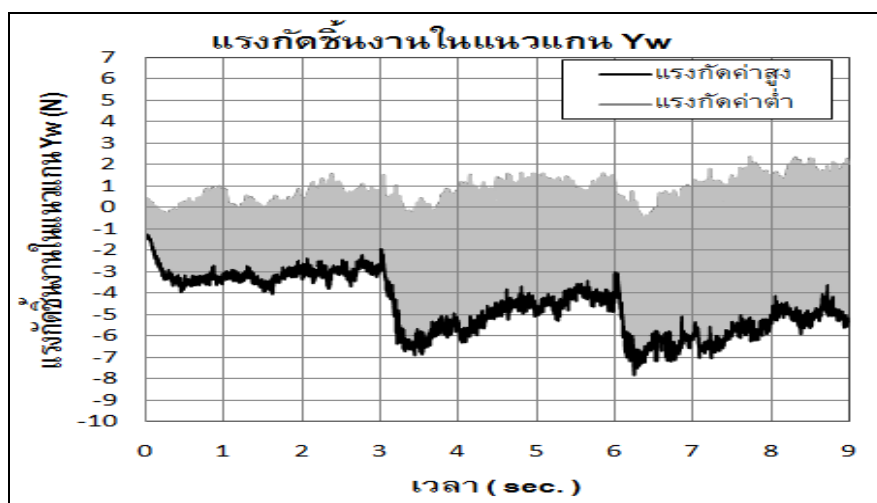
รูปที่ 4.5-4.7 แสดงค่าแรงกัดชิ้นงานที่วัดได้ในแนวแกน  $X_w$ ,  $Y_w$  และ  $Z_w$  ตามลำดับ เมื่อกำหนดให้ดอกกัดเคลื่อนที่ในทิศทาง  $-X_w$  ด้วยความเร็ว 2, 6 และ 10 มิลลิเมตรต่อวินาที โดยการกำหนดค่าความเร็วการเคลื่อนที่ของดอกกัด (feed-rate) ผ่านระบบควบคุมการเคลื่อนที่

รูปที่ 4.5 แสดงแรงกัดชิ้นงานที่วัดค่าได้ด้วยอุปกรณ์ตรวจรูปร่างในแนวแกน  $X_w$  แรงกัดชิ้นงานค่าสูง (เส้นที่บสีดำ) แสดงค่าเป็นบวกตลอดระยะเวลาของการทดลอง โดยขนาดของแรงกัดชิ้นงานจะมีค่าเพิ่มขึ้นตามการเพิ่มความเร็วการเคลื่อนที่ของดอกกัด (feed-rate) การเปลี่ยนแปลงความเร็วการเคลื่อนที่ส่งผลต่อการเปลี่ยนแปลงค่าของแรงกัดชิ้นงานในขณะเริ่มต้นการเคลื่อนที่ เช่น การเปลี่ยนแปลงในระยะเวลา 3 วินาที (เริ่มเปลี่ยนแปลงความเร็วจาก 2 มิลลิเมตรต่อวินาที เป็น 6 มิลลิเมตรต่อวินาที) แรงกัดชิ้นงานเริ่มเปลี่ยนค่าจาก 3 นิวตัน จนกระทั่งมีค่าเป็น 7 นิวตัน ขณะที่เวลาผ่านไปประมาณ 0.2 วินาที และ การเปลี่ยนแปลงในระยะเวลา 6 วินาที (เริ่มเปลี่ยนแปลงความเร็วจาก 6 มิลลิเมตรต่อวินาที เป็น 10 มิลลิเมตรต่อวินาที) แรงกัดชิ้นงานเริ่มเปลี่ยนค่าจาก 5 นิวตัน จนกระทั่งมีค่าเป็น 12 นิวตัน ขณะที่เวลาผ่านไปประมาณ 0.2 วินาที เช่นกัน การเปลี่ยนแปลงค่าแรงกัดจะลดลงเมื่อเวลาผ่านไประยะหนึ่ง แรงกัดชิ้นงานค่าต่ำ (สีเทา) มีขนาดเพิ่มขึ้นเล็กน้อยเมื่อมีการเพิ่มความเร็วการเคลื่อนที่ของดอกกัด แรงกัดชิ้นงานค่าต่ำ (สีเทา) มีขนาดไม่เกิน 4 นิวตัน ในทิศทาง  $-X_w$  ซึ่งมีค่าต่ำกว่าแรงกัดค่าสูง (เส้นที่บสีดำ) เป็นอย่างมาก รูปที่ 4.6 แสดงแรงกัดชิ้นงานที่วัดค่าได้ในแนวแกน  $Y_w$  ในขณะที่ดอกกัดเคลื่อนที่ในทิศทาง  $-X_w$  ด้วยความเร็ว 2, 6 และ 10 มิลลิเมตรต่อวินาที ตามลำดับ การเคลื่อนที่ของดอกกัดส่งผลให้แรงกัดชิ้นงานค่าสูง (เส้นที่บสีดำ) แสดงค่าเป็นลบ แรงกัดชิ้นงานค่าสูง (เส้นที่บสีดำ) จะมีขนาดเพิ่มขึ้นตามการเพิ่มความเร็วการเคลื่อนที่ของ

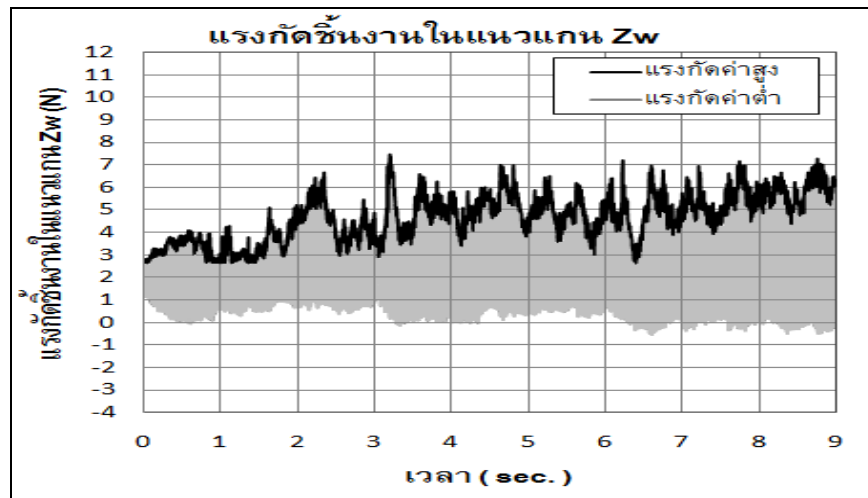
ดอกกัต (feed-rate) ขนาดของแรงกัตจะมีค่าเพิ่มขึ้นมากในขณะที่เริ่มการเปลี่ยนแปลงความเร็ว การเคลื่อนที่ในช่วงเวลา 3 วินาที และ 6 วินาที การเปลี่ยนแปลงขนาดของแรงกัตจะมีค่าลดลงเมื่อเวลาผ่านไป แรงกัตชิ้นงานค่าต่ำ (สีเทา) มีค่าเพียงเล็กน้อย (แสดงค่าประมาณ 2 นิวตัน) ในขณะที่ดอกกัตเคลื่อนที่ด้วยความเร็ว 10 มิลลิเมตรต่อวินาที รูปที่ 4.7 แสดงค่าแรงกัตชิ้นงานที่วัดได้ในแนวแกน Zw แรงกัตชิ้นงานค่าสูง(เส้นทึบสีดำ)แสดงค่าเป็นบวกตลอดเวลา แสดงว่าดอกกัตมีแรงกดลงบนพื้นผิวชิ้นงาน แรงกัตดังกล่าวมีค่าระหว่าง 3 - 7 นิวตัน แรงกัตค่าต่ำ (สีเทา) จะมีค่าประมาณ 0 นิวตัน



รูปที่ 4.5 แรงกัตชิ้นงานในแนวแกน Xw เมื่อดอกกัตเคลื่อนที่ด้วยความเร็ว 2, 6 และ 10 มิลลิเมตรต่อวินาที ตามลำดับ (ความลึกในการกัต 2 มิลลิเมตร)

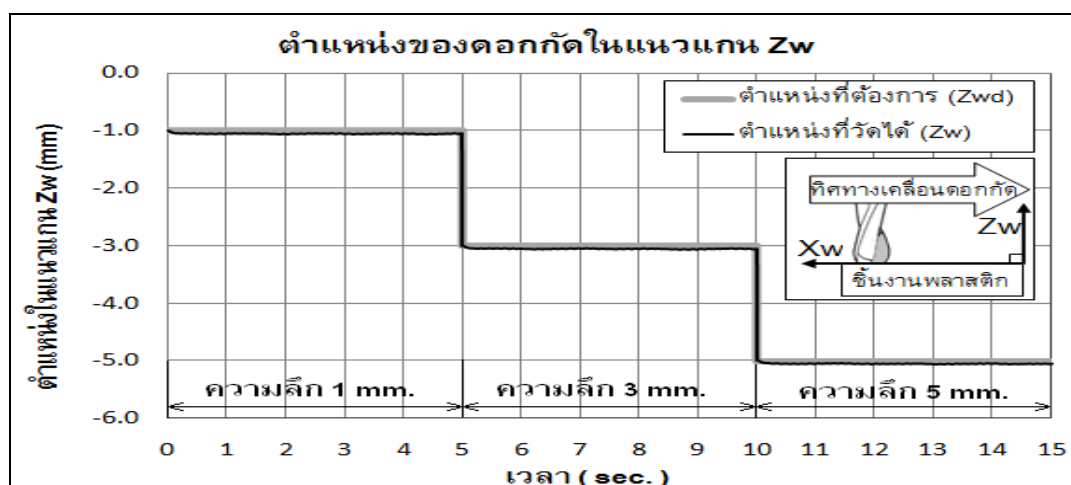


รูปที่ 4.6 แรงกัตชิ้นงานในแนวแกน Yw เมื่อดอกกัตเคลื่อนที่ด้วยความเร็ว 2, 6 และ 10 มิลลิเมตรต่อวินาที ตามลำดับ (ความลึกในการกัต 2 มิลลิเมตร)



รูปที่ 4.7 แรงกัตชิ้นงานในแนวแกน Zw เมื่อดอกกัตเคลื่อนที่ด้วยความเร็ว 2, 6 และ 10 มิลลิเมตรต่อวินาที ตามลำดับ (ความลึกในการกัต 2 มิลลิเมตร)

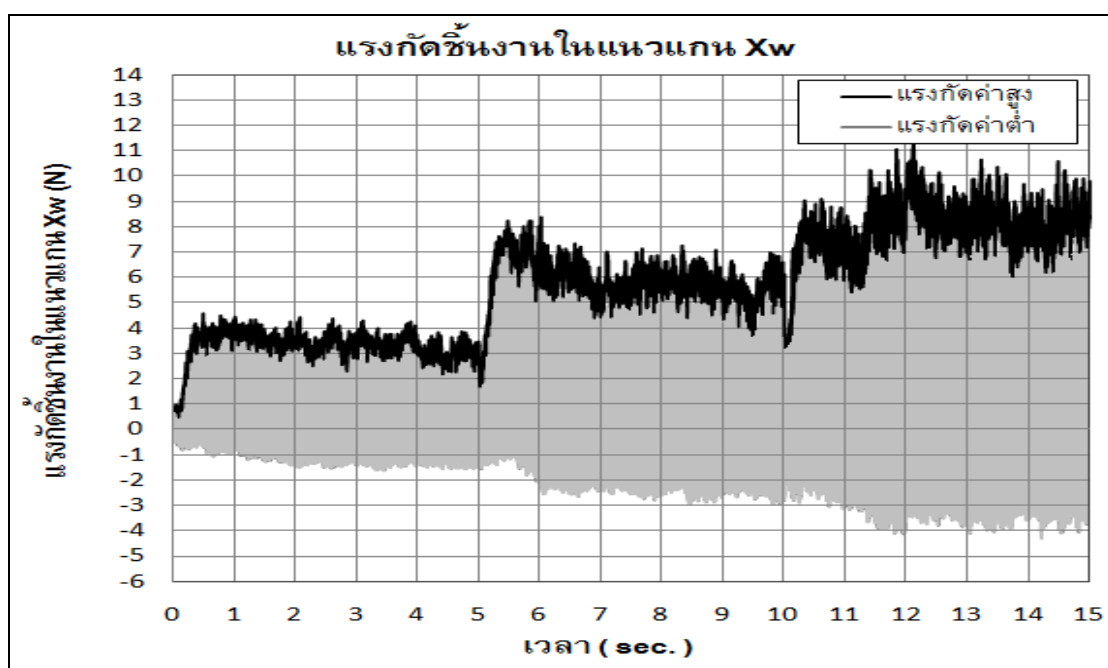
การทดลองเปลี่ยนแปลงความลึกของการกัต (depth of cut) โดยการเปลี่ยนแปลงค่าดังกล่าวสามารถเปลี่ยนแปลงผ่านระบบควบคุมการเคลื่อนที่ของปลายแขนกลตามรูปที่ 4.8 แสดงตำแหน่งในแนวแกน Zw เทียบกับเวลา เมื่อแบ่งการเปลี่ยนแปลงความลึกออกเป็น 3 ช่วง คือช่วงความลึก 1, 3 และ 5 มิลลิเมตร ตามลำดับ โดยแต่ละช่วงความลึกจะกินเวลา 5 วินาที อย่างไรก็ตาม ช่วงเวลาดังกล่าวสามารถเปลี่ยนแปลงได้อย่างอิสระโดยการสั่งผ่านระบบควบคุมการเคลื่อนที่ ในการทดลองกัตครั้งนี้ เรากำหนดความเร็วการเคลื่อนที่เท่ากับ 2 มิลลิเมตรต่อวินาที จากรูปจะเห็นว่าค่าตำแหน่งจริงที่วัดได้จะมีค่าใกล้เคียงกับค่าตำแหน่งที่ต้องการหรือตำแหน่งอ้างอิงเป็นอย่างมาก แสดงว่าระบบควบคุมยังคงรักษาความแม่นยำในการควบคุมการเคลื่อนที่ของแขนกลได้ในระดับเดียวกับการทดลองเปลี่ยนแปลงความเร็วในการเคลื่อนที่ของดอกกัต (ดังที่ได้กล่าวมาข้างต้น)



รูปที่ 4.8 ตำแหน่งของดอกกัตในแนวแกน Zw เมื่อความลึกการกัตจากผิวชิ้นงานคือ 1, 3 และ 5 มิลลิเมตร ตามลำดับ (ดอกกัตเคลื่อนที่ด้วยความเร็ว 2 มิลลิเมตรต่อวินาที)

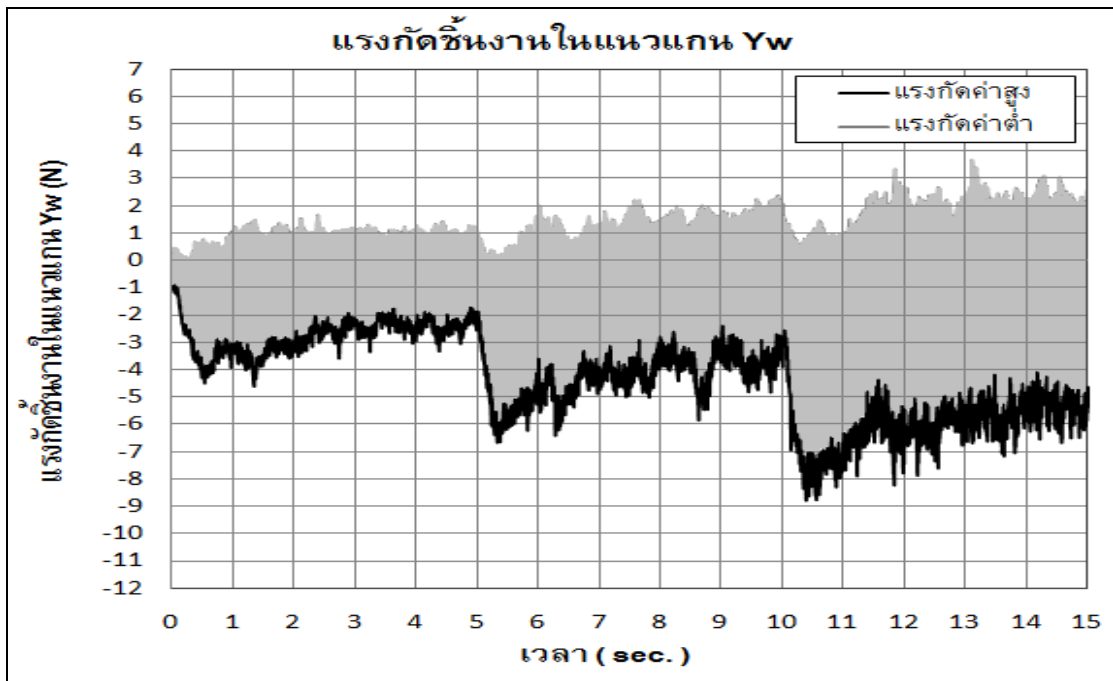
รูปที่ 4.9-4.11 แสดงค่าแรงกัตชันงานที่วัดได้ในแนวแกน Xw, Yw และ Zw ตามลำดับ เมื่อกำหนดให้ดอกกัตทำการกัตชันงานที่ความลึก (depth of cut) คือ 1, 3 และ 5 มิลลิเมตร ตามลำดับ ดอกกัตเคลื่อนที่ในทิศทาง  $-X_w$  ด้วยความเร็ว 2 มิลลิเมตรต่อวินาที โดยการกำหนด ตำแหน่งการเคลื่อนที่ผ่านระบบควบคุม

รูปที่ 4.9 แสดงแรงกัตชันงานที่วัดค่าได้ด้วยอุปกรณ์ตรวจรู้แรงในแนวแกน Xw แรงกัตชันงานค่าสูง (เส้นทึบสีดำ) แสดงค่าเป็นบวก การทดลองพบว่าขนาดของแรงกัตชันงานค่าสูง (เส้นทึบสีดำ) จะมีค่าเพิ่มขึ้นตามการเพิ่มความลึกในการกัตชันงาน (depth of cut) และแรงกัตชันงานค่าสูง (เส้นทึบสีดำ) แสดงการสั่นในขณะกัตชันงานที่ความลึก 5 มิลลิเมตร แรงกัตชันงานค่าต่ำ (สีเทา) มีการเปลี่ยนแปลงตามการเพิ่มความลึกในการกัตเพียงเล็กน้อย โดยมีขนาดแรงกัตไม่เกิน 4 นิวตัน รูปที่ 4.10 แสดงแรงกัตชันงานที่วัดค่าได้ในแนวแกน Yw แรงกัตค่าสูง (เส้นทึบสีดำ) แสดงค่าเป็นลบโดยมีขนาดเพิ่มขึ้นตามการเพิ่มความลึกในการกัต แรงกัตชันงานค่าสูง (เส้นทึบสีดำ) เปลี่ยนแปลงอย่างรวดเร็วในขณะที่ยอดกัตเริ่มเคลื่อนที่ (ช่วงเวลา 5 วินาที และ 10 วินาที) หลังจากนั้นการเปลี่ยนแปลงค่าแรงกัตจะลดลง แรงกัตชันงานค่าสูง (เส้นทึบสีดำ) แสดงการสั่นในขณะทำการกัตชันงานที่ความลึก 5 มิลลิเมตร (ช่วงเวลา 10-15 วินาที) แรงกัตค่าต่ำ (สีเทา) ในแต่ละช่วงเวลาแสดงการเปลี่ยนแปลงขนาดของแรงกัตไม่มากนักโดยมีค่าระหว่าง 1-3 นิวตัน รูปที่ 4.11 แสดงแรงกัตชันงานที่วัดค่าได้ในแนวแกน Zw แรงกัตค่าสูง (เส้นทึบสีดำ) มีค่าระหว่าง 3-7 นิวตัน ค่าแรงกัตสูงสุดเกิดขึ้นเมื่อดอกกัตทำการกัตชันงานที่ความลึก 5 มิลลิเมตร

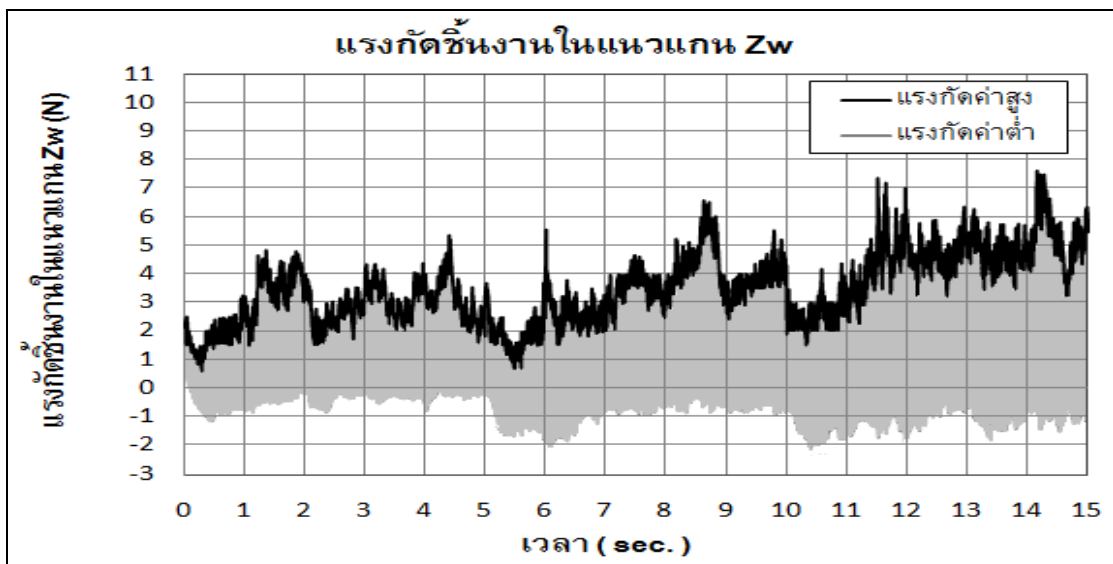


รูปที่ 4.9 แรงกัตชันงานในแนวแกน Xw เมื่อความลึกการกัตจากผิวชิ้นงานคือ 1, 3 และ 5 มิลลิเมตร ตามลำดับ (ดอกกัตเคลื่อนที่ด้วยความเร็ว 2 มิลลิเมตรต่อวินาที)



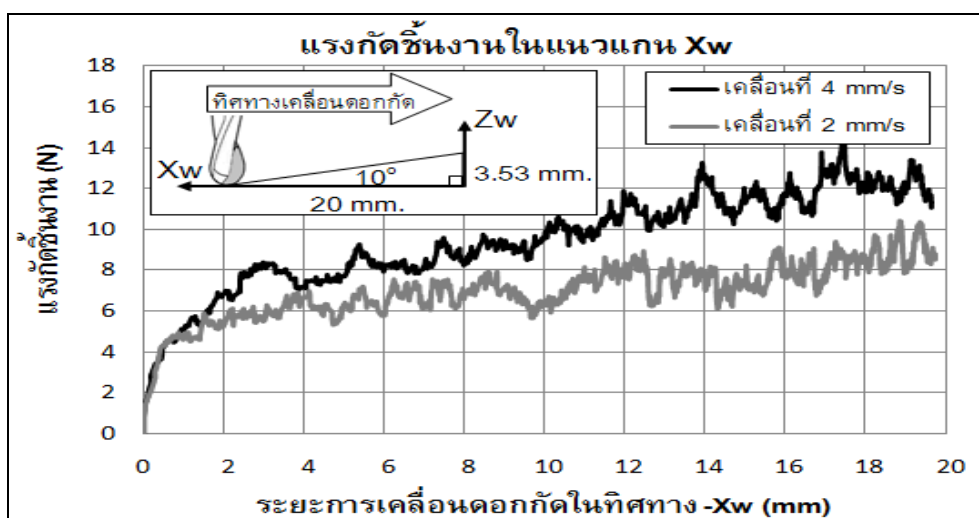


รูปที่ 4.10 แรงกััดชิ้นงานในแนวแกน Yw เมื่อความลึกการกััดจากผิวชิ้นงานคือ 1, 3 และ 5 มิลลิเมตร ตามลำดับ (ดอกกััดเคลื่อนที่ด้วยความเร็ว 2 มิลลิเมตรต่อวินาที)



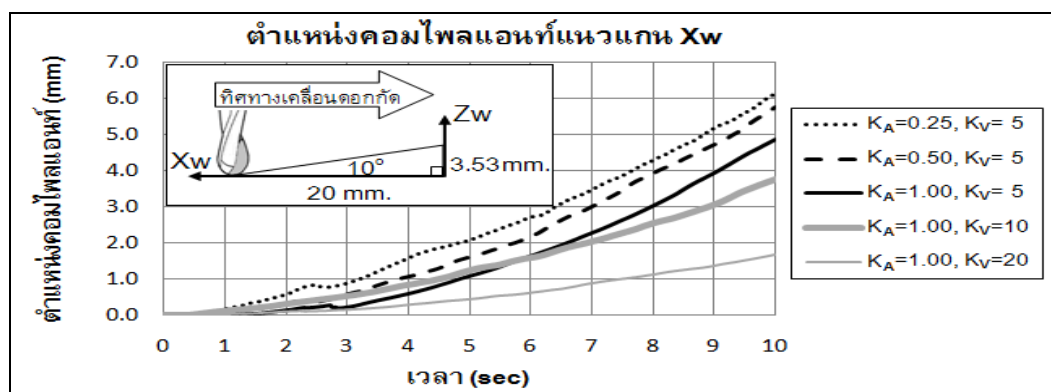
รูปที่ 4.11 แรงกััดชิ้นงานในแนวแกน Zw เมื่อความลึกการกััดจากผิวชิ้นงานคือ 1, 3 และ 5 มิลลิเมตร ตามลำดับ (ดอกกััดเคลื่อนที่ด้วยความเร็ว 2 มิลลิเมตรต่อวินาที)

การทดลองเพิ่มความเร็วการเคลื่อนที่ของดอกกัด (feed-rate) และการทดลองเพิ่มความลึกในการกัด (depth of cut) ส่งผลให้แรงกัดชิ้นงานมีค่าเพิ่มขึ้น (ดังกล่าวมาแล้วข้างต้น) ค่าแรงกัดชิ้นงานจะมีการเปลี่ยนไปตามความเร็วการเคลื่อนที่และความลึกในการกัดชิ้นงานแต่ละครั้ง แรงกัดชิ้นงานที่มีค่าสูงเกินไปจะส่งผลต่อดอกกัดชิ้นงานและผิวชิ้นงานจนทำให้เกิดความเสียหายได้ การจัดวางชิ้นงานในลักษณะที่ไม่เหมาะสมอาจเป็นสาเหตุหนึ่งที่เกิดความเสียหายต่อดอกกัดชิ้นงาน ดอกกัดชิ้นงานทำการกัดเซาะชิ้นงานด้วยความลึกเกินกว่าค่าที่กำหนด ส่งผลให้แรงกัดชิ้นงานมีค่าสูงขึ้นเช่นกัน ในที่นี้จะทำการศึกษาลักษณะของแรงกัดชิ้นงานวัสดุ PE (Polyethylene) และทำการควบคุมแรงกัดเมื่อมีการจัดวางพื้นผิวชิ้นงานเป็นมุมเอียงขึ้น 10 องศา กับทิศทางเคลื่อนที่ของดอกกัด เนื่องจากดอกกัดเคลื่อนที่แนวเส้นตรงในทิศทาง  $-X_w$  แต่ผิวหน้าของชิ้นงานมีความลาดเอียงขึ้นทำให้ความลึกในการกัดชิ้นงานมีค่าเพิ่มขึ้น แรงกัดชิ้นงานที่เกิดขึ้นจากการเคลื่อนที่ของดอกกัดตรวจวัดได้ด้วยอุปกรณ์ตรวจรู้แรง รูปที่ 4.12 แสดงแรงกัดชิ้นงานวัสดุ PE (Polyethylene) เทียบกับระยะการเคลื่อนที่ในทิศทาง  $-X_w$  ชิ้นงานซึ่งติดตั้งไว้กับปากกาคัดชิ้นงานทำมุมเอียง 10 องศา กับทิศทางเคลื่อนที่ของดอกกัด กำหนดให้ดอกกัดเคลื่อนที่ด้วยความเร็ว (feed-rate) 2 มิลลิเมตรต่อวินาที และ 4 มิลลิเมตรต่อวินาที โดยการกำหนดค่าผ่านระบบควบคุมการเคลื่อนที่ ดอกกัดเริ่มกัดชิ้นงานที่ความลึก 1 มิลลิเมตร เมื่อดอกกัดเคลื่อนที่กัดชิ้นงานเป็นระยะ 20 มิลลิเมตร ในทิศทาง  $-X_w$  ความลึกในการกัดชิ้นงานจะเพิ่มขึ้นอีก 3.53 มิลลิเมตร ส่งผลให้ความลึกสูงสุดในการกัดชิ้นงานครั้งนี้คือ 4.53 มิลลิเมตร การทดลองวัดค่าแรงกัดชิ้นงานพบว่าแรงกัดชิ้นงานมีค่าเพิ่มขึ้นตามระยะทางที่ดอกกัดเคลื่อนไป (ความลึกในการกัดมีค่าเพิ่มขึ้นเนื่องจากการวางชิ้นงานเป็นมุมเอียง) แรงกัดชิ้นงานเปลี่ยนแปลงรวดเร็วขึ้นเมื่อเพิ่มความเร็วการเคลื่อนที่ (feed-rate) จาก 2 มิลลิเมตรต่อวินาที เป็น 4 มิลลิเมตรต่อวินาที



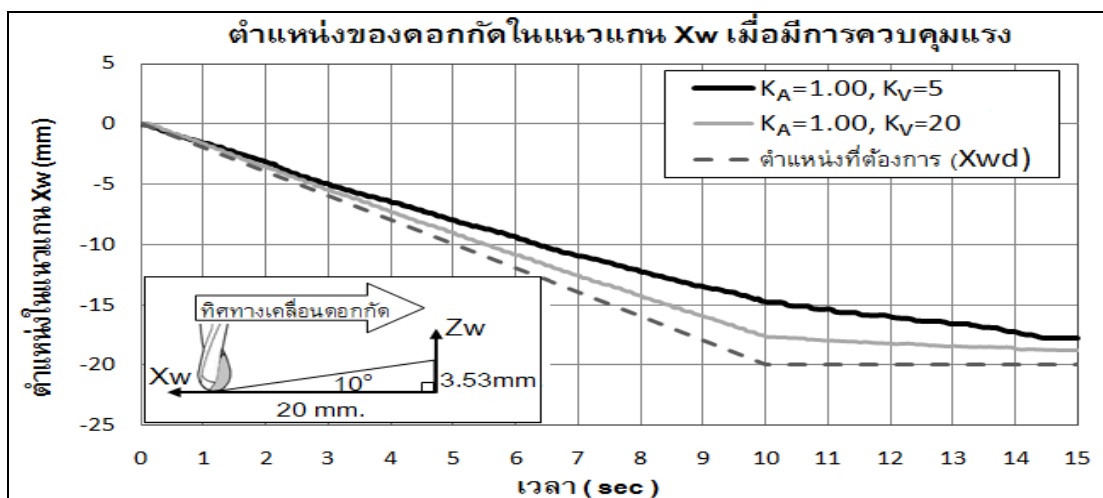
รูปที่ 4.12 แรงกัดชิ้นงาน เมื่อวางชิ้นงานเอียง 10 องศา และดอกกัดเคลื่อนที่ในทิศทาง  $-X_w$  ด้วยความเร็ว 2 และ 4 มิลลิเมตรต่อวินาที

เมื่อทราบลักษณะของแรงกัตที่เกิดขึ้นในขณะทำการกัตชิ้นงานซึ่งวางตัวเป็นมุมเอียง 10 องศาแล้ว ขั้นตอนต่อไปผู้วิจัยจะทำการศึกษาการควบคุมแรงกัตชิ้นงานโดยกำหนดให้มีการจัดวางชิ้นงานเป็นมุมเอียง 10 องศาและทำการกัตชิ้นงานโดยการกำหนดตำแหน่งของดอกกัตชิ้นงานผ่านระบบควบคุม ในเบื้องต้นผู้วิจัยต้องการประมาณค่าพารามิเตอร์สำหรับการควบคุมแรงกัตชิ้นงานวัสดุ PE(Polyethylene) ให้มีค่าแรงกัตใกล้เคียงกับค่าที่กำหนดไว้และมีการเปลี่ยนแปลงตำแหน่งของดอกกัตไม่มากจนเกินไป ค่าพารามิเตอร์สำหรับการควบคุมแรงกัตประกอบด้วยค่า  $K_A$  และ  $K_V$  การปรับค่า  $K_A$  และ  $K_V$  ส่งผลต่อการเปลี่ยนแปลงตำแหน่งคอมไพล์แอนท์ ( $p_c$ ) ดังแสดงในสมการที่ 3.30 ( $K_A \ddot{p}_c + K_V \dot{p}_c = (f_d - f)$ ) เมื่อตำแหน่งคอมไพล์แอนท์เปลี่ยนแปลงไปส่งผลให้ตำแหน่งอ้างอิงสำหรับการเคลื่อนที่ของดอกกัต เปลี่ยนแปลงไปจากตำแหน่งดอกกัตที่ต้องการเพื่อทำการควบคุมแรงให้ใกล้เคียงกับค่าที่กำหนดไว้ ดังนั้นการเปลี่ยนแปลงตำแหน่งคอมไพล์แอนท์ควรเกิดขึ้นอย่างรวดเร็วและมีค่าไม่มากจนเกินไปเพื่อให้มีระยะเวลาในการเปลี่ยนแปลงน้อยที่สุด รูปที่ 4.13 แสดงการเปลี่ยนแปลงตำแหน่งคอมไพล์แอนท์ในขณะทำการควบคุมแรงกัตชิ้นงานโดยปรับค่า  $K_A$  และ  $K_V$  (แสดงในด้านขวาของรูปที่ 4.13) การทดลองนี้กำหนดให้ดอกกัตเคลื่อนที่กัตเซาะชิ้นงานในทิศทาง  $-X_w$  ด้วยความเร็วการเคลื่อนที่ 2 มิลลิเมตรต่อวินาที โดยการกำหนดตำแหน่งที่ต้องการผ่านระบบควบคุม ผลการทดลองในระยะเวลา 10 วินาที แสดงว่าการปรับเพิ่มค่า  $K_A$  จากกรณีที่  $K_A=0.25, K_V=5$  (จุดสีดำ) มาเป็น กรณีที่  $K_A=1.00, K_V=5$  (เส้นทึบสีดำ) ทำให้ตำแหน่งคอมไพล์แอนท์มีค่าลดลงขึ้น 1 มิลลิเมตร (ตำแหน่งคอมไพล์แอนท์ลดลงจาก 6 มิลลิเมตร เป็น 5 มิลลิเมตร) การปรับเพิ่มค่า  $K_V$  จากกรณีที่  $K_A=1.00, K_V=5$  (เส้นทึบสีดำ) มาเป็น กรณีที่  $K_A=1.00, K_V=20$  (เส้นทึบสีเทาเส้นเล็ก) ทำให้ตำแหน่งคอมไพล์แอนท์มีค่าลดลง 3.2 มิลลิเมตร (ตำแหน่งคอมไพล์แอนท์ลดลงจาก 5 มิลลิเมตร เป็น 1.8 มิลลิเมตร) ในที่นี้การปรับค่า  $K_V$  ส่งผลต่อตำแหน่งคอมไพล์แอนท์มาก ดังนั้น ผู้วิจัยจึงเลือกทำการศึกษาการควบคุมแรงกัตในกรณีที่  $K_A=1.00, K_V=5$  (เส้นทึบสีดำ) และกรณีที่  $K_A=1.00, K_V=20$  (เส้นทึบสีเทาเส้นเล็ก) ดังจะแสดงในขั้นตอนถัดไป

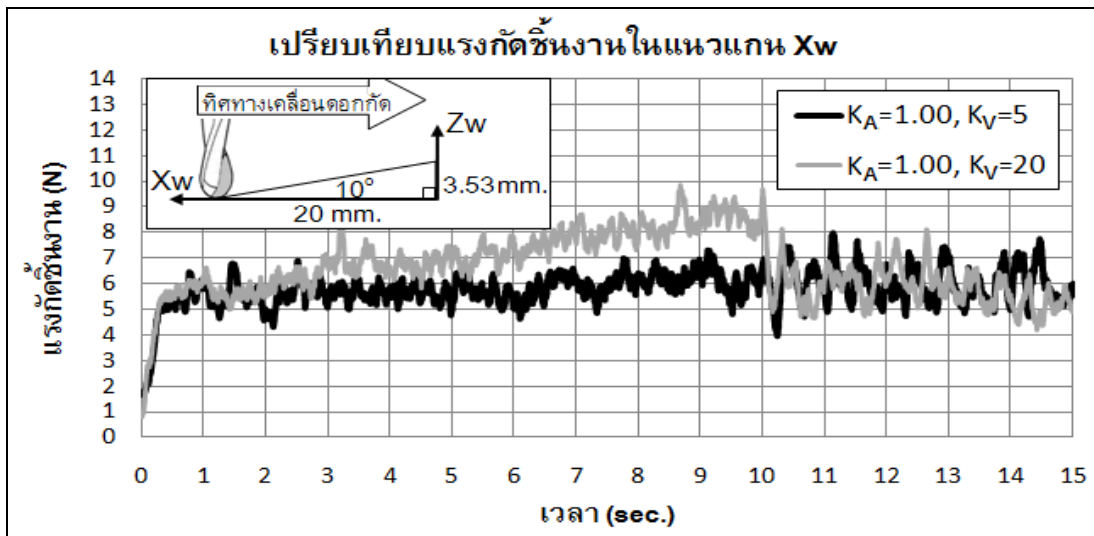


รูปที่ 4.13 ตำแหน่งคอมไพล์แอนท์แนวแกน  $X_w$  เมื่อปรับค่า  $K_A$  และ  $K_V$

รูปที่ 4.14 แสดงตำแหน่งการเคลื่อนที่ของดอกกัทที่วัดได้ในแนวแกน  $X_w$  เทียบกับเวลา เมื่อมีการควบคุมแรงกัทในแนวแกน  $X_w$  ผลการทดลองประกอบด้วยตำแหน่งของดอกกัทที่เกิดจากการกำหนดค่า  $K_A=1.00, K_V=20$  (เส้นทึบสีเทา) และตำแหน่งของดอกกัทที่เกิดจากการกำหนดค่า  $K_A=1.00, K_V=5$  (เส้นทึบสีดำ) ในที่นี้ได้แสดงตำแหน่งของดอกกัทที่ต้องการ (เส้นประสีเทา) เมื่อต้องการให้ดอกกัทเคลื่อนที่ด้วยความเร็ว 2 มิลลิเมตรต่อวินาทีในทิศทาง  $-X_w$  โดยการกำหนดค่าผ่านระบบควบคุม การเปลี่ยนแปลงตำแหน่งคอมไพลแอนท์เพื่อทำการควบคุมแรงกัทให้ได้ใกล้เคียงกับค่าที่กำหนดไว้ (ดังสมการที่ 3.30) ส่งผลให้ตำแหน่งของดอกกัทมีการเปลี่ยนแปลงไปจากตำแหน่งที่ต้องการ ผลการเปลี่ยนแปลงตำแหน่งของดอกกัทเมื่อกำหนดค่า  $K_A=1.00, K_V=20$  (เส้นทึบสีเทา) ทำให้ดอกกัทมีตำแหน่งต่างจากตำแหน่งที่ต้องการ 2 มิลลิเมตรในระยะเวลา 10 วินาที และ 1 มิลลิเมตรในระยะเวลา 15 วินาที ผลการทดลองเมื่อกำหนดค่า  $K_A=1.00, K_V=5$  (เส้นทึบสีดำ) ทำให้ดอกกัทมีตำแหน่งต่างจากตำแหน่งที่ต้องการเพิ่มขึ้นเป็น 5 มิลลิเมตรในระยะเวลา 10 วินาที และ 2 มิลลิเมตรในระยะเวลา 15 วินาที ผลการทดลองแสดงว่าตำแหน่งที่วัดได้ของดอกกัทจะแตกต่างไปจากตำแหน่งที่ต้องการเมื่อมีการควบคุมแรงกัท รูปที่ 4.15 แสดงค่าแรงกัทที่วัดได้จากอุปกรณ์ตรวจรู้แรงในแนวแกน  $X_w$  เมื่อมีการควบคุมแรงกัทโดยกำหนดค่าแรงกัทที่ต้องการให้มีขนาด 5 นิวตันในแนวแกน  $X_w$  ดอกกัทจะเคลื่อนที่ที่กัทขึ้นงานตามตำแหน่งการเคลื่อนที่ในแนวแกน  $X_w$  ดังกล่าวมาข้างต้น ผลการควบคุมแรงกัทขึ้นงานโดยกำหนดค่า  $K_A=1.00, K_V=20$  (เส้นทึบสีเทา) ไม่สามารถทำให้แรงกัทมีค่าต่ำลงในช่วงเวลา 0-10 วินาที แต่กรณีการกำหนดค่า  $K_A=1.00, K_V=5$  (เส้นทึบสีดำ) สามารถทำให้แรงกัทที่เกิดขึ้นมีค่าเข้าใกล้แรงกัทที่กำหนดไว้ ดังนั้นเมื่อต้องการลดค่าแรงกัทขึ้นงานให้ใกล้เคียงกับค่าที่กำหนดไว้มากขึ้นควรเลือกใช้การควบคุมแรงโดยกำหนดค่า  $K_A=1.00$  และ  $K_V=5$



รูปที่ 4.14 ตำแหน่งการเคลื่อนที่ของดอกกัทในแนวแกน  $X_w$  เมื่อวางชิ้นงานเป็นมุมเอียง (กำหนดให้ดอกกัทเคลื่อนที่ในทิศทาง  $-X_w$  ความเร็ว 2 มิลลิเมตรต่อวินาที)

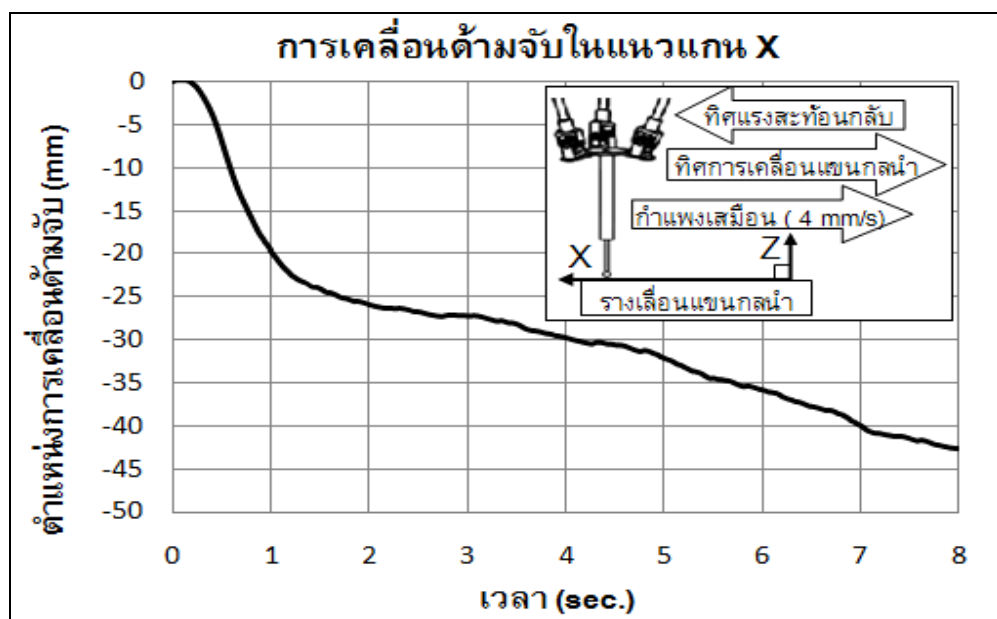


รูปที่ 4.15 แรงกัตซ์ในแนวแกน Xw เมื่อวางชิ้นงานเป็นมุมเอียง  
(กำหนดให้ดอกกัตซ์เคลื่อนที่ในทิศทาง  $-X_w$  ความเร็ว 2 มิลลิเมตรต่อวินาที)

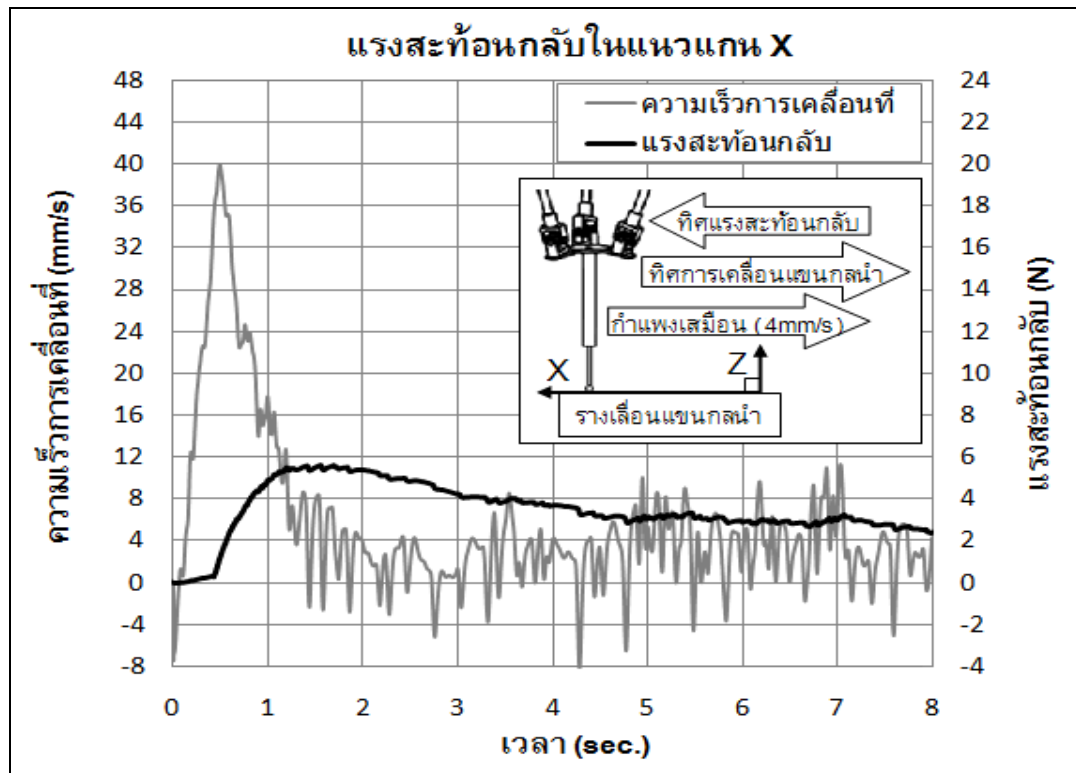
ผลการทดลองที่ได้นำเสนอมาข้างต้นเป็นการกำหนดตำแหน่งการเคลื่อนที่ของดอกกัตซ์ โดยการส่งค่าผ่านระบบควบคุมการเคลื่อนที่ วิธีการดังกล่าวได้กำหนดความเร็วการเคลื่อนที่ของดอกกัตซ์ (feed-rate) ตั้งแต่เริ่มต้นการเคลื่อนที่ของดอกกัตซ์จึงสามารถกำหนดค่าความเร็วการเคลื่อนที่ของดอกกัตซ์ (feed-rate) ให้อยู่ในระดับที่พอเหมาะได้ แต่ในกรณีที่ดอกกัตซ์มีการเคลื่อนที่ด้วยระบบการทำงานแบบมาสเตอร์-สเลฟ ความเร็วการเคลื่อนที่ของดอกกัตซ์จะขึ้นอยู่กับความเร็วในการเลื่อนมือของผู้ดำเนินการ เมื่อผู้ดำเนินการจะเลื่อนด้ามจับแขนกลนำจะทำให้ตำแหน่งปลายแขนกลนำมีการเปลี่ยนแปลงไป ตำแหน่งปลายแขนกลนำดังกล่าวจะนำมาใช้เป็นตำแหน่งที่ต้องการให้ดอกกัตซ์เคลื่อนที่ เมื่อความเร็วในการเลื่อนด้ามจับแขนกลนำมีค่าสูงจะส่งผลให้ดอกกัตซ์ชิ้นงานเคลื่อนที่ด้วยความเร็วสูงและทำให้แรงกัตซ์ชิ้นงานมีค่าสูงขึ้นไปด้วย แรงกัตซ์ชิ้นงานที่มีค่าสูงเกินไปจะส่งผลเสียต่อดอกกัตซ์และผิวชิ้นงาน ดังนั้นจะเห็นได้ว่าความเร็วในการเลื่อนด้ามจับแขนกลนำของผู้ดำเนินการมีความสำคัญต่อการกัตซ์ชิ้นงานเป็นอย่างมาก การทดลองต่อไปนี้จะทำการศึกษาการใช้แรงสะท้อนกลับของแขนกลนำมากกระทำกับมือของผู้ดำเนินการเพื่อจำกัดความเร็วการเคลื่อนที่ของปลายแขนกลนำไม่ให้มีค่าสูงจนเกินไป

ค่าแรงสะท้อนกลับที่เหมาะสมประมาณค่าได้จากการทดลองเคลื่อนที่ด้ามจับแขนกลนำบนรางเลื่อนเปรียบเทียบกับเคลื่อนที่ของกำแพงเสมือน แขนกลนำจะสร้างแรงสะท้อนกลับกระทำต่อมือของผู้ดำเนินการหากผู้ดำเนินการเลื่อนด้ามจับแขนกลนำเร็วกว่าการเคลื่อนที่ของกำแพงเสมือนจนเกิดการเคลื่อนที่ข้ามเขตของกำแพงเสมือน แรงสะท้อนกลับเกิดขึ้นเป็นสัดส่วนกับผลต่างระหว่างตำแหน่งของกำแพงเสมือนและด้ามจับแขนกลนำ การทดลองนี้กำหนดให้กำแพงเสมือนเคลื่อนที่ไปในทิศทาง  $-X$  ด้วยความเร็ว 4 มิลลิเมตรต่อวินาที

รูปที่ 4.16 แสดงลักษณะการเคลื่อนตัวของตัวจับแขนกลนำในแต่ละช่วงเวลา ตั้งแต่เริ่มต้นจนถึงเวลา 1 วินาที ผู้ดำเนินการเคลื่อนตัวจับแขนกลนำไปในทิศทาง  $-X$  อย่างรวดเร็ว สังเกตได้จากการเปลี่ยนแปลงตำแหน่งของตัวจับจากตำแหน่งเริ่มต้นไป 20 mm หลังจากนั้นการเปลี่ยนแปลงตำแหน่งจะมีค่าน้อยกว่าในช่วงเวลาแรก รูปที่ 4.17 แสดงผลการประมาณความเร็วในการเคลื่อนตัวของผู้ดำเนินการ (สเกลแกนตั้งด้านซ้าย) และค่าแรงสะท้อนกลับที่กระทำต่อมือของผู้ดำเนินการ (สเกลแกนตั้งด้านขวา) เทียบกับเวลา ผลของแรงสะท้อนกลับ (เส้นทึบสีดำ) ทำให้ผู้ดำเนินการลดความเร็วในการเคลื่อนตัวจับแขนกลนำ (เส้นประสีเทา) จนรู้สึกได้ว่าแรงสะท้อนกลับมีขนาดลดลงและสามารถเคลื่อนตัวจับแขนกลนำได้สะดวกขึ้น ผลการทดลองแสดงว่าแรงสะท้อนกลับ (เส้นทึบสีดำ) ควรมีค่าระหว่าง 2 และ 4 นิวตัน ซึ่งทำให้ผู้ดำเนินการยังคงรู้สึกถึงแรงสะท้อนกลับในขณะที่เคลื่อนตัวจับแขนกลนำและสามารถเคลื่อนตัวจับด้วยความเร็วที่ไม่สูงมากนัก (ความเร็วสูงสุดไม่เกิน 12 มิลลิเมตรต่อวินาที) ค่าแรงสะท้อนกลับสำหรับด้านทานการเคลื่อนไหวของผู้ดำเนินการควรมีค่าประมาณ 5.5 นิวตัน เนื่องจากเป็นค่าแรงสะท้อนกลับที่ทำให้ผู้ดำเนินการลดความเร็วการเคลื่อนตัวจับจนมีค่าใกล้เคียงกับความเร็วของกำแพงเสมือน (ความเร็ว 4 มิลลิเมตรต่อวินาที) และเป็นค่าแรงสะท้อนกลับสูงสุดที่เกิดขึ้นขณะเวลาประมาณ 1.2 วินาที



รูปที่ 4.16 ลักษณะการเคลื่อนตัวจับแขนกลนำของผู้ดำเนินการในทิศทาง  $-X$

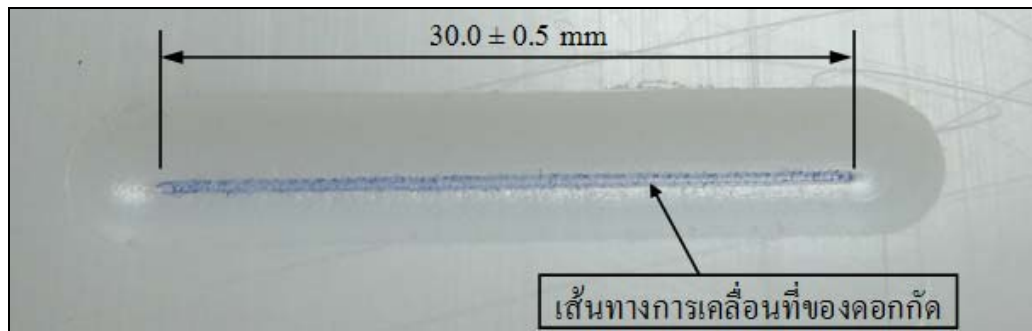


รูปที่ 4.17 ความเร็วการเคลื่อนที่ของด้ามจับและแรงสะท้อนกลับกระทำต่อมือผู้ดำเนินการ

## 4.2 ทดลองกักขังงานเป็นร่องแนวเส้นตรง (Slot)

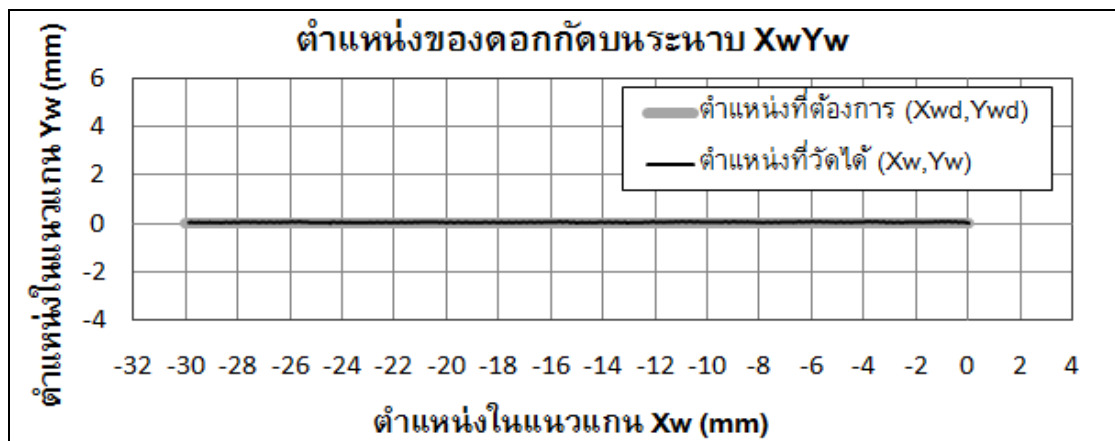
การทดลองกักขังงานเป็นร่องแนวเส้นตรง (Slot) จัดทำขึ้นเพื่อศึกษาการควบคุมแรง ในขณะที่กักขังงาน เมื่อดอกกักเคลื่อนที่กักขังงานด้วยระบบการทำงานแบบมาสเตอร์-สเลฟโดย ตำแหน่งที่ต้องการของดอกกักคือตำแหน่งที่ปลายแขนกลนำเคลื่อนที่ไปในแต่ละเวลา ตำแหน่ง ปลายของแขนกลนำในแต่ละเวลาของการสู่วัดข้อมูลเกิดจากผู้ดำเนินการทำการเคลื่อนด้ามจับ ของแขนกลนำ ผู้ดำเนินการจะเลื่อนด้ามจับแขนกลนำด้วยอัตราเร็วมากหรือน้อยขึ้นอยู่กับ ความรู้สึกการรับรู้แรงสะท้อนกลับที่กระทำกับมือของผู้ดำเนินการดังที่ได้แสดงแสดงไว้ในหัวข้อ ที่ 4.1 (การทดลองเบื้องต้น) เมื่อผู้ดำเนินการรับรู้แรงสะท้อนกลับที่ทำให้เกิดความรู้สึกว่ามีแรง กระทำที่กระทำกับมือจับค่อนข้างสูง ผู้ดำเนินการจะเลื่อนด้ามจับแขนกลนำด้วยความเร็วที่ ลดลง ดังนั้นตำแหน่งปลายแขนกลนำที่เวลาใด ๆ จะเกิดการเปลี่ยนแปลงช้าลง ส่งผลให้ตำแหน่ง ที่ต้องการให้ดอกกักเคลื่อนที่ไปในแต่ละเวลามีการเปลี่ยนแปลงน้อยลงตามไปด้วยการ เปลี่ยนแปลงดังกล่าวทำให้ความเร็วการเคลื่อนที่ของดอกกัก (feed rate) มีค่าลดลงตามไป ด้วย การเคลื่อนที่ของดอกกักไปตามตำแหน่งที่ต้องการจะทำให้เกิดแรงกักขังงานเพิ่มสูงขึ้น แรงกักขังงานที่เกิดขึ้นนี้วัดค่าได้ด้วยอุปกรณ์ตรวจรู้แรง เมื่อแรงกักขังงานที่วัดได้มีค่าสูงกว่า ค่าที่กำหนดไว้ ระบบควบคุมจะต้องทำการควบคุมแรงกักให้ได้ใกล้เคียงกับค่าที่กำหนดไว้เพื่อ ป้องกันไม่ให้เกิดความเสียหายต่อผิวชิ้นงานและคมมีดของดอกกัก (ฟันของดอกกัก) ในเบื้องต้นผู้วิจัยได้ทำการตรวจสอบแรงกักที่เกิดขึ้น โดยไม่มีการควบคุมแรงกัก เพื่อจะนำ ค่าแรงกักที่วัดได้มาเป็นค่าอ้างอิงในการกำหนดค่าแรงกักสำหรับการควบคุมแรงกักต่อไป การทดลองนี้กำหนดให้ดอกกักเคลื่อนที่กักขังงานโดยการกำหนดความเร็วการเคลื่อนที่ของ ดอกกัก (feed rate) โดยกำหนดผ่านระบบควบคุมการเคลื่อนที่ ดอกกักจะเคลื่อนที่กักขังงานที่ เป็นวัสดุ PE (Polyethylene) ด้วยความเร็วการเคลื่อนที่ (feed rate) ที่มีค่าเท่ากับ 4 มิลลิเมตร ต่อวินาที ในทิศทาง  $-X_w$  เป็นระยะทาง 30 มิลลิเมตร ทำให้เกิดร่องแนวเส้นตรงซึ่งมีความลึก 2 มิลลิเมตร รูปที่ 4.18 แสดงชิ้นงานที่ได้จากการกัก ผู้วิจัยได้แสดงบริเวณส่วนลึกของร่องแนว เส้นตรงโดยใช้ปากกาเขียนเส้นที่ปลงบนบริเวณดังกล่าวเพื่อให้รูปภาพมีความชัดเจน มากขึ้น เส้นที่ปลงดังกล่าวมีความยาวประมาณ 30 มิลลิเมตร ซึ่งสอดคล้องกับระยะทาง การเคลื่อนที่ของดอกกักที่ต้องการในการกักขังงาน





รูปที่ 4.18 ชิ้นงานที่ได้จากการกัดเป็นเส้นตรง (ความลึก 2 มิลลิเมตร)

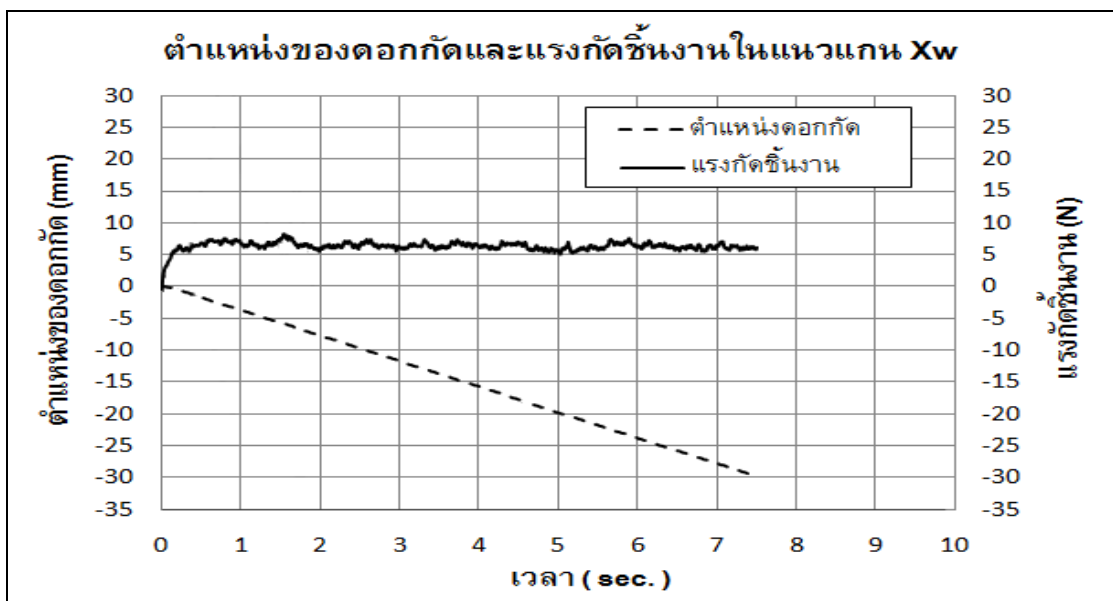
รูปที่ 4.19 แสดงตำแหน่งของดอกกักบนระนาบ  $XwYw$  โดยทำการแสดงตำแหน่งของดอกกักที่วัดได้ (เส้นทึบสีดำ) เทียบกับตำแหน่งของดอกกักที่ต้องการ (เส้นทึบสีเทา) โดยทำการทดลองเริ่มต้นจากตำแหน่งที่ต้องการ คือ  $(Xw, Yw) = (0, 0)$  จนกระทั่งตำแหน่งที่ต้องการมีค่าเป็น  $(Xw, Yw) = (-30, 0)$  การทดลองพบว่าตำแหน่งของดอกกักที่วัดค่าได้ (เส้นทึบสีดำ) มีค่าใกล้เคียงกับตำแหน่งของดอกกักที่ต้องการ (เส้นทึบสีเทา) ตลอดระยะทางการเคลื่อนที่ของดอกกัก ซึ่งเป็นการแสดงให้เห็นในส่วนของความสามารถในการควบคุมการเคลื่อนที่ของหัวกัดของระบบควบคุมในส่วนที่เกี่ยวกับการควบคุมการเคลื่อนที่หรือลูปในระบบควบคุมตำแหน่งและแรงโดยตรงตามแผนภาพที่แสดงในรูปที่ 3.7



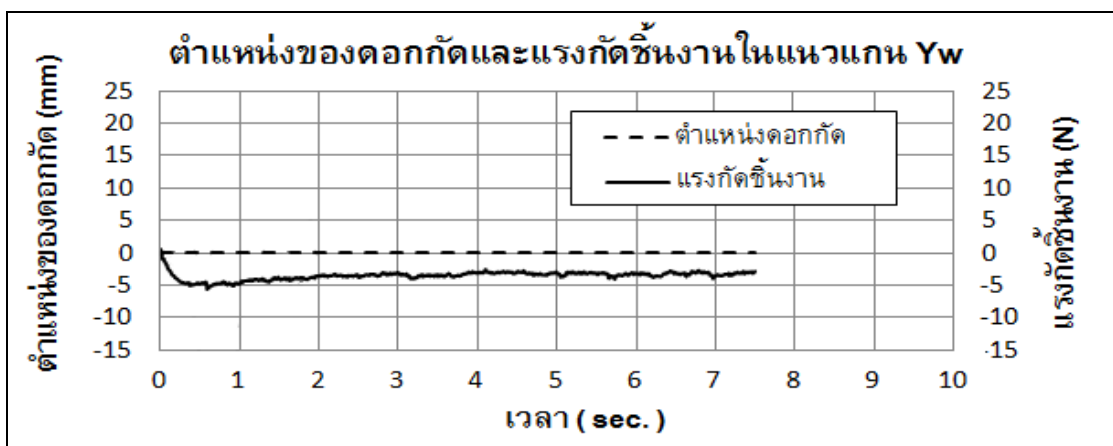
รูปที่ 4.19 ตำแหน่งของดอกกักบนระนาบ  $XwYw$  เมื่อทำการกัดชิ้นงานเป็นเส้นตรง

รูปที่ 4.20-4.22 แสดงตำแหน่งของดอกกักที่วัดได้และแรงกัดชิ้นงานเทียบกับเวลาที่ดอกกักเคลื่อนที่ เมื่อมีการวัดค่าดังกล่าวในแนวแกน  $Xw$   $Yw$  และ  $Zw$  ตามลำดับ ตำแหน่งของดอกกักที่วัดได้ (แกนตั้งด้านซ้าย) มีการเปลี่ยนแปลงเทียบกับเวลาเฉพาะในแนวแกน  $Xw$  ทั้งนี้เนื่องจากการกำหนดให้ดอกกักเคลื่อนที่เฉพาะในทิศทาง  $-Xw$  การที่ดอกกักดังกล่าวถูกกำหนดให้มีการเคลื่อนที่ในทิศทาง  $-Xw$  ทำให้เกิดแรงกัดชิ้นงานทั้งในแนวแกน  $Xw$   $Yw$  และ  $Zw$  โดยสามารถแสดงค่าแรงกัดที่เกิดขึ้นได้ ดังต่อไปนี้

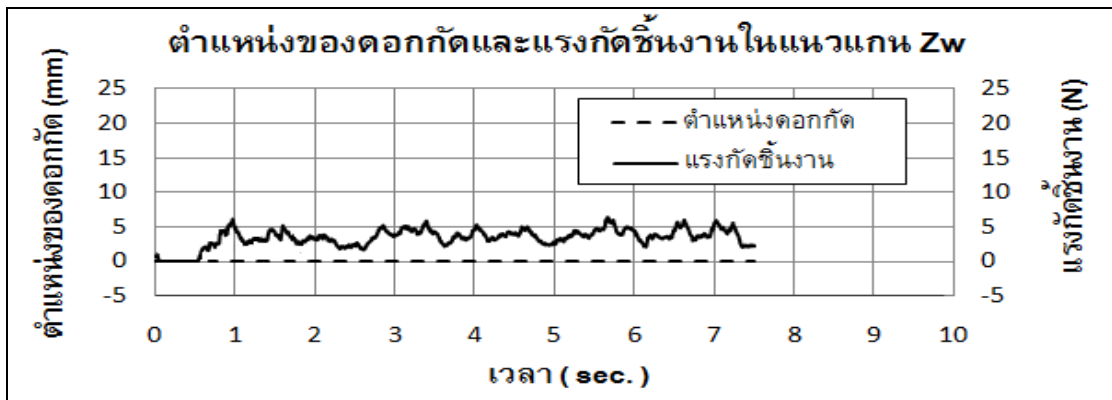
แรงกักขึ้นงานในแนวแกน Xw (แกนตั้งด้านขวาในรูปที่ 4.20) แสดงค่าแรงในทิศทางบวกซึ่งมีค่าประมาณ 6 นิวตัน แรงกักขึ้นงานในแนวแกน Yw (แกนตั้งด้านขวาในรูปที่ 4.21) แสดงค่าในทิศทางลบซึ่งมีขนาดไม่เกิน 6 นิวตัน และแรงกักขึ้นงานในแนวแกน Zw (แกนตั้งด้านขวาในรูปที่ 4.22) แสดงค่าแรงกักในทิศทางบวกซึ่งมีขนาดไม่เกิน 6 นิวตัน ผลการตรวจสอบแรงกักที่เกิดขึ้นพบว่าแรงกักขึ้นงานที่วัดค่าได้มีขนาดสูงสุดเกินกว่า 5 นิวตัน ทั้งในแนวแกน Xw Yw และ Zw ดังนั้น เมื่อต้องการควบคุมแรงในขณะกักขึ้นงานจึงกำหนดให้แรงกักที่ต้องการมีค่า 5 นิวตัน การควบคุมแรงในขณะกักขึ้นงานจะเกิดขึ้นเมื่อแรงกักขึ้นงานที่วัดค่าได้จากอุปกรณ์ตรวจรู้แรงมีขนาดสูงเกินกว่า 5 นิวตัน



รูปที่ 4.20 ตำแหน่งและแรงกักขึ้นงานในแนวแกน Xw เมื่อทำการกักขึ้นงานเป็นเส้นตรง

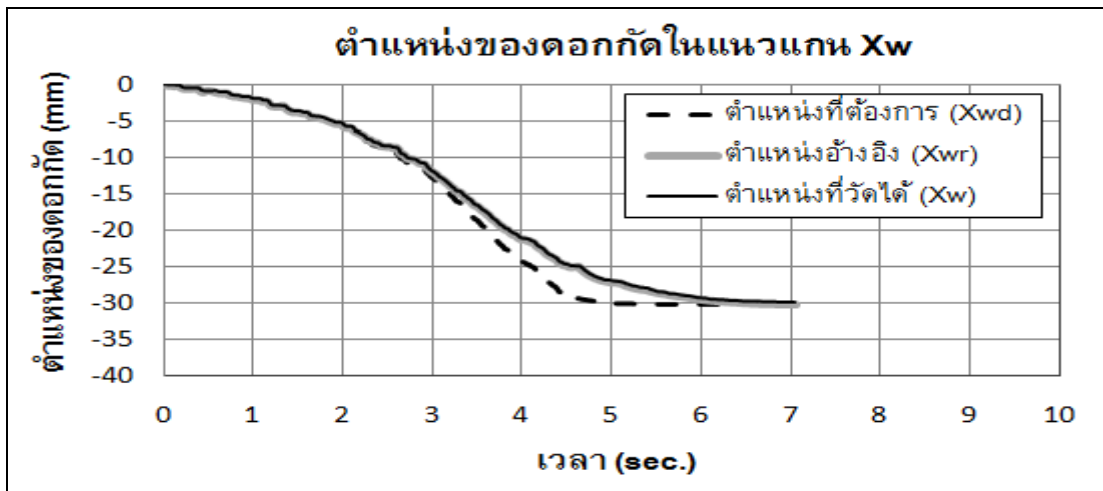


รูปที่ 4.21 ตำแหน่งและแรงกักขึ้นงานในแนวแกน Yw เมื่อทำการกักขึ้นงานเป็นเส้นตรง



รูปที่ 4.22 ตำแหน่งและแรงกัดชิ้นงานในแนวแกน Zw เมื่อทำการกัดชิ้นงานเป็นเส้นตรง

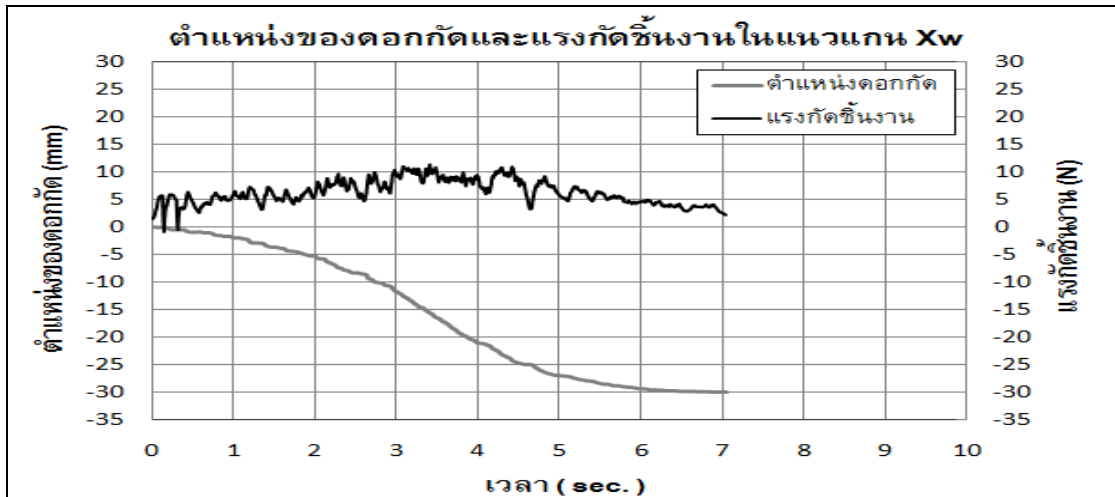
การควบคุมแรงในขณะกัดชิ้นงานเมื่อดอกกัดมีการเคลื่อนที่ด้วยระบบการทำงานแบบ มาสเตอร์-สเลฟโดยมีแรงสะท้อนกลับกระทำต่อมือของผู้ดำเนินการสามารถแสดงได้ดังต่อไปนี้ เพื่อให้ผู้ดำเนินการสามารถเคลื่อนด้ามจับแขนกลนำไปเป็นแนวเส้นตรง เพื่อให้เกิดความแม่นยำในการทดสอบ เราได้สร้างอุปกรณ์รางเลื่อนช่วยยึดด้านแขนกลนำให้แขนกลนำสามารถเคลื่อนได้เป็นเส้นตรงในทิศทางเดียว ผู้ดำเนินการจะทำการเคลื่อนด้ามจับแขนกลนำบนรางเลื่อนแขนกลนำเป็นระยะทาง 30 มิลลิเมตร ตำแหน่งปลายแขนกลนำที่เกิดขึ้นจากการเคลื่อนด้ามจับแขนกลนำจะนำมาใช้เป็นตำแหน่งที่ต้องการให้ดอกกัดเคลื่อนที่ไป รูปที่ 4.23 แสดงตำแหน่งของดอกกัดในแนวแกน Xw เทียบกับเวลา การเลื่อนตำแหน่งปลายแขนกลนำส่งผลให้ตำแหน่งที่ต้องการ (เส้นประสีดำ) เปลี่ยนแปลงไปในทิศทาง  $-X_w$  จากจุดเริ่มต้นเป็นระยะทาง 30 มิลลิเมตร (ตำแหน่งที่ต้องการคือ -30 มิลลิเมตร) ในระยะเวลาประมาณ 5 วินาที การควบคุมแรงกัดชิ้นงานทำให้ตำแหน่งของดอกกัดที่วัดได้ (เส้นทึบสีดำ) มีค่าแตกต่างจากตำแหน่งของดอกกัดที่ต้องการ โดยตำแหน่งของดอกกัดที่วัดค่าได้ (เส้นทึบสีดำ) จะต้องมียกเว้นใกล้เคียงกับตำแหน่งอ้างอิงของดอกกัด (เส้นทึบสีเทา) ระบบควบคุมแรงดังแสดงในแผนภาพของรูปที่ 3.7 ได้ถูกนำมาใช้ในการควบคุมแรงกัดชิ้นงานให้ได้ใกล้เคียงกับค่าแรงกัดที่กำหนดในที่นี้ได้กำหนดค่าแรงกัดไว้คือ 5 นิวตัน



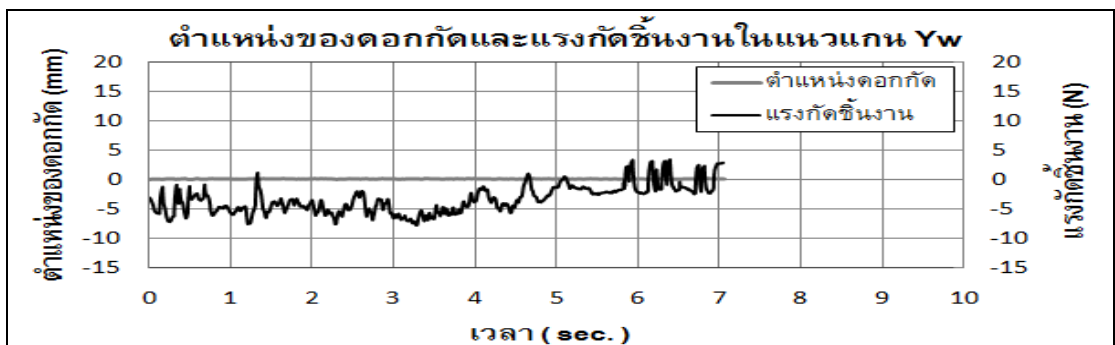
รูปที่ 4.23 ตำแหน่งของดอกกัดในแนวแกน  $X_w$  เมื่อกัดชิ้นงานเป็นเส้นตรง (เคลื่อนดอกกัดแบบมาสเตอร์-สเลฟในทิศทาง  $-X_w$ )

การทดลองพบว่าตลอดระยะเวลาของการกัดชิ้นงาน ระบบควบคุมตำแหน่งและแรงโดยตรงที่ได้กล่าวมาแล้ว สามารถควบคุมตำแหน่งของดอกกัดที่วัดได้ ( $X_w$ , เส้นทึบสีดำ) ให้มีค่าใกล้เคียงกับตำแหน่งอ้างอิงของดอกกัด ( $X_{wr}$ , เส้นทึบสีเทา) นอกจากนี้ระบบควบคุมตำแหน่งการเคลื่อนที่และระบบควบคุมแรงกัดชิ้นงานจะทำให้ตำแหน่งของดอกกัดที่วัดค่าได้ (เส้นทึบสีดำ) มีการปรับเปลี่ยนค่าจนกระทั่งมีค่าใกล้เคียงกับตำแหน่งที่ต้องการ (เส้นประสีดำ) ที่ระยะเวลาในการเคลื่อนที่ประมาณ 7 วินาที รูปที่ 4.24 - 4.26 แสดงตำแหน่งของดอกกัดที่วัดได้ (เส้นทึบสีเทา) และ แรงกัดชิ้นงานที่วัดค่าได้ด้วยอุปกรณ์ตรวจรูแรง (เส้นทึบสีดำ) โดยเทียบกับเวลาที่กัดชิ้นงาน เมื่อทำการวัดค่าในแนวแกน  $X_w$   $Y_w$  และ  $Z_w$  ตามลำดับ ตำแหน่งของดอกกัดที่วัดได้ (อ่านค่าสเกลตามแกนตั้งด้านซ้ายมือ) แสดงการเปลี่ยนแปลงค่าตำแหน่งเทียบกับเวลาเฉพาะในแนวแกน  $X_w$  เนื่องจากกำหนดให้ดอกกัดมีการเปลี่ยนแปลงตำแหน่งที่ต้องการเฉพาะในทิศทาง  $-X_w$  เท่านั้น รูปที่ 4.24 แสดงแรงกัดชิ้นงานที่วัดค่าได้ในแนวแกน  $X_w$  (อ่านค่าสเกลตามแกนตั้งด้านขวา) มีค่าสูงสุดประมาณ 10 นิวตัน แรงกัดสูงสุดเกิดขึ้นในช่วงเวลา 3 - 4.5 วินาที ซึ่งเป็นช่วงเวลาที่ตำแหน่งของดอกกัดที่วัดได้ (อ่านสเกลตามแกนตั้งด้านซ้ายมือ) มีการเปลี่ยนแปลงอย่างรวดเร็ว แรงกัดชิ้นงานที่วัดได้ (สเกลตามแกนตั้งด้านขวา) หลังจากเวลา 4.5 วินาที มีแนวโน้มลดลงจนมีค่าต่ำกว่า 5 นิวตัน ที่เวลาประมาณ 7 วินาที รูปที่ 4.25 แสดงตำแหน่งของดอกกัดและแรงกัดชิ้นงานที่วัดค่าได้ในแนวแกน  $Y_w$  เทียบกับเวลา พบว่าตำแหน่งของดอกกัดที่วัดได้ (สเกลตามแกนตั้งด้านซ้าย) ไม่มีการเปลี่ยนแปลงไปจากตำแหน่งเริ่มต้น แรงกัดชิ้นงานที่วัดได้ (สเกลตามแกนตั้งด้านขวา) เกิดขึ้นจากการเคลื่อนที่ของดอกกัดในทิศทาง  $-X_w$  การเคลื่อนที่ของดอกกัดทำให้แรงกัดชิ้นงานในแนวแกน  $Y_w$  แสดงค่าเป็นค่าลบซึ่งมีขนาดสูงสุดประมาณ 7 นิวตัน รูปที่ 4.26 แสดงตำแหน่งของดอกกัด

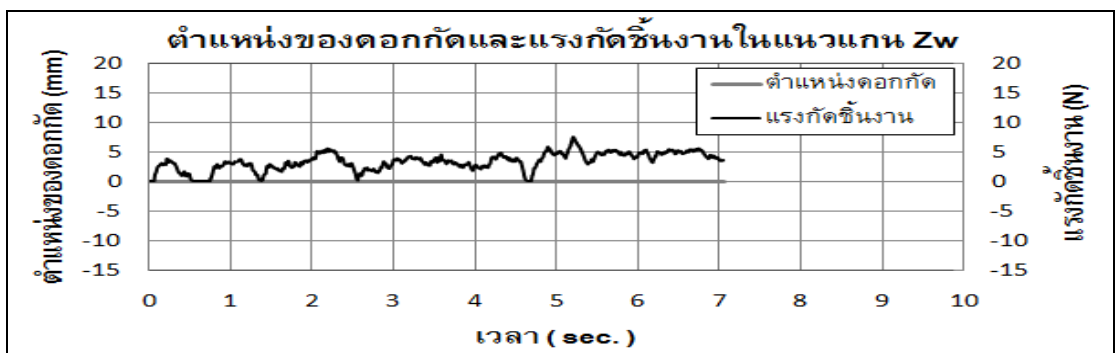
และแรงกััดขึ้นงานที่วัดค่าได้ในแนวแกน Zw แรงกััดขึ้นงานที่วัดได้ (สเกลตามแกนตั้งด้านขวา) เกิดจากการเคลื่อนที่ของดอกกััดในทิศทาง  $-Xw$  แรงกััดดังกล่าวมีค่าสูงสุดประมาณ 7 N



รูปที่ 4.24 ตำแหน่งของดอกกััดและแรงกััดขึ้นงานในแนวแกน Xw เมื่อกััดขึ้นงานเป็นเส้นตรง (เคลื่อนดอกกััดแบบมาสเตอร์-สเลฟในทิศทาง  $-Xw$ )



รูปที่ 4.25 ตำแหน่งของดอกกััดและแรงกััดขึ้นงานในแนวแกน Yw เมื่อกััดขึ้นงานเป็นเส้นตรง (เคลื่อนดอกกััดแบบมาสเตอร์-สเลฟในทิศทาง  $-Xw$ )



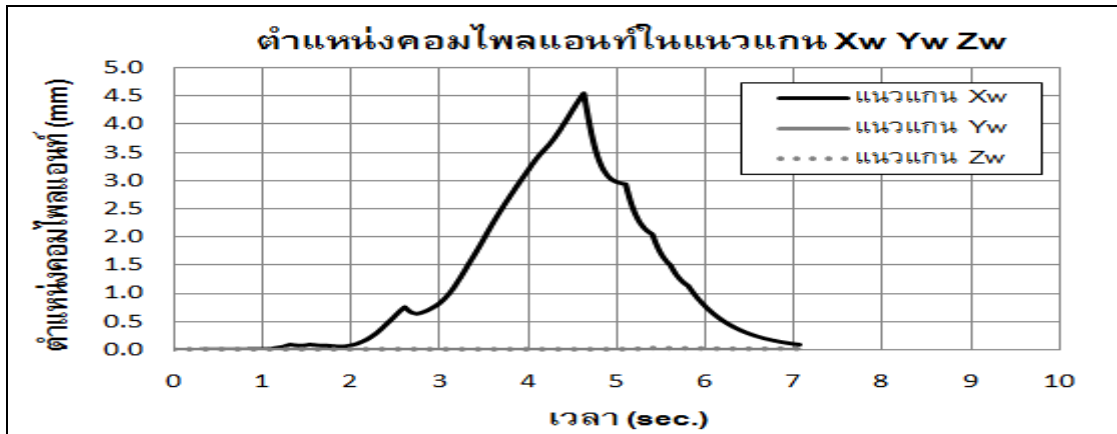
รูปที่ 4.26 ตำแหน่งของดอกกััดและแรงกััดขึ้นงานในแนวแกน Zw เมื่อกััดขึ้นงานเป็นเส้นตรง (เคลื่อนดอกกััดแบบมาสเตอร์-สเลฟในทิศทาง  $-Xw$ )

รูปที่ 4.27 แสดงตำแหน่งคอมโพลแอนท์ในแนวแกน  $X_w$   $Y_w$  และ  $Z_w$  ตำแหน่งคอมโพลแอนท์ดังกล่าวเกิดจากผลต่างระหว่างตำแหน่งอ้างอิงของดอกกัท และตำแหน่งของดอกกัทที่ต้องการ ในแต่ละแนวแกน เช่น ตำแหน่งคอมโพลแอนท์ในแนวแกน  $X_w$  เกิดจากผลต่างระหว่างตำแหน่งอ้างอิงของดอกกัท ( $X_{wr}$ ) และตำแหน่งของดอกกัทที่ต้องการ ( $X_{wd}$ ) ดังแสดงไว้ในรูปที่ 4.23 ในการทดลองนี้ตำแหน่งคอมโพลแอนท์ในแนวแกน  $X_w$  มีค่าสูงสุดคือ 4.5 มิลลิเมตร ตำแหน่งคอมโพลแอนท์มีค่าเป็นบวกแสดงว่าตำแหน่งอ้างอิงของดอกกัท ( $X_{wr}$ ) มีค่าสูงกว่าตำแหน่งของดอกกัทที่ต้องการ ( $X_{wd}$ ) ระบบควบคุมตำแหน่งจะทำการควบคุมให้ตำแหน่งของดอกกัท ( $X_w$ ) มีค่าเพิ่มขึ้นไปตามค่าของตำแหน่งอ้างอิงของดอกกัท ( $X_{wr}$ ) ในที่นี้ การควบคุมตำแหน่งของดอกกัทดังกล่าวส่งผลให้ดอกกัทเคลื่อนที่ช้าลงกว่าตำแหน่งของดอกกัทที่ต้องการ ( $X_{wd}$ ) ส่วนตำแหน่งคอมโพลแอนท์ในแนวแกน  $Y_w$  และ  $Z_w$  มีค่าน้อยมากจนใกล้เคียงค่าศูนย์จึงไม่ส่งผลกระทบต่อเคลื่อนที่ของดอกกัทในแนวแกน  $Y_w$  และ  $Z_w$

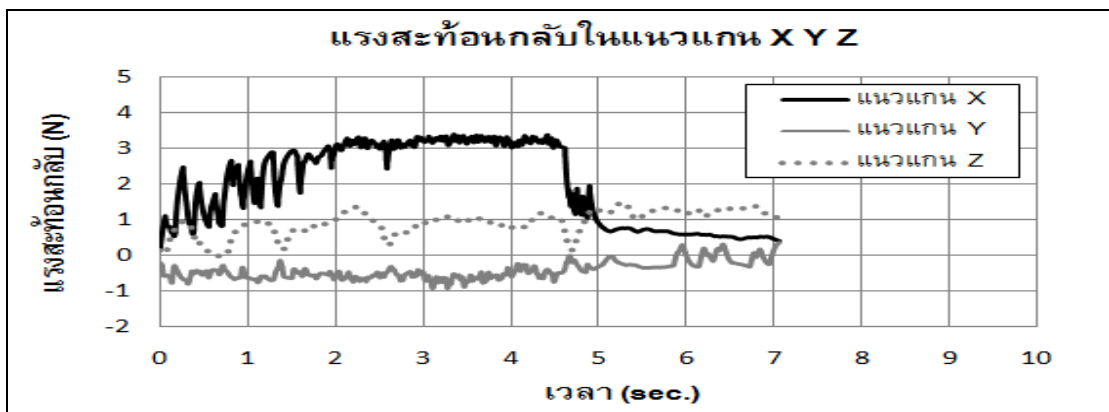
การทดลองกัทขึ้นงานโดยการเคลื่อนดอกกัทแบบมาสเตอร์-สเลฟได้มีการสร้างแรงสะท้อนกลับกระทำต่อมือของผู้ดำเนินการเพื่อให้ผู้ดำเนินการเกิดความรู้สึกในขณะที่ดอกกัทเคลื่อนที่กัทเซาขึ้นงาน แรงสะท้อนกลับจะทำหน้าที่จำกัดความเร็วในการเคลื่อนมือของผู้ดำเนินการไม่ให้มีค่าที่สูงจนเกินไป ดังนั้นทิศทางของแรงสะท้อนกลับจึงควรมีทิศทางตรงข้ามกับการเคลื่อนมือของผู้ดำเนินการ รูปที่ 4.28 แสดงค่าแรงสะท้อนกลับที่กระทำต่อมือของผู้ดำเนินการในขณะที่ผู้ดำเนินการเคลื่อนตามจับของแขนกลนำบรารงเส้นเป็นเส้นตรงแรงสะท้อนกลับในแนวแกน  $X$   $Y$  และ  $Z$  ของแขนกลนำจะมีค่าเป็นสัดส่วนกับแรงกัทขึ้นงานที่เกิดขึ้นในแนวแกน  $X_w$   $Y_w$  และ  $Z_w$  ตามลำดับ ในที่นี้กำหนดให้แรงสะท้อนกลับในแนวแกน  $X_w$  มีค่าประมาณร้อยละ 40 ของแรงกัทในแนวแกน  $X_w$  แต่จะมีค่าไม่เกิน 3.2 นิวตัน (กำหนดค่าสูงสุดไว้ในระบบควบคุม) เนื่องจากเราพบว่าเมื่อแรงสะท้อนกลับมีค่าเกินกว่า 3.2 นิวตันผู้ดำเนินการจะเริ่มรู้สึกกังวลในการควบคุมแขนกลนำ การกำหนดค่า 3.2 นิวตันนี้ขึ้นอยู่กับระบบควบคุมและระบบส่งกำลังของแขนกลนำซึ่งยังมีรายละเอียดอีกมากซึ่งยังไม่ได้ครอบคลุมในงานวิจัยนี้ ส่วนแรงสะท้อนกลับที่เกิดขึ้นในแนวแกน  $Y_w$  และ  $Z_w$  ไม่ควรมีค่าสูงมากนักเนื่องจากไม่ใช่ทิศทางหลักในการเคลื่อนตามจับของผู้ดำเนินการ ในที่นี้จึงกำหนดให้ระบบควบคุมสร้างแรงสะท้อนกลับในแนวแกน  $Y$  มีค่าประมาณร้อยละ 10 ของแรงกัทที่วัดค่าได้ในแนวแกน  $Y_w$  และแรงสะท้อนกลับในแนวแกน  $Z_w$  จะมีค่าไม่เกิน 1.2 นิวตัน เพื่อความสะดวกในการเคลื่อนตามจับของผู้ดำเนินการ อย่างไรก็ตามขนาดของแรงสะท้อนกลับในแต่ละแนวแกนสามารถปรับเปลี่ยนให้มีค่าแตกต่างจากที่กล่าวมาข้างต้นได้ ขึ้นอยู่กับความรู้สึกของผู้ดำเนินการแต่ละท่าน

ผลการทดลองควบคุมแรงกัทเมื่อต้องการให้ดอกกัทเคลื่อนที่กัทขึ้นงานเป็นร่องแนวเส้นตรงด้วยการทำงานแบบมาสเตอร์-สเลฟโดยกำหนดให้แขนกลนำมีการสร้างแรงสะท้อนกลับกระทำต่อมือของผู้ดำเนินการดังกล่าวมาข้างต้นแสดงว่าดอกกัทสามารถควบคุมแรงกัทขึ้นงาน

ในแนวแกนการเคลื่อนที่ของดอกกัท (แนวแกน  $X_w$ ) ให้มีค่าระหว่าง 5-10 นิวตัน ในช่วงเวลาที่มีการเปลี่ยนแปลงตำแหน่งของดอกกัทที่ต้องการ ( $X_{wd}$ ) นอกจากนี้ระบบควบคุมแรงและตำแหน่งการเคลื่อนที่ของดอกกัทสามารถทำการปรับตำแหน่งการเคลื่อนที่ของดอกกัทจนมีค่าใกล้เคียงกับตำแหน่งที่ต้องการได้ในระยะเวลาไม่เกิน 2.5 วินาที ในขณะที่ไม่มีการเปลี่ยนแปลงตำแหน่งที่ต้องการ ( $X_{wd}$ )



รูปที่ 4.27 ตำแหน่งคอมโพลแอนท์ในแนวแกน  $X_w$   $Y_w$  และ  $Z_w$  เมื่อกัทขึ้นงานเป็นเส้นตรง (เคลื่อนดอกกัทแบบมาสเตอร์-สเลฟในทิศทาง  $-X_w$ )



รูปที่ 4.28 แรงสะท้อนกลับที่กระทำต่อมือผู้ดำเนินการในแนวแกน  $X$   $Y$  และ  $Z$  เมื่อกัทขึ้นงานเป็นเส้นตรง (เคลื่อนดอกกัทแบบมาสเตอร์-สเลฟในทิศทาง  $-X_w$ )

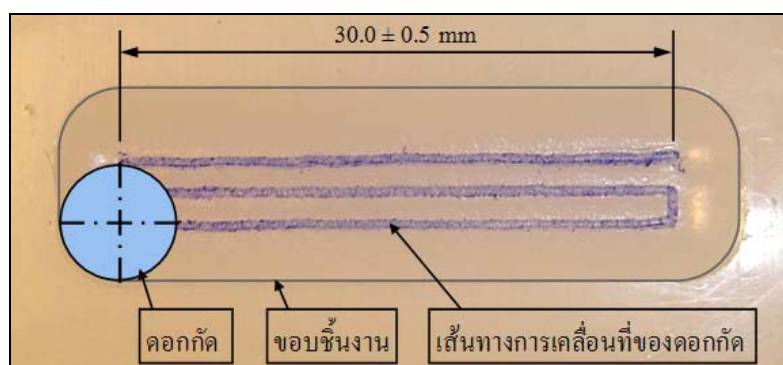
### 4.3 ทดลองกัดชิ้นงานเป็นหลุม (Pocket)

การทดลองกัดชิ้นงานเป็นหลุม (Pocket) จัดทำขึ้นเพื่อศึกษาการควบคุมแรงกัดชิ้นงาน และการสร้างแรงสะท้อนกลับกระทำกับมือของผู้ดำเนินการเมื่อดอกกัดทำการกัดเซาะเนื้อชิ้นงานเพียงด้านเดียว การทดลองกำหนดให้ดอกกัดเคลื่อนที่กัดเซาะชิ้นงานด้วยระบบการทำงานแบบมาสเตอร์-สเลฟในแนวแกน Xw และกำหนดให้ดอกกัดสามารถเปลี่ยนแปลงตำแหน่งการเคลื่อนที่ในแนวแกน Yw ได้ โดยการกำหนดตำแหน่งที่ต้องการผ่านระบบควบคุม การทดลองดังกล่าวจะนำเสนอภายหลังจากการศึกษาลักษณะของแรงกัดและขนาดของแรงกัดที่เกิดขึ้นเมื่อดอกกัดชิ้นงานมีการกัดเซาะเนื้อชิ้นงานเพียงด้านเดียว

#### การทดลองโดยใช้ระบบควบคุมการเคลื่อนที่ของหัวกัดโดยไม่มีมีการควบคุมแรงกัด

ในเบื้องต้นผู้วิจัยจะทำการศึกษาลักษณะของแรงกัดและขนาดของแรงกัดที่เกิดขึ้น โดยไม่มีมีการควบคุมแรงกัด ดอกกัดเคลื่อนที่ในแนวแกน Xw และ Yw โดยการกำหนดตำแหน่งของดอกกัดที่ต้องการผ่านระบบควบคุมการเคลื่อนที่ โดยลำดับการเคลื่อนที่ของดอกกัดแสดงได้ ดังนี้ ดอกกัดเคลื่อนที่ในทิศทาง  $-Xw$  เป็นระยะทาง 30 มิลลิเมตร เคลื่อนที่ในทิศทาง  $-Yw$  เป็นระยะทาง 2 มิลลิเมตร เคลื่อนที่ในทิศทาง Xw เป็นระยะทาง 30 มิลลิเมตร เคลื่อนที่ในทิศทาง  $-Yw$  เป็นระยะทาง 2 มิลลิเมตร และเคลื่อนที่ในทิศทาง  $-Xw$  เป็นระยะทาง 30 มิลลิเมตร ตามลำดับ ผู้วิจัยกำหนดให้ดอกกัดเคลื่อนที่ด้วยความเร็วในการกัด (feed rate) 4 มิลลิเมตรต่อวินาที ในแนวแกน Xw และเคลื่อนที่ด้วยความเร็วในการกัด (feed rate) 1 มิลลิเมตรต่อวินาที ในแนวแกน Yw โดยการกำหนดค่าผ่านระบบควบคุมการเคลื่อนที่

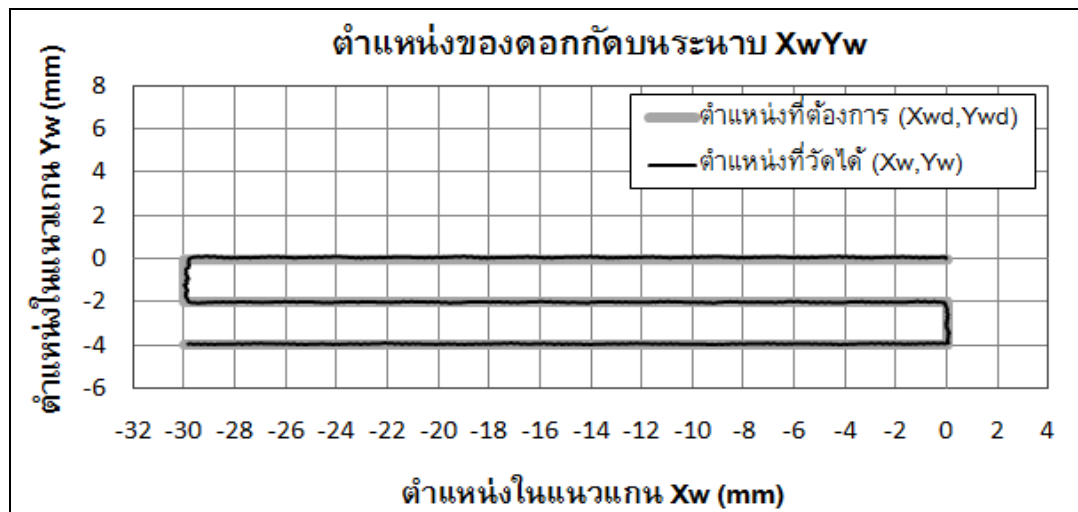
รูปที่ 4.29 แสดงชิ้นงานเป็นวัสดุ PE (Polyethylene) ที่ได้จากการกัดตามลำดับการเคลื่อนที่ของดอกกัดดังกล่าว โดยกำหนดให้ความลึกในการกัดชิ้นงานคือ 2 มิลลิเมตร ในที่นี้ผู้วิจัยได้ใช้ปากกาเขียนเส้นที่บ่งบนชิ้นงานเพื่อแสดงเส้นทางการเคลื่อนที่ของดอกกัดให้มีความชัดเจนมากขึ้น ความยาวของเส้นที่แสดงในแนวแกน Xw มีค่าประมาณ 30 มิลลิเมตร ซึ่งมีความสอดคล้องกับระยะการเคลื่อนที่ของดอกกัดที่ต้องการในแนวแกน Xw



รูปที่ 4.29 ชิ้นงานที่ได้จากการกัดเป็นหลุม (ความลึก 2 มิลลิเมตร)



รูปที่ 4.30 แสดงตำแหน่งของดอกกัทที่วัดได้เปรียบเทียบกับตำแหน่งที่ต้องการเมื่อพิจารณาตำแหน่งบนระนาบ  $X_wY_w$  ตำแหน่งของดอกกัทที่วัดได้ (เส้นทึบสีดำ) มีค่าใกล้เคียงกับตำแหน่งของดอกกัทที่ต้องการ (เส้นทึบสีเทา) ตำแหน่งของดอกกัทที่ต้องการ (เส้นทึบสีเทา) เริ่มต้นจากตำแหน่ง  $(X_w, Y_w) = (0, 0)$  และสิ้นสุดที่ตำแหน่ง  $(X_w, Y_w) = (-30, -4)$

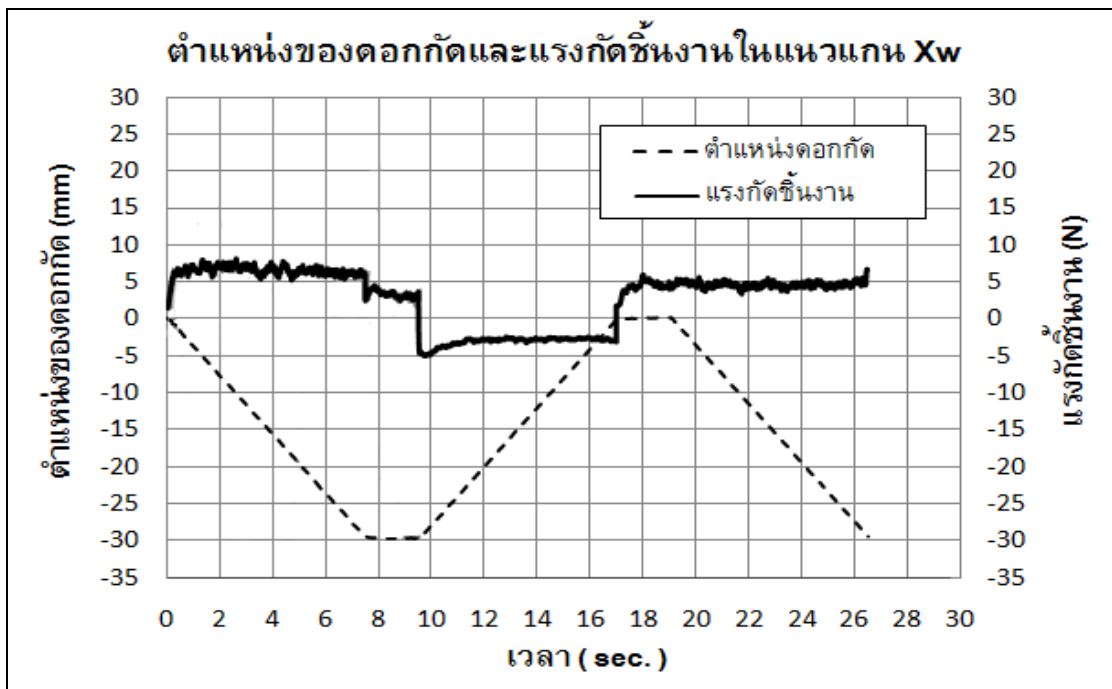


รูปที่ 4.30 ตำแหน่งของดอกกัทบนระนาบ  $X_wY_w$  เมื่อทำการกัทชิ้นงานเป็นหลุม

รูปที่ 4.31-4.33 แสดงตำแหน่งการเคลื่อนที่ของดอกกัทที่วัดได้ (ค่าสเกลแกนตั้งด้านซ้ายมือ) และแรงกัทชิ้นงาน (ค่าสเกลแกนตั้งด้านขวามือ) เทียบกับเวลา ในแนวแกน  $X_w Y_w$  และ  $Z_w$  ตามลำดับ ตำแหน่งของดอกกัทที่วัดได้ (เส้นประสีดำ) เกิดจากการเคลื่อนที่ของดอกกัทไปตามตำแหน่งที่ต้องการ (ดังแสดงมาแล้วในรูปที่ 4.30) ดอกกัทเคลื่อนที่กัทเขาชิ้นงานตามตำแหน่งที่ต้องการทำให้เกิดแรงกัทชิ้นงาน

รูปที่ 4.31 แสดงตำแหน่งของดอกกัทที่วัดค่าได้และแรงกัทชิ้นงานที่วัดได้ในแนวแกน  $X_w$  เทียบกับเวลา ผลการทดลองพบว่าแรงกัทชิ้นงานที่วัดค่าได้ (เส้นทึบสีดำ) มีทิศทางตรงข้ามกับการเปลี่ยนแปลงตำแหน่งของดอกกัท (เส้นประสีดำ) ดังต่อไปนี้ ในช่วงเวลา 0-7.5 วินาที ตำแหน่งของดอกกัท (เส้นประสีดำ) มีการเปลี่ยนแปลงในทิศทาง  $-X_w$  ส่งผลให้แรงกัทชิ้นงาน (เส้นทึบสีดำ) แสดงค่าเป็นบวก ซึ่งมีขนาดประมาณ 6 นิวตัน หลังจากนั้น ในช่วงเวลา 9.5-17.0 วินาที ตำแหน่งของดอกกัท (เส้นประสีดำ) มีการเปลี่ยนแปลงในทิศทาง  $X_w$  ส่งผลให้แรงกัทชิ้นงาน (เส้นทึบสีดำ) แสดงค่าเป็นลบ ซึ่งมีขนาดประมาณ 3 นิวตัน และในช่วงเวลา 19.0-26.5 วินาที ตำแหน่งของดอกกัท (เส้นประสีดำ) มีการเปลี่ยนแปลงในทิศทาง  $-X_w$  ส่งผลให้แรงกัทชิ้นงาน (เส้นทึบสีดำ) แสดงค่าเป็นบวก ซึ่งมีขนาดประมาณ 5 นิวตัน แรงกัทชิ้นงานดังกล่าวมาข้างต้นมีขนาดสูงสุดประมาณ 6 นิวตัน ในขณะเวลา 0-7.5 วินาที เนื่องจากดอกกัทมีการเคลื่อนที่กัทเขาชิ้นงานเป็นร่องแนวเส้นตรง แรงกัทชิ้นงานในช่วงเวลาที่เหลือจะมีค่า

น้อยลงเป็น 3 นิวตัน และ 5 นิวตัน ตามลำดับ เนื่องจากดอกกัทมีการสัมผัสกับเนื้อวัสดุเพียงบางส่วน ในที่นี้ดอกกัทจะสัมผัสกับพื้นผิวของชิ้นงานที่อยู่ทิศทาง  $-Y_w$  เท่านั้น นอกจากนี้ การเคลื่อนที่ของดอกกัทในทิศทาง  $-Y_w$  ซึ่งเกิดขึ้นในช่วงเวลา 7.5-9.5 วินาที และช่วงเวลา 17.0-19.0 วินาที ส่งผลให้แรงกัทชิ้นงานในแนวแกน  $X_w$  แสดงค่าเป็นบวกซึ่งมีขนาดไม่เกิน 5 นิวตัน จึงยังคงสรุปได้ว่าแรงกัทชิ้นงานในแนวแกน  $X_w$  ในการทดลองนี้มีค่าสูงที่สุดประมาณ 6 นิวตัน



รูปที่ 4.31 ตำแหน่งและแรงกัทชิ้นงานในแนวแกน  $X_w$  เมื่อทำการกัทชิ้นงานเป็นหลุม

รูปที่ 4.32 แสดงตำแหน่งของดอกกัทที่วัดได้และแรงกัทชิ้นงานในแนวแกน  $Y_w$  เทียบกับเวลา ผลการทดลองพบว่าแรงกัทที่วัดค่าได้ (เส้นทึบสีดำ) มีทิศทางตรงข้ามกับการเปลี่ยนแปลงตำแหน่งของดอกกัท (เส้นประสีดำ) ในช่วงเวลา 7.5-9.5 วินาที และ ช่วงเวลา 17.0-19.0 วินาที ตามลำดับ การเปลี่ยนแปลงตำแหน่งของดอกกัทในช่วงเวลาดังกล่าวส่งผลให้แรงกัทที่วัดค่าได้ (เส้นทึบสีดำ) มีค่าสูงสุดไม่เกิน 5 นิวตัน นอกจากนี้แรงกัทที่วัดค่าได้ (เส้นทึบสีดำ) ในแนวแกน  $Y_w$  ขณะที่ดอกกัทมีการเคลื่อนที่ในแนวแกน  $X_w$  มีค่าสูงสุดไม่เกิน 5 นิวตัน ด้วยเช่นกัน ทิศทางของแรงกัทชิ้นงานที่เกิดขึ้นในช่วงเวลา 0-7.5 sec แสดงค่าเป็นลบเนื่องจากการเคลื่อนที่กัทชิ้นงานเป็นร่องเส้นตรง ทิศทางของแรงกัทชิ้นงานในช่วงเวลาอื่นๆ แสดงค่าเป็นบวกเนื่องจากดอกกัทมีการสัมผัสกับเนื้อชิ้นงานเฉพาะที่อยู่ในทิศทาง  $-Y_w$  และแรงกัทชิ้นงานจะแสดงค่าในทิศทางตรงข้ามกับการสัมผัสดังกล่าว



รูปที่ 4.32 ตำแหน่งและแรงกักขังงานในแนวแกน Yw เมื่อทำการกักขังงานเป็นหลุม

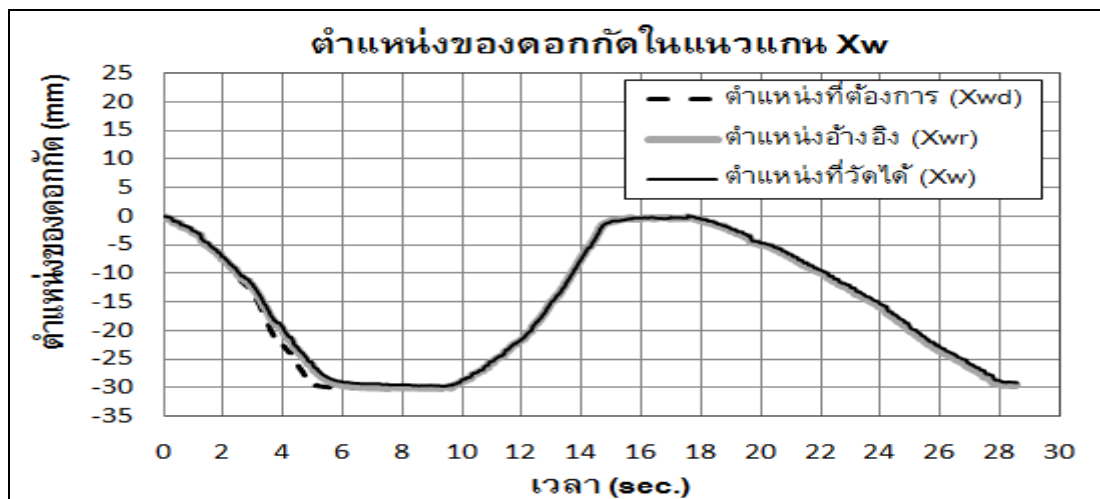
รูปที่ 4.33 แสดงตำแหน่งของดอกกักที่วัดได้และแรงกักขังงานเทียบกับเวลา ตำแหน่งดอกกักที่วัดได้ (เส้นประสีดำ) ไม่มีการเปลี่ยนแปลงตำแหน่งในแนวแกน Zw ตลอดระยะเวลาในการกักขังงาน ดอกกักเคลื่อนที่กักขังงานที่ความลึก 2 มิลลิเมตร แต่ในที่นี้กำหนดให้ตำแหน่งเริ่มต้นแสดงค่าเป็นศูนย์เพื่อความสะดวกในการแสดงผล แรงกักขังงานที่วัดค่าได้ (เส้นทึบสีดำ) แสดงค่าเปลี่ยนแปลงไปตามการเคลื่อนที่ของดอกกักในแนวแกน Xw และ Yw แรงกักขังงานมีค่าประมาณ 5 นิวตัน ในช่วงเวลา 0-7.5 วินาที แรงกักขังงานแสดงการเปลี่ยนแปลงค่าระหว่าง 0-7 นิวตัน ในขณะที่ดอกกักสัมผัสเนื้อชิ้นงานเฉพาะที่อยู่ในทิศทาง  $-Yw$



รูปที่ 4.33 ตำแหน่งและแรงกักขังงานในแนวแกน Zw เมื่อทำการกักขังงานเป็นหลุม

### การทดลองโดยมีการควบคุมแรงกัก โดยการทำงานในลักษณะมาสเตอร์-สเลฟแบบมีแรงสะท้อนกลับในแกน Xw

การทดลองควบคุมแรงกักชิ้นงานและการสร้างแรงสะท้อนกลับเกิดขึ้นเมื่อกำหนดให้ดอกกักมีการเคลื่อนที่แบบมาสเตอร์-สเลฟในแนวแกน Xw ส่วนการเคลื่อนที่ในแนวแกน Yw นั้นจะเป็นการควบคุมการเคลื่อนที่โดยการกำหนดค่าตำแหน่งที่ต้องการการเคลื่อนที่ผ่านระบบควบคุมโดยไม่ใช้การเคลื่อนที่แบบมาสเตอร์-สเลฟ ดังนั้น การทดลองนี้จะทำการควบคุมแรงกักที่เกิดขึ้นเฉพาะในแนวแกน Xw และ Zw เนื่องจากผู้วิจัยต้องการกำหนดตำแหน่งการเคลื่อนที่ของดอกกักในแนวแกน Yw ให้มีค่าใกล้เคียงกับตำแหน่งที่ต้องการมากที่สุด

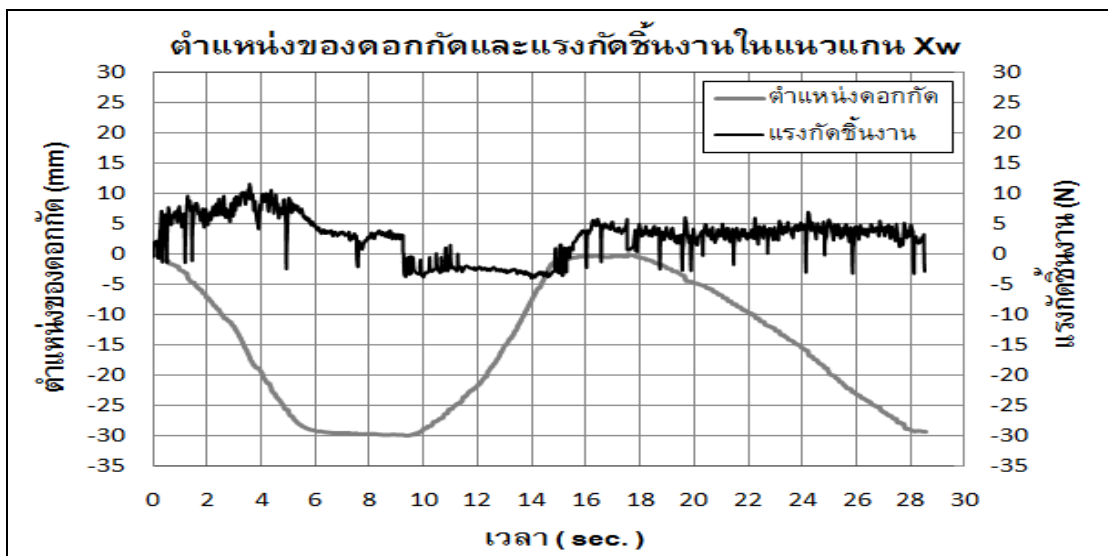


รูปที่ 4.34 ตำแหน่งของดอกกักในแนวแกน Xw เมื่อกักชิ้นงานเป็นหลุม (เคลื่อนดอกกักแบบมาสเตอร์-สเลฟในแนวแกน Xw)

รูปที่ 4.34 แสดงตำแหน่งของดอกกักในแนวแกน Xw เมื่อมีการควบคุมแรงในขณะกักชิ้นงานวัสดุ PE (Polyethylene) ที่ความลึกในการกัก 2 มิลลิเมตร ดอกกักเคลื่อนที่ด้วยระบบการทำงานแบบมาสเตอร์-สเลฟโดยมีแรงสะท้อนกลับกระทำต่อมือของผู้ดำเนินการ โดยผู้ดำเนินการทำการเลื่อนด้ามจับของแขนกลนำไปบนรางเลื่อน ส่งผลให้ตำแหน่งปลายแขนกลนำมีการเปลี่ยนแปลงไปตำแหน่งปลายแขนกลนำดังกล่าว ซึ่งก็คือตำแหน่งที่ต้องการให้ดอกกักเคลื่อนที่ไป (เส้นประสีดำ) ตำแหน่งที่ต้องการให้ดอกกักเคลื่อนที่ (เส้นประสีดำ) เปลี่ยนแปลงไปจากจุดเริ่มต้นในทิศทาง  $-Xw$  เป็นระยะทาง 30 มิลลิเมตรจนกระทั่งเวลาผ่านไป 5 วินาที ตำแหน่งที่ต้องการจึงมีค่าคงที่ ตำแหน่งที่ต้องการให้ดอกกักเคลื่อนที่ (เส้นประสีดำ) จะมีค่าใกล้เคียงกับตำแหน่งอ้างอิงของดอกกัก (เส้นทึบสีเทา) เมื่อเวลาผ่านไปเกินกว่า 6 วินาที ในที่นี้จะแสดงเฉพาะตำแหน่งอ้างอิง (เส้นทึบสีเทา) ของดอกกักเท่านั้น ณ เวลา 6 วินาทีนับจากเวลาเริ่มกัก ผู้วิจัยได้เริ่มทำการปรับตำแหน่งของดอกกักที่ต้องการในทิศทาง  $-Yw$  เป็นระยะทาง 2 มิลลิเมตร โดยการกำหนดตำแหน่งผ่านระบบควบคุม เมื่อดอกกักหยุดการเคลื่อนที่

ในแนวแกน Yw จึงทำการเปลี่ยนแปลงตำแหน่งที่ต้องการในแนวแกน Xw ด้วยการทำงานแบบ มาสเตอร์-สเลฟ เป็นระยะทาง 30 มิลลิเมตร เมื่อสิ้นสุดการเคลื่อนที่ของดอกกัทด้วยการทำงานแบบ มาสเตอร์-สเลฟ ผู้วิจัยได้เลื่อนตำแหน่งของดอกกัทที่ต้องการในทิศทาง  $-Yw$  เป็นระยะทาง 2 มิลลิเมตร แล้วจึงเคลื่อนดอกกัทด้วยการทำงานแบบ มาสเตอร์-สเลฟ ในทิศทาง  $-Xw$  เป็นระยะทาง 30 มิลลิเมตร จนกระทั่งสิ้นสุดการทำงานในระยะเวลาประมาณ 28 วินาที

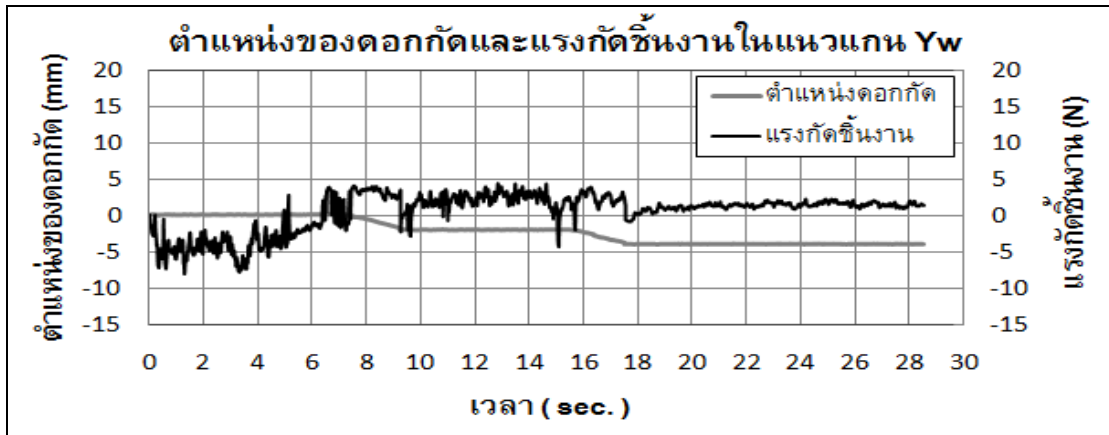
รูปที่ 4.35 แสดงตำแหน่งของดอกกัทที่วัดได้ (สเกลแกนตั้งด้านซ้ายมือ) และแรงกัทขึ้นงานในแนวแกน Xw (สเกลแกนตั้งด้านขวามือ) เทียบกับเวลา ผลการทดลองพบว่า การเคลื่อนที่ของดอกกัท ทำให้เกิดแรงกัทขึ้นงานในทิศทางตรงข้าม แรงกัทขึ้นงานมีค่าสูงสุดประมาณ 10 นิวตัน เมื่อดอกกัทเคลื่อนที่กัทเซาะขึ้นงานเป็นร่องแนวเส้นตรงในช่วงเวลาประมาณ 0-6 วินาที แรงกัทขึ้นงานในช่วงเวลาอื่นๆ จะมีขนาดไม่เกิน 5 นิวตัน แรงกัทมีลักษณะเช่นนี้ กล่าวคือในช่วงแรกมีขนาดประมาณ 10 นิวตัน และช่วงเวล่อื่นมีขนาดไม่เกิน 5 นิวตัน ทั้งนี้เป็นเพราะในการกัทเป็นหลุม (pocket) ในช่วงแรกเมื่อเริ่มกัทในทิศทาง Xw คมมีดจะกัทเข้าเนื้อขึ้นงานทั้งสองด้าน (ด้านที่ขนานกับทิศทาง Xw) ในขณะที่ช่วงเวล่อื่น คมมีดจะกัทเข้าเนื้อขึ้นงานเพียงด้านเดียว ดังนั้นแรงที่วัดได้ในช่วงแรกจึงสูงกว่าในช่วงเวลาอื่น การเคลื่อนที่ในแนวแกน Xw ในลักษณะเช่นเดียวกับการทดลองโดยการกำหนดค่าผ่านระบบควบคุม (ดังรูปที่ 4.31)



รูปที่ 4.35 ตำแหน่งของดอกกัทและแรงกัทขึ้นงานในแนวแกน Xw เมื่อกัทขึ้นงานเป็นหลุม (เคลื่อนดอกกัทแบบมาสเตอร์-สเลฟในแนวแกน Xw)

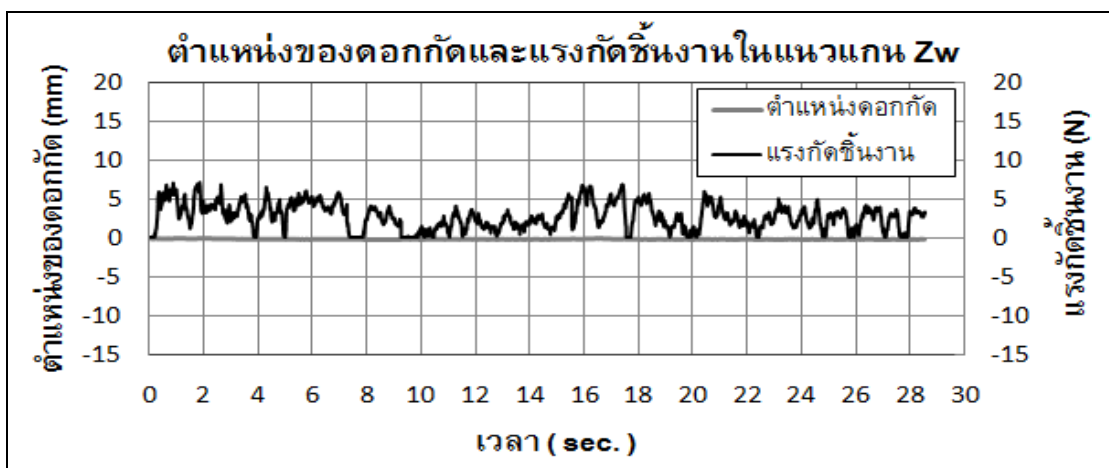
รูปที่ 4.36 แสดงตำแหน่งของดอกกัทที่วัดได้ (สเกลแกนตั้งด้านซ้ายมือ) และแรงกัทขึ้นงานในแนวแกน Yw (สเกลแกนตั้งด้านขวามือ) เทียบกับเวลา แรงกัทขึ้นงาน (เส้นทึบสีดำ) มีค่าสูงที่สุดในช่วงเวลา 0-4 วินาที ซึ่งเกิดขึ้นขณะที่ดอกกัทเคลื่อนที่กัทเซาะขึ้นงานเป็นร่อง

เส้นตรงในแนวแกน Xw แรงกักขึ้นงาน (เส้นที่บสีดำ) ในช่วงเวลาอื่นๆ มีค่าต่ำกว่า 5 นิวตัน และมีทิศทางในลักษณะเช่นเดียวกับการทดลองโดยการกำหนดการเคลื่อนที่ผ่านระบบควบคุม (ดังรูปที่ 4.32)



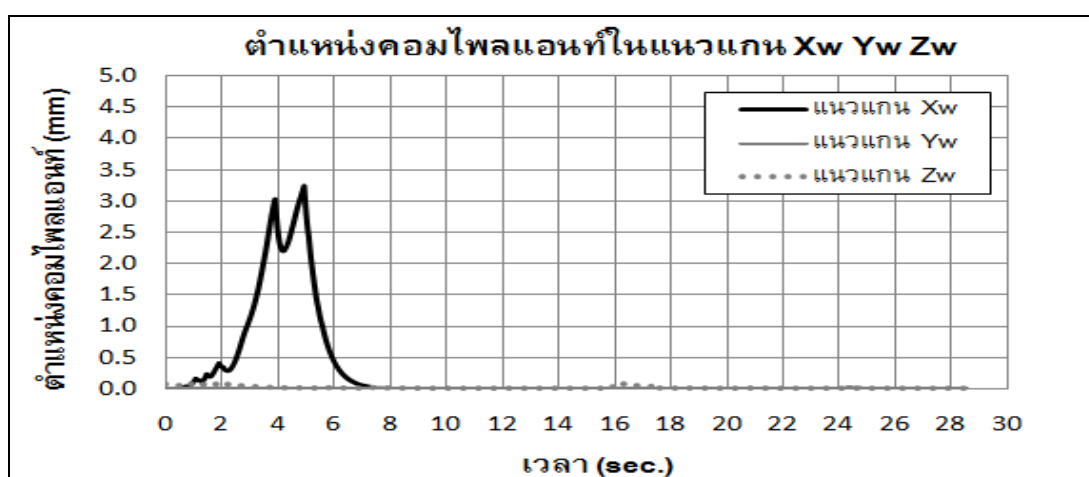
รูปที่ 4.36 ตำแหน่งของดอกกัดและแรงกักขึ้นงานในแนวแกน Yw เมื่อกักขึ้นงานเป็นหลุม (เคลื่อนดอกกัดแบบมาสเตอร์-สเลฟในแนวแกน Xw)

รูปที่ 4.37 แสดงตำแหน่งของดอกกัดที่วัดได้ (สเกลแกนตั้งด้านซ้ายมือ) และแรงกักขึ้นงานในแนวแกน Zw (สเกลแกนตั้งด้านขวามือ) เทียบกับเวลา ตำแหน่งของดอกกัดในแนวแกน Zw (เส้นที่บสีเทา) มีค่าใกล้เคียงกับตำแหน่งเริ่มต้นตลอดเวลาการทำงาน แรงกักขึ้นงานมีค่าเปลี่ยนแปลงระหว่าง 0-7 นิวตัน การเปลี่ยนแปลงค่าเกิดขึ้นบ่อยครั้งเมื่อเปรียบเทียบกับ การทดลองโดยการกำหนดการเคลื่อนที่ผ่านระบบควบคุม (ดังรูปที่ 4.33)



รูปที่ 4.37 ตำแหน่งของดอกกัดและแรงกักขึ้นงานในแนวแกน Zw เมื่อกักขึ้นงานเป็นหลุม (เคลื่อนดอกกัดแบบมาสเตอร์-สเลฟในแนวแกน Xw)

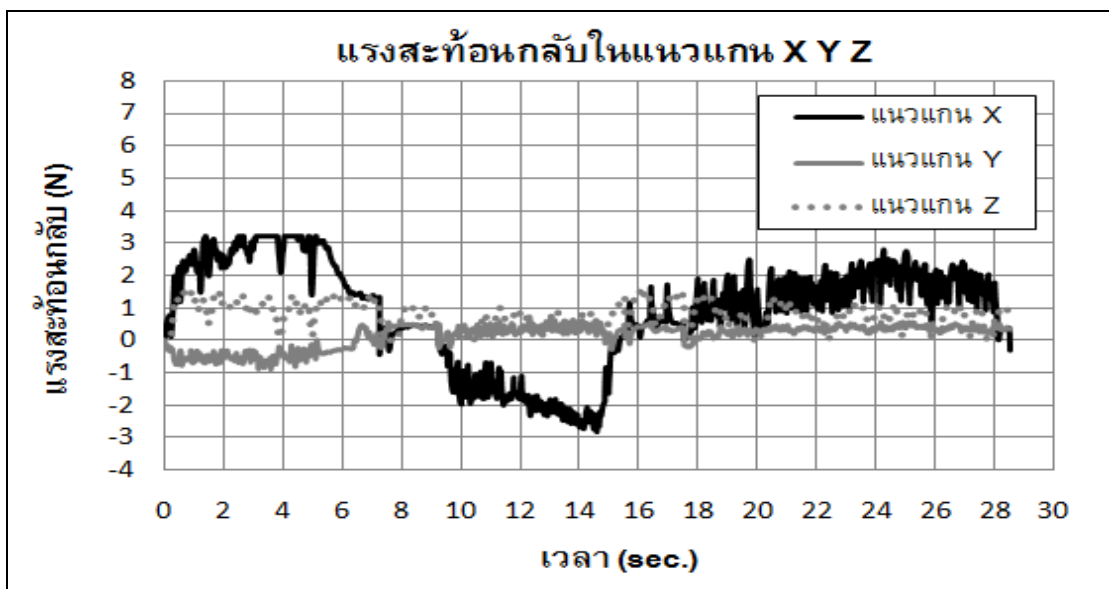
รูปที่ 4.38 แสดงตำแหน่งคอมโพสเมนต์ที่เกิดขึ้นในแนวแกน Xw, Yw และ Zw เมื่อดอกกัทเคลื่อนที่กัทเซาะชิ้นงานด้วยระบบการทำงานแบบมาสเตอร์-สเลฟดังกล่าวมาข้างต้น ตำแหน่งคอมโพสเมนต์ในแต่ละแนวแกนคือ ผลต่างระหว่างค่าตำแหน่งอ้างอิงและค่าที่ต้องการ เช่น ค่าตำแหน่งคอมโพสเมนต์ในแนวแกน Xw คือ ผลต่างระหว่างตำแหน่งอ้างอิงของดอกกัท ( $X_{wr}$ ) และตำแหน่งที่ต้องการให้ดอกกัทเคลื่อนที่ไป ( $X_{wd}$ ) ดังแสดงในรูปที่ 4.34 และเราสามารถหาผลต่างดังกล่าวมีค่าสูงสุดที่ประมาณ 3.2 มิลลิเมตร ตามแนวแกน Xw จากรูปที่ 4.38 จะเห็นว่าเมื่อนำค่าคอมโพสเมนต์ในแต่ละแนวแกนมาเปรียบเทียบพบว่า ค่าคอมโพสเมนต์ในแนวแกน Xw (เส้นทึบสีดำ) มีค่าสูงสุด ระบบควบคุมแรงได้พยายามควบคุมแรงกัท ในแนวแกน Xw ให้มีค่าใกล้เคียงกับค่าแรงกัทที่กำหนดไว้ การควบคุมแรงกัท ในแนวแกน Zw ทำให้ตำแหน่งคอมโพสเมนต์เปลี่ยนแปลงไปเล็กน้อยโดยมีค่าประมาณ 0.1 มิลลิเมตร ในขณะเวลาประมาณ 2 วินาที และ 16 วินาที การเปลี่ยนแปลงตำแหน่งคอมโพสเมนต์ดังกล่าวมีค่าน้อยมากเมื่อเปรียบเทียบกับความลึกในการกัทชิ้นงาน (ความลึกในการกัทชิ้นงาน 2 มิลลิเมตร) จึงไม่ส่งผลต่อการกัทชิ้นงาน



รูปที่ 4.38 ตำแหน่งคอมโพสเมนต์ในแนวแกน Xw Yw และ Zw เมื่อกัทชิ้นงานเป็นหลุม (เคลื่อนดอกกัทแบบมาสเตอร์-สเลฟในแนวแกน Xw)

รูปที่ 4.39 แสดงค่าแรงสะท้อนกลับที่กระทำกับมือของผู้ดำเนินการในแนวแกน X Y และ Z ในขณะที่ผู้ดำเนินการใช้มือเลื่อนด้ามจับแขนกลนำเพื่อทำให้ดอกกัทเคลื่อนที่กัทเซาะชิ้นงานด้วยระบบการทำงานแบบมาสเตอร์-สเลฟ แรงสะท้อนกลับดังกล่าวเกิดขึ้นในทิศทางตรงข้ามกับการเคลื่อนด้ามจับของผู้ดำเนินการ แรงสะท้อนกลับสร้างขึ้นได้โดยอาศัยค่าอ้างอิงจากแรงกัทชิ้นงานที่วัดได้ในแต่ละแนวแกน แรงสะท้อนกลับในแนวแกน X (เส้นทึบสีดำ) มีค่าประมาณร้อยละ 40 ของแรงกัทชิ้นงานในแนวแกน Xw (มีค่าไม่เกิน 3.2 N เนื่องจากการกำหนดค่าสูงสุดไว้ในระบบควบคุม) แต่ในกรณีที่ดอกกัทสัมผัสกับผิวชิ้นงานเพียงด้านเดียว (เฉพาะพื้นผิวในทิศทาง  $-Yw$ ) พบว่าแรงกัทชิ้นงานที่วัดได้ในแนวแกน Xw (ดังรูปที่ 4.35) มีค่า

ต่ำกว่าค่าแรงกัตที่กำหนดไว้ ส่งผลให้แรงสะท้อนกลับที่สร้างขึ้นมีค่าต่ำ (ในที่นี้มีค่าประมาณ 1 นิวตัน) ผู้ดำเนินการอาจไม่สามารถรับรู้แรงสะท้อนกลับได้ การทดลองนี้จึงได้ทำการปรับเพิ่มขนาดของแรงสะท้อนกลับโดยอาศัยค่าความเร็วในการเลื่อนด้ามจับของผู้ดำเนินการมาใช้เป็นค่าอ้างอิง การทดลองกำหนดให้ขนาดของแรงสะท้อนกลับที่ปรับเพิ่มขึ้น มีค่าเป็นร้อยละ 10 ของความเร็วการเลื่อนด้ามจับของผู้ดำเนินการ การปรับเพิ่มขนาดของแรงสะท้อนกลับดังกล่าว ส่งผลให้ผู้ดำเนินการจะรู้สึกถึงแรงสะท้อนกลับได้ดีขึ้น แรงสะท้อนกลับในแนวแกน X (เส้นทึบสีดำ) ในช่วงเวลาประมาณ 10-15 วินาที และช่วงเวลาประมาณ 18-28 วินาที มีการปรับเพิ่มขนาดของแรงสะท้อนกลับดังกล่าว ส่งผลให้ขนาดของแรงสะท้อนกลับสูงสุดที่กระทำกับมือของผู้ดำเนินการมีค่าเกินกว่า 2 นิวตัน แรงสะท้อนกลับดังกล่าวยังคงมีทิศทางตรงข้ามกับทิศทาง การเลื่อนด้ามจับของผู้ดำเนินการและทิศทาง การเคลื่อนที่ของดอกกัตชิ้นงาน แรงสะท้อนกลับในแนวแกน Y (เส้นทึบสีเทา) กำหนดให้มีค่าเป็นร้อยละ 10 ของแรงกัตชิ้นงานในแนวแกน Yw เนื่องจากแนวแกน Yw ไม่ได้เป็นทิศทางหลักในการทดลองการเคลื่อนที่ของดอกกัต แรงสะท้อนกลับในแนวแกน Zw (จุดสีเทา) แสดงค่าเป็นบวกโดยมีค่าประมาณร้อยละ 20 ของแรงกัตชิ้นงานที่วัดค่าได้ (มีค่าไม่เกิน 1.2 นิวตันเนื่องจากการกำหนดค่าสูงสุดไว้ในระบบควบคุม) แรงกัตชิ้นงานทั้งแนวแกน X Y และ Z สามารถปรับขนาดตามสัดส่วนของแรงกัตชิ้นงานได้เพื่อให้เกิดความเหมาะสมมากขึ้น โดยมีทิศทางของแรงสะท้อนกลับกระทำต่อมือของผู้ดำเนินการดังกล่าวมาข้างต้น



รูปที่ 4.39 แรงสะท้อนกลับต่อมือผู้ดำเนินการแนวแกน X Y และ Z เมื่อกัตชิ้นงานเป็นหลุม (เคลื่อนดอกกัตแบบมาสเตอร์-สเลฟในแนวแกน Xw)



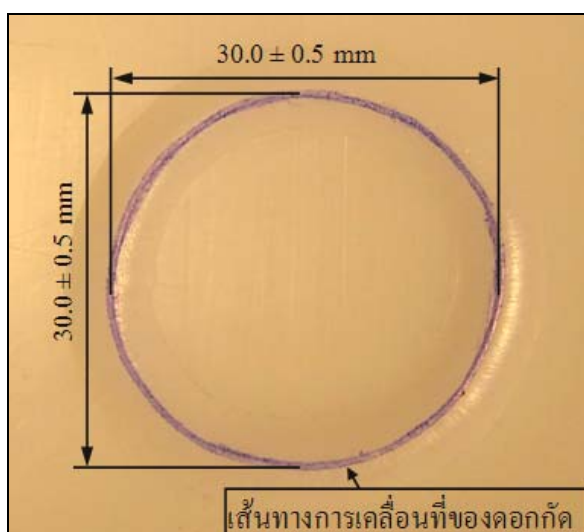
การทดลองนี้ได้นำเสนอการควบคุมแรงกัตซึ้นงานในแนวแกน Xw และ Zw ในขณะที่ดอกกัตมีการเคลื่อนที่กัตซึ้นงานด้วยการทำงานแบบมาสเตอร์-สเลฟ เฉพาะในแนวแกน Xw พบว่าแรงกัตซึ้นงานในขณะที่ดอกกัตมีการกัตเซาะซึ้นงานเป็นร่องแนวเส้นตรงมีค่าสูงที่สุด ระบบควบคุมแรงกัตซึ้นงานสามารถทำการควบคุมแรงให้มีค่าอยู่ระหว่าง 5-10 นิวตันได้ แรงกัตซึ้นงานดังกล่าวสามารถนำมาใช้เป็นค่าอ้างอิงสำหรับสร้างแรงสะท้อนกลับที่กระทำต่อมือของผู้ดำเนินการได้ แรงสะท้อนกลับเกิดขึ้นในทิศทางตรงข้ามกับการเคลื่อนมือของผู้ดำเนินการ ความเร็วในการเคลื่อนมือของผู้ดำเนินการสามารถนำมาใช้เป็นค่าอ้างอิงในการปรับเพิ่มแรงสะท้อนกลับ ในกรณีที่แรงกัตซึ้นงานในทิศทางเคลื่อนมือของผู้ดำเนินการมีค่าต่ำ การปรับเพิ่มค่าแรงสะท้อนกลับทำให้ผู้ดำเนินการรับรู้แรงสะท้อนกลับได้ดีขึ้น

#### 4.4 ทดลองกัดชิ้นงานเป็นวงกลม

การทดลองกัดชิ้นงานเป็นวงกลม ก็เพื่อต้องการศึกษาการควบคุมแรงกัดและตำแหน่งของดอกกัดในขณะที่ดอกกัดเคลื่อนที่กัดเซาะชิ้นงานด้วยระบบการทำงานแบบมาสเตอร์-สเลฟ ในแนวแกน Xw และ Yw โดยในขณะที่ทำการกัดชิ้นงาน แขนกลนำได้มีการสร้างแรงสะท้อนกลับกระทำต่อมือของผู้ดำเนินการ การสร้างแรงสะท้อนกลับอาศัยค่าอ้างอิงจากแรงกัดชิ้นงานที่วัดค่าได้ แรงกัดชิ้นงานควรมีขนาดและทิศทางที่เหมาะสมกับทิศทางการเคลื่อนที่ของดอกกัด

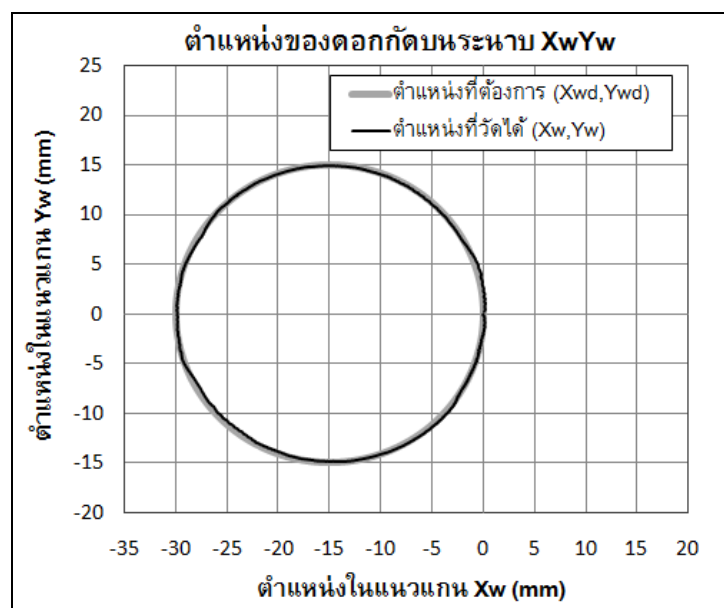
ในเบื้องต้นผู้วิจัยต้องการตรวจสอบทิศทางของแรงกัดที่เกิดขึ้นเมื่อดอกกัดมีการเคลื่อนที่ในแนวแกน Xw และ Yw เป็นลักษณะวงกลม จึงได้ทำการทดลองกำหนดค่าตำแหน่งที่ต้องการให้ดอกกัดเคลื่อนที่เป็นลักษณะวงกลมผ่านระบบควบคุมการเคลื่อนที่ การทดลองนี้กำหนดให้ดอกกัดเคลื่อนที่ด้วยความเร็วในการกัด (feed rate) 4 มิลลิเมตรต่อวินาที เป็นเส้นทางวงกลมซึ่งมีขนาดเส้นผ่านศูนย์กลาง 30 มิลลิเมตร บนระนาบ XwYw และมีความลึกในการกัด 2 มิลลิเมตร

รูปที่ 4.40 แสดงชิ้นงานวัสดุ PE (Polyethylene) ที่ได้จากการกัดโดยการกำหนดตำแหน่งการเคลื่อนที่ของดอกกัดเป็นเส้นทางวงกลมผ่านระบบควบคุมการเคลื่อนที่ ในที่นี้ผู้วิจัยได้ใช้ปากกาเขียนเส้นลงบนชิ้นงานที่ได้จากการกัด เพื่อแสดงลักษณะของชิ้นงานให้ชัดเจนมากขึ้น เมื่อตรวจสอบระยะห่างสูงสุดของเส้นทางการเคลื่อนที่ดังกล่าวในแนวแกน Xw และ Yw พบว่ามีค่าประมาณ 30 มิลลิเมตร และ 29.5 มิลลิเมตร ตามลำดับ ค่าที่ได้จากการประมาณดังกล่าวมีความสอดคล้องกับขนาดเส้นผ่านศูนย์กลางของเส้นทางวงกลมที่ต้องการคือ 30 มิลลิเมตร



รูปที่ 4.40 ชิ้นงานที่ได้จากการกัดเป็นวงกลม (ความลึก 2 มิลลิเมตร)

รูปที่ 4.41 แสดงตำแหน่งของดอกกัทที่วัดได้ ในขณะที่ทำการกัทชิ้นงานเปรียบเทียบกับตำแหน่งของดอกกัทที่ต้องการ โดยตำแหน่งของดอกกัทที่ต้องการนี้จะเริ่มต้นในขณะที่ตำแหน่งในแนวแกน  $X_w$  และ  $Y_w$  มีค่าเป็นศูนย์ ( $X_w=0, Y_w=0$ ) และตำแหน่งของดอกกัทที่ต้องการจะเริ่มเคลื่อนไปในทิศทาง  $-X_w$  และ  $-Y_w$  เพื่อทำให้เกิดการเคลื่อนที่ไปตามลักษณะของเส้นรอบวงกลมขนาดเส้นผ่านศูนย์กลาง 30 มิลลิเมตรจนกระทั่งกลับมาบรรจบกับตำแหน่งเริ่มต้น ( $X_w=0, Y_w=0$ ) อีกครั้ง จากรูปที่ 4.41 เป็นผลการทดลองซึ่งแสดงว่าตำแหน่งการเคลื่อนที่ของดอกกัทที่วัดได้มีค่าใกล้เคียงกับตำแหน่งที่ต้องการ ในขณะที่เส้นทางการเคลื่อนที่มีลักษณะเป็นวงกลม

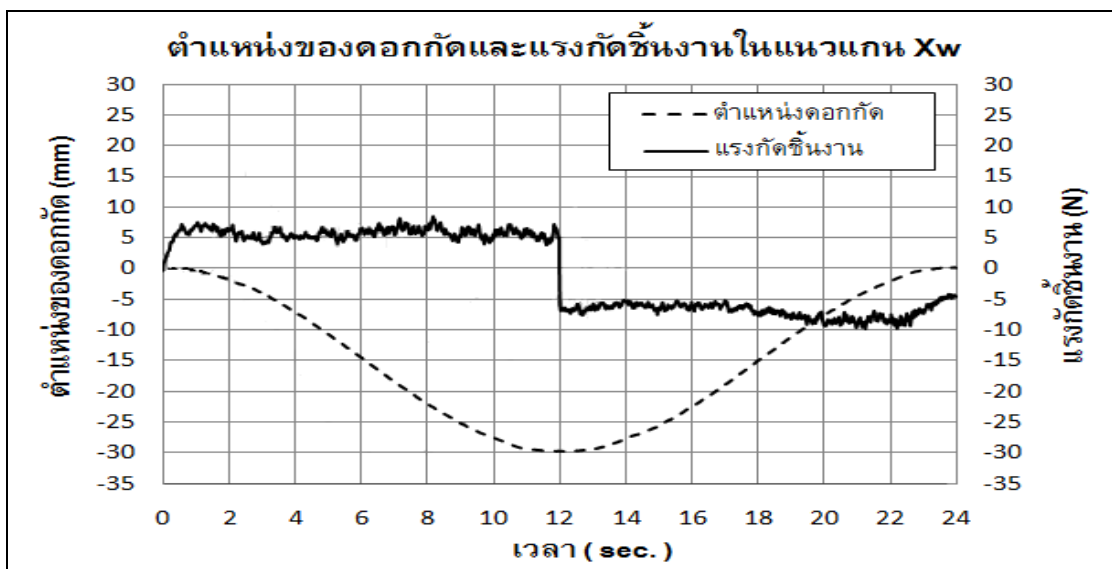


รูปที่ 4.41 ตำแหน่งของดอกกัทบนระนาบ  $X_w Y_w$  เมื่อทำการกัทชิ้นงานเป็นวงกลม

รูปที่ 4.42-4.44 แสดงตำแหน่งของดอกกัทที่วัดค่าได้เมื่อต้องการให้ดอกกัทมีการเคลื่อนที่เป็นลักษณะวงกลมและลักษณะของแรงกัทชิ้นงานที่วัดค่าได้จากอุปกรณ์ตรวจรู้แรงในแนวแกน  $X_w$   $Y_w$  และ  $Z_w$  เทียบกับเวลา ในที่นี้ผู้วิจัยต้องการให้ดอกกัทมีความลึกในการกัทชิ้นงานคือ 2 มิลลิเมตร โดยการกำหนดค่าผ่านระบบควบคุมก่อนเริ่มต้นการทดลอง ดังนั้นในขณะที่เวลาเริ่มต้นกัท (0 วินาที) ดอกกัทชิ้นงานจะมีความลึกที่ต้องการจากผิวหน้าของชิ้นงานคือ 2 มิลลิเมตร ในที่นี้จะแสดงตำแหน่งเริ่มต้นในแนวแกน  $Z_w$  คือ 0 มิลลิเมตร เพื่อความสะดวกในการแสดงตำแหน่งของดอกกัทที่วัดค่าได้ ตำแหน่งของดอกกัทในขณะเริ่มต้นการทดลองจึงแสดงค่าเป็นศูนย์ ( $X_w=0, Y_w=0, Z_w=0$ )

รูปที่ 4.42 แสดงตำแหน่งของดอกกัทที่วัดได้ (สเกลแกนตั้งด้านซ้ายมือ) และแรงกัทชิ้นงาน (สเกลแกนตั้งด้านขวามือ) ในแนวแกน  $X_w$  เทียบกับเวลา เมื่อเริ่มต้นการกัทชิ้นงาน ตำแหน่งของดอกกัทที่วัดได้จะเปลี่ยนแปลงตำแหน่งหรือเคลื่อนที่ไปในทิศทาง  $-X_w$  (แสดงค่า

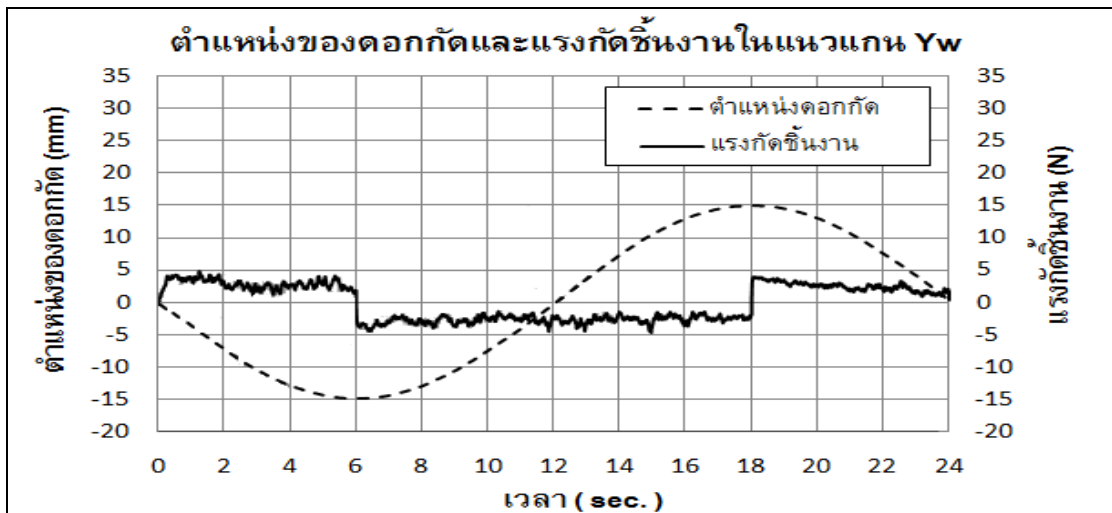
เป็นลบ) จนกระทั่งที่เวลาประมาณ 12 วินาทีจึงได้มีการปรับทิศทางการเคลื่อนที่เป็น  $X_w$  (แสดงค่าเป็นบวก) และสิ้นสุดการเคลื่อนที่ที่เวลาประมาณ 24 วินาที การเคลื่อนที่ของดอกกัทในขณะที่ทำการกัทเซาะเนื้อชิ้นงานนั้นเราสามารถตรวจวัดแรงกัทได้ด้วยอุปกรณ์ตรวจสอบแรงที่ติดตั้งอยู่ที่ฐานของแท่นยึดจับชิ้นงาน แรงกัทชิ้นงานซึ่งตรวจวัดค่าได้นั้นมีขนาดอยู่ระหว่าง 5-10 นิวตัน โดยมีทิศทางตรงข้ามกับการเคลื่อนที่ของดอกกัทกล่าวคือ เมื่อดอกกัทเคลื่อนที่ในทิศทาง  $-X_w$  (แสดงค่าเป็นลบ) แรงกัทชิ้นงานจะเกิดขึ้นในทิศทาง  $X_w$  (แสดงค่าเป็นบวก) แต่เมื่อดอกกัทเคลื่อนที่ในทิศทาง  $X_w$  (แสดงค่าเป็นบวก) แรงกัทจะเกิดขึ้นในทิศทาง  $-X_w$  (แสดงค่าเป็นลบ) แรงกัทสามารถเปลี่ยนแปลงทิศทางได้อย่างรวดเร็วในขณะที่มีการเปลี่ยนแปลงทิศทางของดอกกัท ดังจะเห็นได้จากการเปลี่ยนแปลงแรงกัทในระยะเวลา 12 วินาที



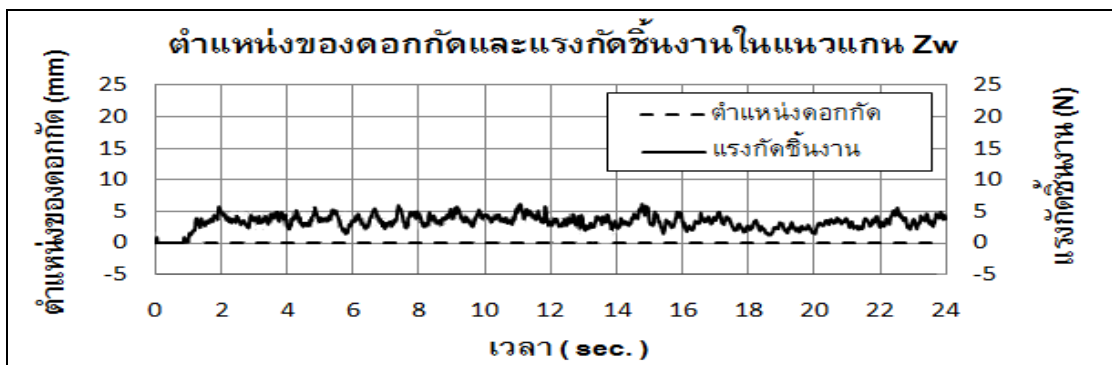
รูปที่ 4.42 ตำแหน่งและแรงกัทชิ้นงานในแนวแกน  $X_w$  เมื่อทำการกัทชิ้นงานเป็นวงกลม

รูปที่ 4.43 แสดงตำแหน่งของดอกกัทที่วัดได้และแรงกัทชิ้นงานในแนวแกน  $Y_w$  เทียบกับเวลา ตำแหน่งของดอกกัทที่วัดได้ (เส้นประสีดำ) มีค่าอยู่ระหว่าง -15 มิลลิเมตร และ 15 มิลลิเมตร การเปลี่ยนแปลงทิศทางของดอกกัทเกิดขึ้นช่วงเวลาประมาณ 6 วินาที และ 18 วินาที ส่งผลให้แรงกัทชิ้นงานมีการเปลี่ยนแปลงทิศทางด้วย แรงกัทชิ้นงาน (เส้นทึบสีดำ) เกิดขึ้นในทิศทางตรงข้ามกับทิศทางการเคลื่อนที่ของดอกกัท โดยมีขนาดแรงกัทชิ้นงานสูงสุดไม่เกิน 5 นิวตัน

รูปที่ 4.44 แสดงตำแหน่งของดอกกัทที่วัดได้ (สเกลแกนตั้งด้านซ้ายมือ) และแรงกัทชิ้นงาน (สเกลแกนตั้งด้านขวามือ) ในแนวแกน  $Z_w$  เทียบกับเวลา ตำแหน่งของดอกกัทที่วัดได้มีค่าใกล้เคียงกับตำแหน่งเริ่มต้น ( $Z_w=0$ ) ตลอดระยะเวลาการกัทชิ้นงาน แรงกัทชิ้นงาน (เส้นทึบสีดำ) มีค่าอยู่ระหว่าง 0-5 นิวตัน แรงกัทชิ้นงานมีค่าเป็นบวกแสดงว่าปลายดอกกัทมีการกดลงบนผิวชิ้นงาน



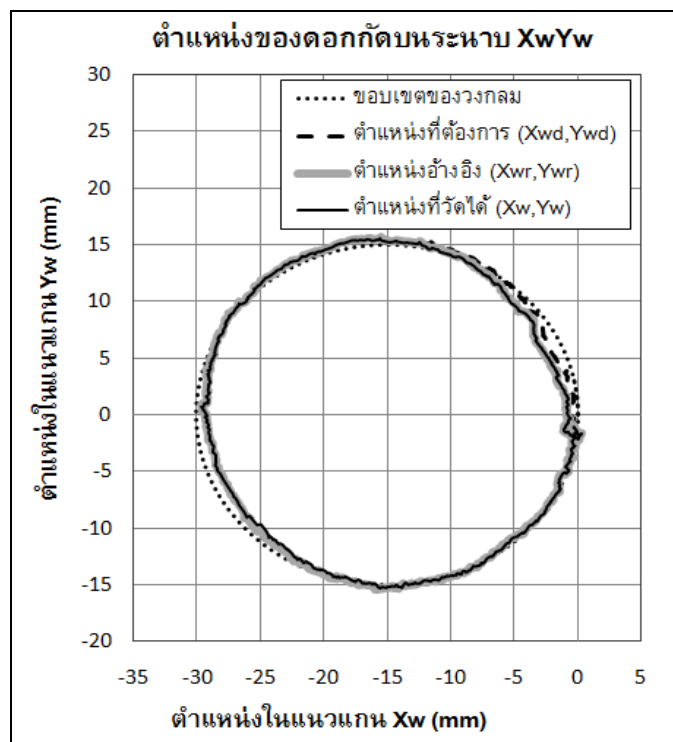
รูปที่ 4.43 ตำแหน่งและแรงกักขั้วงานในแนวแกน Yw เมื่อทำการกักขั้วงานเป็นวงกลม



รูปที่ 4.44 ตำแหน่งและแรงกักขั้วงานในแนวแกน Zw เมื่อทำการกักขั้วงานเป็นวงกลม

หลังจากที่ได้ทำการตรวจสอบขนาดและทิศทางของแรงกักในขณะกักขั้วงานเป็นวงกลมเรียบร้อยแล้ว ขั้นตอนถัดไปผู้วิจัยจะทำการควบคุมแรงกักและตำแหน่งของดอกกักในขณะที่ยอดเคลื่อนที่กักเซาะขั้วงานด้วยระบบการทำงานแบบมาสเตอร์-สเลฟโดยแขนกลนำได้มีการสร้างแรงสะท้อนกลับกระทำต่อมือของผู้ดำเนินการด้วย ในการทดลองนี้ ผู้ดำเนินการจะใช้มือจับตามจับของแขนกลนำเพื่อเลื่อนตำแหน่งปลายแขนกลนำไปตามขอบเขตของขั้วงานอ้างอิงที่มีลักษณะเป็นวงกลมขนาดเส้นผ่านศูนย์กลาง 35 มิลลิเมตร แต่เนื่องจากปลายแขนกลนำเป็นลูกเหล็กทรงกลมขนาดเส้นผ่านศูนย์กลาง 5 มิลลิเมตร ดังนั้นเมื่อทำการชดเชยขนาดของลูกเหล็กทรงกลมดังกล่าวส่งผลให้ขอบเขตอ้างอิงมีลักษณะเป็นวงกลมที่มีขนาดเส้นผ่านศูนย์กลาง 30 มิลลิเมตร การทดลองนี้กำหนดให้การเคลื่อนที่ของปลายแขนกลนำส่งผลต่อการเคลื่อนที่ของดอกกักเฉพาะในแนวแกน Xw และ Yw เท่านั้น ดังนั้นดอกกักจะเคลื่อนที่กักขั้วงานในแนวแกน Xw และ Yw โดยไม่มีการเปลี่ยนแปลงความลึกในการกัก การปรับค่าความลึกในการกักขั้วงานสามารถกำหนดได้โดย การกำหนดค่าผ่านระบบควบคุม

รูปที่ 4.45 แสดงตำแหน่งของดอกกัทับนระนาบ  $XwYw$  เมื่อกำหนดให้การกัดชิ้นงานที่มีความลึก 2 mm โดยการควบคุมการเคลื่อนที่ของดอกกัทด้วยวิธีการทำงานแบบมาสเตอร์-สเลฟเฉพาะในแนวแกน  $Xw$  และ  $Yw$  โดยการเคลื่อนที่ของปลายแขนกลนำที่เป็นลูกทรงกลมขนาดเส้นผ่านศูนย์กลาง 5 มิลลิเมตร ไปตามขอบของชิ้นงานอ้างอิงขนาดเส้นผ่านศูนย์กลาง 35 มิลลิเมตร ดอกกัทชิ้นงานจะเคลื่อนที่ไปตามตำแหน่งที่วัดค่าได้ที่ปลายแขนกลนำ เมื่อทำการชดเชยขนาดของปลายแขนกลนำแล้ว ปลายแขนกลนำควรเคลื่อนที่ไปตามขอบเขตของวงกลมอ้างอิงขนาดเส้นผ่านศูนย์กลาง 30 มิลลิเมตร (แสดงด้วยจุดสีดำ) แต่เนื่องจากเกิดความผิดพลาดในการวัดตำแหน่งของปลายแขนกลนำทำให้ตำแหน่งที่ต้องการ (เส้นประสีดำ) เกิดความแตกต่างจากขอบเขตวงกลมอ้างอิง (จุดสีดำ) ตำแหน่งที่ต้องการ (เส้นประสีดำ) จะมีค่าเท่ากับตำแหน่งอ้างอิง (เส้นทึบสีดำ) ได้เฉพาะในกรณีที่แรงกัดชิ้นงานที่วัดได้มีขนาดต่ำกว่าค่าแรงกัดที่กำหนดไว้หรือค่าแรงกัดที่ต้องการ ในการทดลองนี้ตำแหน่งที่ต้องการ (เส้นประสีดำ) ไม่ค่อยปรากฏให้เห็นเนื่องจากถูกบดบังหรือถูกทับด้วยค่าตำแหน่งอ้างอิง (เส้นทึบสีดำ) เป็นส่วนใหญ่ ตำแหน่งอ้างอิง (เส้นทึบสีดำ) เป็นตำแหน่งที่ดอกกัทชิ้นงานควรเคลื่อนที่ไปเพื่อทำการควบคุมแรงกัดชิ้นงาน การทดลองพบว่าตำแหน่งของดอกกัทที่วัดค่าได้ (เส้นทึบสีดำ) มีค่าใกล้เคียงกับตำแหน่งอ้างอิงของดอกกัท (เส้นทึบสีดำ) แสดงว่าระบบควบคุมการเคลื่อนที่ของดอกกัทสามารถทำงานได้เป็นอย่างดี

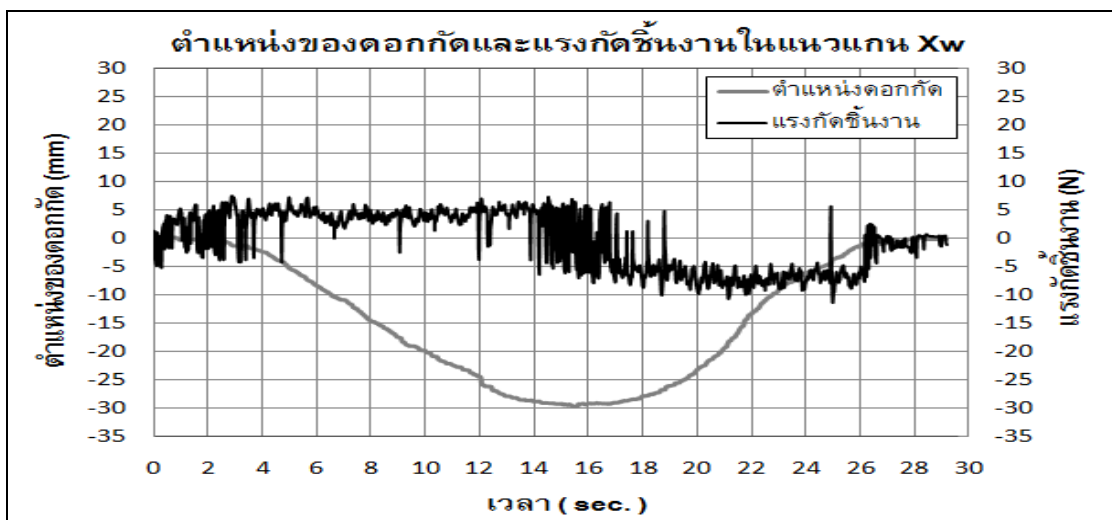


รูปที่ 4.45 ตำแหน่งของดอกกัทับนระนาบ  $XwYw$  เมื่อกัดชิ้นงานเป็นวงกลม (เคลื่อนดอกกัทแบบมาสเตอร์-สเลฟแนวระนาบ  $XwYw$ )

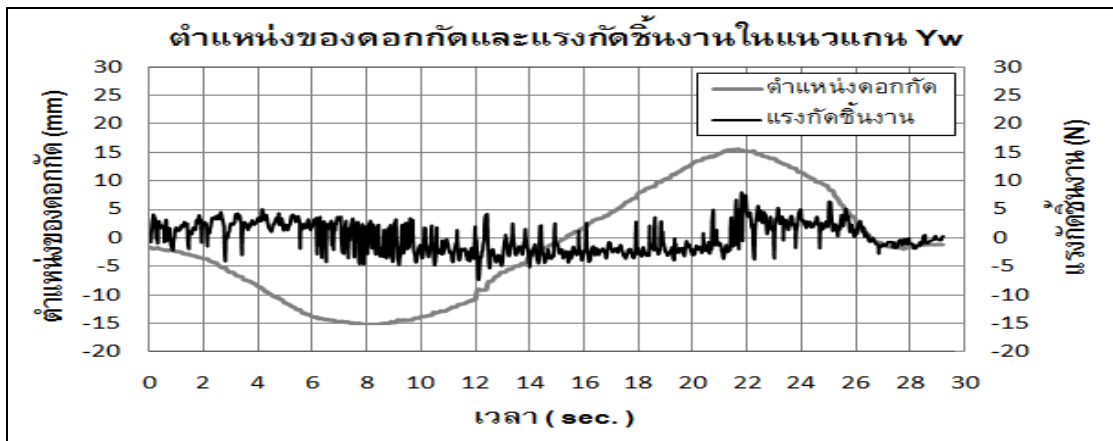
รูปที่ 4.46 แสดงตำแหน่งของดอกกัท (สเกลแกนตั้งด้านซ้ายมือ) และแรงกัทขึ้นงาน (สเกลแกนตั้งด้านขวามือ) ในแนวแกน Xw เทียบกับเวลา การทดลองพบว่าแรงกัทขึ้นงานที่วัดค่าได้ (เส้นที่บสีดำ) ส่วนใหญ่เกิดขึ้นในทิศทางตรงข้ามกับการเคลื่อนที่ของดอกกัท แรงกัทขึ้นงานบางส่วนเกิดการเปลี่ยนแปลงขึ้นลงอย่างรวดเร็วเนื่องจากการเปลี่ยนแปลงทิศทาง การเคลื่อนที่หรือหยุดการเคลื่อนที่ในช่วงระยะเวลาสั้นๆ เนื่องจากการเคลื่อนที่ของแขนกลนำเป็นการบังคับด้วยมือผู้ดำเนินการ ตัวอย่างเช่น ดอกกัทมีการเปลี่ยนแปลงทิศทาง การเคลื่อนที่ ในขณะเวลาประมาณ 16 วินาที ส่งผลให้แรงกัทขึ้นงานมีการเปลี่ยนแปลงทิศทางอย่างรวดเร็วระหว่างแรงกัท 6 นิวตัน และ -6 นิวตัน ผลการเปลี่ยนแปลงทิศทางของแรงกัทมีค่าลดลงเมื่อดอกกัทเคลื่อนที่อย่างต่อเนื่อง แรงกัทขึ้นงานมีค่าสูงสุดประมาณ 10 นิวตัน ในขณะที่ดอกกัทเคลื่อนที่ในทิศทาง Xw แสดงโดยการเปลี่ยนแปลงตำแหน่งของดอกกัท (เส้นที่บสีเทา) ในช่วงเวลาประมาณ 18-26 วินาที

รูปที่ 4.47 แสดงตำแหน่งของดอกกัท (สเกลแกนตั้งด้านซ้ายมือ) และแรงกัทขึ้นงาน (สเกลแกนตั้งด้านขวามือ) ในแนวแกน Yw เทียบกับเวลา การทดลองพบว่าแรงกัทขึ้นงาน (เส้นที่บสีดำ) มีทิศทางตรงข้ามกับการเปลี่ยนแปลงตำแหน่งการเคลื่อนที่ (เส้นที่บสีเทา) ตลอดระยะเวลาการดำเนินการ การสั่นขึ้นลงของแรงกัทเกิดขึ้นเมื่อมีการหยุดการเคลื่อนที่ที่เป็นช่วงๆ หรือการเปลี่ยนแปลงทิศทาง การเคลื่อนที่ในช่วงเวลาประมาณ 8 วินาที และ 22 วินาที แรงกัทมีขนาดสูงสุดประมาณ 7 นิวตัน

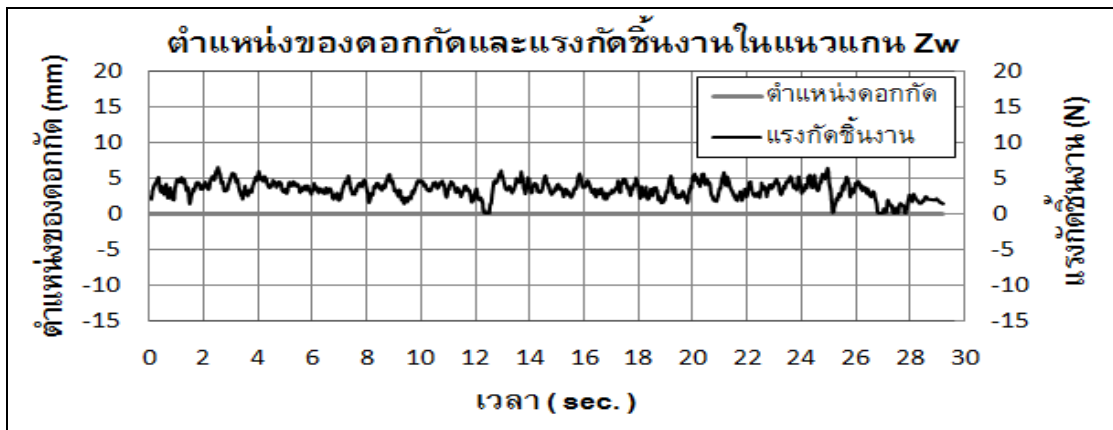
รูปที่ 4.48 แสดงตำแหน่งของดอกกัท (สเกลแกนตั้งด้านซ้ายมือ) และแรงกัทขึ้นงาน (สเกลแกนตั้งด้านขวามือ) ในแนวแกน Zw เทียบกับเวลา การทดลองพบว่าตำแหน่งของดอกกัทที่วัดได้ (เส้นที่บสีเทา) ไม่แสดงการเปลี่ยนแปลงไปจากค่าเริ่มต้น แรงกัทขึ้นงานมีค่าระหว่าง 0-6 นิวตัน ซึ่งมีค่าใกล้เคียงหรือเกินกว่าค่าที่กำหนดไว้เล็กน้อย (กำหนดขนาดแรงกัท 5 นิวตัน)



รูปที่ 4.46 ตำแหน่งของดอกกัทและแรงกัทขึ้นงานในแนวแกน Xw เมื่อกัทขึ้นงานเป็นวงกลม (เคลื่อนดอกกัทแบบมาสเตอร์-สเลฟแนวระนาบ XwYw)



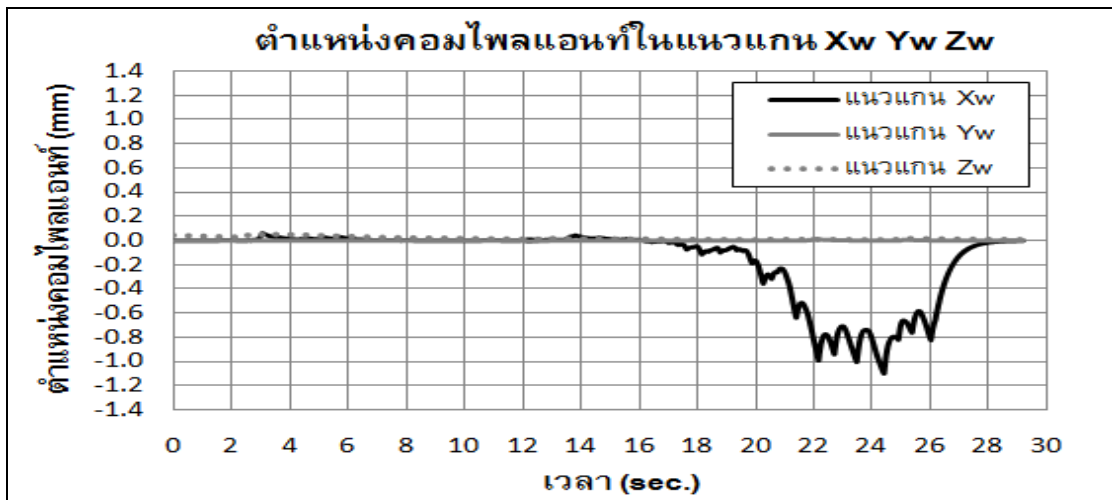
รูปที่ 4.47 ตำแหน่งของดอกกััดและแรงกััดซึ่่งงานในแนวแกน Yw เมื่อกััดซึ่่งงานเป็นวงกลม (เคลื่อนดอกกััดแบบมาสเตอร์-สเลฟแนวระนาบ XwYw)



รูปที่ 4.48 ตำแหน่งของดอกกััดและแรงกััดซึ่่งงานในแนวแกน Zw เมื่อกััดซึ่่งงานเป็นวงกลม (เคลื่อนดอกกััดแบบมาสเตอร์-สเลฟแนวระนาบ XwYw)

รูปที่ 4.49 แสดงตำแหน่งคอมไพลเอนท์ที่เกิดขึ้นในแนวแกน Xw Yw และ Zw ในขณะที่ดอกกััดเคลื่อนที่กััดซึ่่งงาน ผลการทดลองพบว่าดอกกััดมีการเปลี่ยนแปลงตำแหน่งคอมไพลเอนท์เฉพาะในแนวแกน Xw ตำแหน่งคอมไพลเอนท์มีขนาดสูงสุดประมาณ 1.1 มิลลิเมตร ตำแหน่งคอมไพลเอนท์มีค่ามากในช่วงเวลา 22-26 วินาที ซึ่งเป็นช่วงเวลาที่ดอกกััดมีการเปลี่ยนแปลงตำแหน่งเพิ่มขึ้นในแนวแกน Xw (ซึ่งเป็นไปในทำนองเดียวกับผลที่แสดงในรูปที่ 4.46) การเกิดตำแหน่งคอมไพลเอนท์ดังกล่าวหมายความว่าดอกกััดกำลังเคลื่อนที่ในทิศทาง Xw โดยมีการเคลื่อนที่ช้ากว่าตำแหน่งที่ต้องการ ระบบควบคุมแรงและระบบควบคุมตำแหน่งการเคลื่อนที่ของดอกกััดจะปรับตำแหน่งคอมไพลเอนท์จนมีค่าเป็นศูนย์ในช่วงเวลาประมาณ 28 วินาที การปรับค่าดังกล่าวใช้ระยะเวลาประมาณ 2 วินาที ซึ่งแสดงว่าตำแหน่งของดอกกััดมีค่าเท่ากับตำแหน่งที่ต้องการ



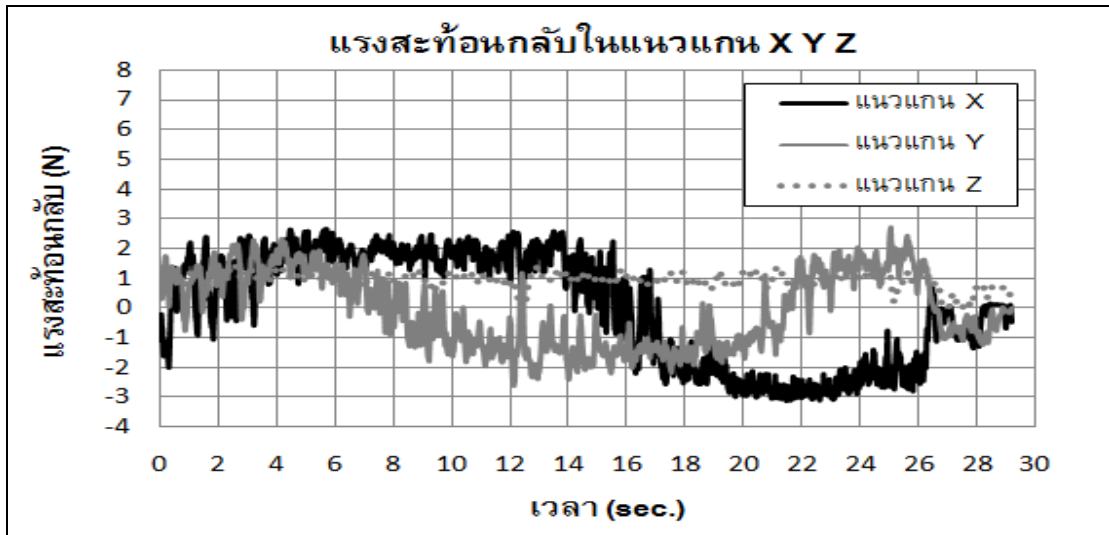


รูปที่ 4.49 ตำแหน่งคอมโพลแอนท์ในแนวแกน Xw Yw และ Zw เมื่อกััดขึ้นงานเป็นวงกลม (เคลื่อนตอกกััดแบบมาสเตอร์-สเลฟแนวระนาบ XwYw)

รูปที่ 4.50 แสดงค่าแรงสะท้อนกลับที่กระทำกับมือของผู้ดำเนินการในแนวแกน X Y และ Z ในขณะที่ตอกกััดมีการกััดเซาะขึ้นงานด้วยการทำงานแบบมาสเตอร์-สเลฟ โดยที่แรงสะท้อนกลับสร้างขึ้นได้จากแรงกััดที่วัดค่าได้ด้วยอุปกรณ์ตรวจรู้แรงในแนวแกน Xw Yw และ Zw การทดลองกำหนดให้แรงสะท้อนกลับในแนวแกน X และ Y มีค่าประมาณร้อยละ 40 ของแรงกััดขึ้นงานในแนวแกน Xw และ Yw ตามลำดับ แรงสะท้อนกลับจะกระทำกับมือของผู้ดำเนินการ ในทิศทางตรงข้ามกับการเคลื่อนที่ตลอดระยะเวลาในการกััดขึ้นงาน โดยมีค่าแรงสะท้อนกลับ ในแนวแกน X และ Y ไม่เกิน 3.2 นิวตัน (กำหนดค่าสูงสุดไว้ในระบบควบคุม) การกำหนดค่าแรงสะท้อนกลับสูงที่สุดเพื่อป้องกันไม่ให้เกิดแรงกระทำกับมือของผู้ดำเนินการ มากจนเกินไป ในที่นี้ขนาดของแรงสะท้อนกลับบนระนาบ XY ของแขนกลน่าจะมีค่าไม่เกิน 4.53 นิวตัน (แต่ละแนวแกนมีค่าไม่เกิน 3.2 นิวตัน) แรงสะท้อนกลับในแนวแกน Z มีค่าประมาณร้อยละ 20 ของแรงกััดขึ้นงานที่เกิดขึ้นในแนวแกน Zw แต่จะมีค่าไม่เกิน 1.2 นิวตัน (กำหนดค่าสูงสุดไว้ในระบบควบคุม) เพื่อป้องกันไม่ให้ปลายแขนกลนำเกิดการยกตัวขึ้นในขณะที่ผู้ดำเนินการเลื่อนตำแหน่งปลายแขนกลนำบนพื้นผิวของขึ้นงานอ้างอิง

การทดลองกััดขึ้นงานด้วยการเคลื่อนตอกกััดแบบมาสเตอร์-สเลฟในแนวแกน Xw และ Yw แสดงให้เห็นว่า ระบบควบคุมสามารถควบคุมแรงกััดขึ้นงานและตำแหน่งการเคลื่อนที่ของตอกกััดได้ดี แม้ว่าตอกกััดมีการเปลี่ยนแปลงตำแหน่งการเคลื่อนที่ทั้งในแนวแกน Xw และ Yw ตำแหน่งการเคลื่อนที่ของตอกกััดที่วัดได้มีค่าใกล้เคียงกับตำแหน่งอ้างอิงของตอกกััด (ดังแสดงในรูปที่ 4.45) ระบบควบคุมสามารถควบคุมขนาดแรงกััดให้มีค่าอยู่ในช่วง 5-7 นิวตันได้ (ดังแสดงในรูปที่ 4.46) นอกจากนี้การสร้างแรงสะท้อนกลับในแนวแกน X และ Y ส่งผลไปยังด้ามจับของผู้ดำเนินการ เนื่องจากมีทิศทางตรงข้ามกับการเคลื่อนที่ของตอกกััด แรงสะท้อนกลับดังกล่าวจะช่วยทำให้ผู้ดำเนินการมีความระมัดระวังและสามารถปรับลักษณะ

การเคลื่อนที่ของแขนกลนำได้ก่อนที่จะเกิดปัญหาขึ้นที่แขนกลตาม และพบว่าถ้าค่าแรงสะท้อนกลับมีค่าเกินกว่า 2 N แล้วจะก่อให้เกิดการรับรู้ข้อขัดข้องดีแก่ผู้ดำเนินการ



รูปที่ 4.50 แรงสะท้อนกลับต่อมือผู้ดำเนินการแนวแกน X Y และ Z เมื่อก๊ัดชิ้นงานเป็นวงกลม (เคลื่อนตอกก๊ัดแบบมาสเตอร์-สเลฟแนวระนาบ XwYw)

## บทที่ 5

### สรุปผลการวิจัยและข้อเสนอแนะ

งานวิจัยนี้ได้ทำการศึกษาการควบคุมแรงกัตและตำแหน่งของดอกกัตซึ่งติดตั้งไว้กับชุดหมุนหัวกัต (spindle) ของแขนกลลูกผสมแบบขนาน 5 แกน ตระกูล เอช-4 ในขณะที่ทำการกัตชิ้นงาน แรงกัตชิ้นงานที่เกิดขึ้นวัดค่าได้โดยอุปกรณ์ตรวจรู้แรงกัตซึ่งติดตั้งอยู่บนโต๊ะยึดจับชิ้นงาน ผลการทดลองเบื้องต้นแสดงว่าแรงกัตชิ้นงานจะมีค่าเพิ่มขึ้นตามการเพิ่มความเร็วการเคลื่อนที่ของดอกกัตและความลึกในการกัต การควบคุมแรงกัตที่เกิดขึ้นส่งผลให้ตำแหน่งของดอกกัตที่วัดค่าได้จริงเกิดการเปลี่ยนแปลงไปจากตำแหน่งที่กำหนดไว้ในโปรแกรมควบคุม จนกระทั่งแรงกัตที่วัดค่าได้มีค่าต่ำกว่าค่าแรงกัตที่กำหนดไว้ ตำแหน่งดอกกัตจะมีการปรับตัวจนมีค่าใกล้เคียงกับตำแหน่งที่กำหนดไว้ในโปรแกรมควบคุม ผลการทดลองแสดงถึงความสามารถในการควบคุมแรงกัตชิ้นงานและตำแหน่งของดอกกัตได้เป็นอย่างดี

การทดลองนี้กำหนดให้ดอกกัตสามารถเปลี่ยนแปลงตำแหน่งในการเคลื่อนที่ได้สองกรณี คือ กรณีกำหนดตำแหน่งการเคลื่อนที่ของดอกกัตผ่านระบบควบคุมและกรณีการเคลื่อนที่ด้วยระบบการทำงานแบบมาสเตอร์-สเลฟ การทดลองได้แสดงการศึกษาทิศทางของแรงกัตที่เกิดขึ้นจากการเคลื่อนดอกกัตโดยการกำหนดตำแหน่งการเคลื่อนที่ผ่านระบบควบคุมเป็นลักษณะเส้นตรงและวงกลม การทดลองกัตชิ้นงานตามเส้นทางวงกลมแนวระนาบแสดงให้เห็นว่าแรงกัตชิ้นงานที่เกิดขึ้นมีทิศทางตรงข้ามกับการเคลื่อนที่ของดอกกัตบนระนาบดังกล่าว แรงกัตที่เกิดขึ้นจึงมีความสัมพันธ์กับการเคลื่อนที่ของดอกกัตในขณะที่ทำการกัตชิ้นงาน เมื่อได้ทำการตรวจสอบลักษณะของแรงกัตที่เกิดขึ้นแล้วจึงได้ทำการศึกษาการควบคุมแรงกัตในกรณีที่ดอกกัตมีการเคลื่อนที่ด้วยระบบการทำงานแบบมาสเตอร์-สเลฟ โดยกำหนดให้แขนกลนำสามารถสร้างแรงสะท้อนกลับมากกระทำต่อมือของผู้ดำเนินการเพื่อให้ผู้ดำเนินการรู้สึกถึงแรงกระทำในขณะที่ทำการกัตชิ้นงาน การสร้างแรงสะท้อนกลับดังกล่าวเป็นการจำกัดความเร็วในการเลื่อนมือของผู้ดำเนินการและความเร็วในการเคลื่อนที่ของดอกกัตชิ้นงาน ดอกกัตชิ้นงานสามารถเคลื่อนที่ไปยังตำแหน่งอ้างอิงของดอกกัตที่คำนวณไว้ได้ในกรณีที่แรงกัตชิ้นงานมีค่าเกินกว่าค่าที่กำหนดไว้ในโปรแกรม ตำแหน่งของดอกกัตจะมีการปรับตัวจนมีค่าเท่ากับตำแหน่งปลายแขนกลนำ(ตำแหน่งที่ต้องการ) ในกรณีที่แรงกัตชิ้นงานมีค่าต่ำกว่าค่าที่กำหนดให้

การควบคุมแรงกัตในกรณีที่ดอกกัตมีการเคลื่อนที่แบบมาสเตอร์-สเลฟ ระบบควบคุมสามารถควบคุมแรงกัตให้มีค่าใกล้เคียงกับค่าที่ต้องการได้ ส่งผลให้การเคลื่อนที่ของดอกกัตในขณะที่ทำการกัตชิ้นงานมีค่าในช่วงที่กำหนดซึ่งเป็นผลดีต่อการสร้างชิ้นงานต่อไป

### ข้อเสนอแนะ

1. ควรทำการสอบเทียบตำแหน่งการเคลื่อนที่ทั้งในส่วนของแขนกลนำและแขนกลตามให้มีความแม่นยำมากขึ้นเพื่อให้สามารถกัดชิ้นงานที่มีความซับซ้อนได้ดีขึ้น
2. ควรปรับปรุงการสร้างแรงสะท้อนกลับกระทำต่อมือของผู้ดำเนินการให้เกิดความรู้สึกที่ดีมากขึ้น โดยอาจใช้วิธีการทดลองเพื่อหาแบบจำลองของแรงสะท้อนกลับและการเคลื่อนที่ระหว่างด้ามจับของแขนกลนำและมือของผู้ดำเนินการ
3. ควรศึกษาข้อมูลความสัมพันธ์ระหว่างแรงสะท้อนกลับที่มือของผู้ดำเนินการและแรงกัดชิ้นงานที่วัสดุแตกต่างกันออกไป เพื่อยังคงรักษาคุณภาพของผิวชิ้นงานในการกัดขึ้นรูป
4. เมื่อต้องการกัดชิ้นงานที่มีความซับซ้อน ควรทำการตรวจสอบตำแหน่งของดอกกัดและตำแหน่งที่ดอกกัดสัมผัสชิ้นงานเพื่อให้สามารถวิเคราะห์ทิศทางของแรงกัดได้ดียิ่งขึ้น นอกจากนี้ยังสามารถตรวจสอบเส้นทางเดินของดอกกัดที่เกิดขึ้นในขณะกัดชิ้นงานได้รวดเร็วขึ้น

## รายการอ้างอิง

- [1] Chiaverini, S., and Sciavicco, L. The Parallel Approach to Force/Position Control of Robot Manipulator. IEEE Transactions on Robotics and Automation 9, 4 (August 1993): 361-373.
- [2] Chiaverini, S., Siciliano, B., and Villani, L. Force/Position Regulation of Compliant Robot Manipulators. IEEE Transactions on Automatic Control 39, 4 (March 1994): 647-652.
- [3] Ferretti, G., Magnani, G., and Rocco, P. On the Stability of Integral Force Control in case of Contact with Stiff Surfaces. Journal of Dynamic Systems, Measurement and Control 117 (December 1995):547-553.
- [4] Chiaverini, S., Siciliano, B., and Villani, L. Force and Position Tracking: Parallel Control with Stiffness Adaptation. IEEE Control Systems (February 1998): 27-33.
- [5] Gasparetto, A., Vidoni, R., and Zanotto, V. DFORCE : Delayed Force ReferenCE Control for Master-Slave Robotic Systems, Mechatronics 19 (2009): 639-646.
- [6] Hyoung Il, S., Bhattacharjee, T.,and Lee, D.Y. Estimation of Environmental Force for the Haptic Interface of Robotic Surgery. The International Journal of Medical Robotics and Computer Assisted Surgery 6 (May 2010): 221-230.
- [7] Kuchenbecker, K.J., and Niemeyer, G. Induced Master Motion in Force-Reflecting Teleoperation, ASME Journal of Dynamic Systems and Controls 128, 4 (2006): 800-810.
- [8] Ibeas, A., and Sen, M. Robustly Stable Adaptive Control of a Tandem of Master-Slave Robotic Manipulators with Force Reflection by Using a Multiestimation Scheme. IEEE Transaction on Systems, Man, and Cybernetics-Part B 36, 5(October 2006): 1162-1179.
- [9] Malysz, P., and Sirouspour, S. Nonlinear and Filtered Force/Position Mappings in Bilateral Teleoperation with Application to Enhanced Stiffness Discrimination IEEE Transaction on Robotics 25, 5(October 2009):1134-1149.

- [10] Hosseini-Suny, K., Momeni H., and Janabi-Sharifi, F. Model Reference Adaptive Control Design for a Teleoperation System with Output Prediction. Journal of Intelligent Robotic System 59 (2010): 319-339.
- [11] Chui, K.L, Chiu, W.K., and Yu, K.M. Direct 5-Axis Tool-Path Generation from Point Cloud Input Using 3D Biarc Fitting. Robotics and Computer-Integrated Manufacturing 24 (2008): 270-286.
- [12] Teng, Z., Feng, H.Y., and Azzem, A. Generating Efficient Tool Paths from Point Cloud Data via Machining Area Segmentation. International Journal of Advance Manufacturing Technology 30 (2006): 254-260.
- [13] Makki, M., Tournier, C., Thiebaut, F., Lartique C., and Souzani, C. 5-Axis Direct Machining of Rough Clouds of Points. Computer-Aided Design and Applications 7, 4(2010): 591-600.
- [14] Yang, P., Schmidt, T., and Qian, X. Direct Digital Design and Manufacturing from Massive Point-Cloud Data. Computer-Aided Design and Applications 6 (2009): 685-699.
- [15] Altintas, Y., and Lee, P., Mechanics and Dynamics of Ball End Milling. Journal of Manufacturing Science and Engineering 120 (November 1998): 684-692.
- [16] Lazoglu, I., Sculpture Surface Machining : a Generalized Model of Ball-End Milling Force System. International Journal of Machine Tools & Manufacture 43 (2003): 453-462.
- [17] Fussell, B.K., Jerard, R.B., and Hemmett, J.G. Modeling of Cutting Geometry and Forces for 5-Axis Sculptured Surface Machining, Computer-Aided Design 35 (2003): 333-346.
- [18] Lamikiz, A., Lopez de Lacalle, L.N., Sanchez, J.A. and Salgado, M.A. Cutting Force Estimation in Sculptured Surface Milling. International Journal of Machine Tools & Manufacture 44 (2004): 1511-1526.
- [19] Milfelner M., Kopac, J., Cus, F., and Zuperl, U. Genetic Equation for the Cutting Force in Ball-End Milling, Journal of Materials Processing Technology 164 (2005): 1554-1560.

- [20] Fontaine, M., Devillez, A., Moufki, A., and Dudzinski, D. Predictive Force Model for Ball-End Milling and Experimental Validation with a Wavelike form Machining Test. International Journal of Machine Tools & Manufacture 46 (2006): 367-380.
- [21] Salami, R., Sadeghi, M.H., and Motakef, B. Feed Rate Optimization for 3-Axis Ball-End Milling of Sculptured Surfaces. International Journal of Machine Tools & Manufacture 47 (2007): 760-767.
- [22] Gonzalo, O., Jauregi, H., Uriarte, L.G., and Lopez de Lacalle, L.N. Prediction of Specific Force Coefficients from a FEM Cutting Model. International Journal of Advance Manufacturing Technology 43 (2009) 348-356.
- [23] Ozturk, E., Tunc L.T., and Budak, E. Investigation of Lead and Tilt Angle Effects in 5-Axis Ball-End Milling Processes. International Journal of Machine Tools & Manufacture 49 (2009): 1053-1062.
- [24] Budak, E., Ozturk, E. and Tunc, L.T. Modeling and Simulation of 5-Axis Milling Processes. CIRP Annals- Manufacturing Technology 58 (2009): 347-350.
- [25] Zeroudi, N., Fontaine M., and Necib, K. Prediction of Cutting Forces in 3-Axes Milling of Sculptured Surfaces Directly from CAM Tool Path. Journal of Intelligent Manufacturing (2010).
- [26] Tsai, C.L., and Liao, Y.S., Cutting force prediction in Ball-End Milling with Inclined Feed by Means of Geometrical Analysis. International Journal of Advance Manufacturing Technology 46 (2010): 529-541.
- [27] Sangveraphunsiri, V., and Ngamvilaikorn, T. Design and Analysis of 6 DOF Haptic Device for Teleoperation Using a Singularity-Free Parallel Mechanism. Thammasart International Journal of Science and Technology 10 (2005): 60-69.
- [28] Sangveraphunsiri, V., and Chooprasird K. Dynamics and Control of a 5-DOF Manipulator Base on an H-4 Parallel Mechanism. International Journal of Advanced Manufacturing Technology 52 (2011): 343-364.
- [29] Sciavicco, L., and Siciliano, B. Modeling and Control of Robot Manipulators The McGraw-Hill Companies, Inc., 1996
- [30] Siciliano, B., and Villani, L. Robot Force Control Kluwer Academic Publishers, 1999

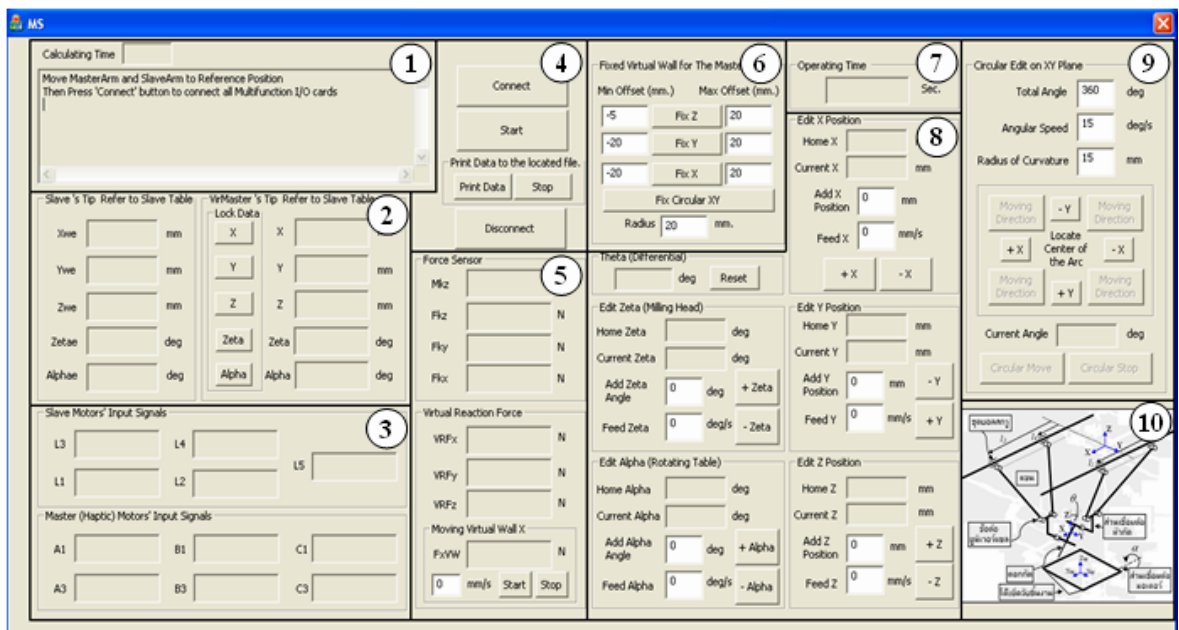
- [31] Caccavale, F., Natale, C., Siciliano, B. and Villinani, L.. Integration for the Next Generation Embedding Force Control into Industrial Robots. IEEE Robotics & Automation Magazine (September 2005): 53-64.



ภาคผนวก

## ลักษณะของโปรแกรมควบคุมการทำงาน

การพัฒนาโปรแกรมควบคุมการทำงานของแขนกล 5 แกนตระกูลเอช-4 โดยการใช้ซอฟต์แวร์ Microsoft Visual C++ 2008 แบบไดอะล็อก (Dialog Base) เพื่อให้เกิดความสะดวกในขณะป้อนข้อมูลและแสดงผลดังรูปที่ 1 การส่งข้อมูลเข้าไปในโปรแกรมเกิดขึ้นเมื่อมีการกดปุ่ม (Button) ซึ่งปรากฏอยู่บนพื้นที่ของไดอะล็อก ส่วนการแสดงค่าต่าง ๆ บนไดอะล็อกเกิดขึ้นเมื่อครบกำหนดการตั้งเวลาไว้ ในที่นี้กำหนดให้แสดงผลทุกระยะเวลา 1 วินาที



รูปที่ ก.1 ส่วนประกอบต่างๆในไดอะล็อก (Dialog)

สามารถแสดงส่วนประกอบบนพื้นที่ไดอะล็อกตามลำดับหมายเลขที่กำหนดขึ้นได้ดังนี้

1. ส่วนแสดงสถานะของโปรแกรม
2. ส่วนแสดงตำแหน่งที่วัดได้ และ ตำแหน่งที่ต้องการ สำหรับแขนกล 5 แกน
3. ส่วนแสดงค่าสัญญาณควบคุมมอเตอร์
4. ส่วนเริ่มต้นการทำงานของโปรแกรมและการบันทึกค่าในไฟล์ข้อมูล
5. ส่วนแสดงค่าแรงที่วัดได้จากอุปกรณ์ตรวจรู้แรงและค่าแรงสะท้อนกลับ
6. ส่วนการสร้างกำแพงเสมือน
7. ส่วนแสดงค่าเวลาที่ใช้ตั้งแต่เริ่มโปรแกรม
8. ส่วนปรับตำแหน่งและทิศทางของปลายแขนกล 5 แกน (ดอกกัตชิ้นงาน)
9. ส่วนกำหนดการเคลื่อนที่ของปลายแขนกล 5 แกน (ดอกกัตชิ้นงาน) เป็นลักษณะวงกลม
10. ส่วนแสดงภาพทิศทางการเคลื่อนที่ของปลายแขนกล 5 แกน (ดอกกัตชิ้นงาน)

## ขั้นตอนการทำงานโดยสังเขป

1. เลื่อนตำแหน่งปลายแขนกลหน้า (แขนกลแฮปติค) และ เลื่อนตำแหน่งปลายแขนกลตามไปยังตำแหน่งเริ่มต้นการทำงาน (Home Position) และ ทำการปิด (Disable) สวิตช์ควบคุมอุปกรณ์ขยายกระแสไฟฟ้า (Amplifier) ของมอเตอร์ทั้งหมด
2. เปิดโปรแกรมสำหรับควบคุมการทำงานในรูปแบบไดอะล็อก (Dialog Base) โปรแกรมจะแสดงสถานะให้กดปุ่ม “Connect” (แสดงในส่วนที่ 4) เพื่อเชื่อมต่อการ์ดควบคุม (Multifunction I/O Card)
3. เมื่อสามารถเชื่อมต่อการ์ดควบคุมได้โดยไม่มีการแจ้งเตือนข้อผิดพลาด (Error Messages)
  - 3.1 เปิดสวิตช์จ่ายกระแสไฟฟ้า (Main Breaker) เพื่อจ่ายไฟฟ้าให้ชุดควบคุมของแขนกลตาม
  - 3.2 เปิด (Enable) สวิตช์ควบคุมอุปกรณ์ขยายกระแสไฟฟ้า (Amplifier) ให้ชุดควบคุมทำงาน
  - 3.3 กดปุ่ม “Start” (แสดงในส่วนที่ 4) เพื่อเริ่มต้นการทำงานของโปรแกรม ไดอะล็อกจะแสดงค่าตำแหน่งปัจจุบันและตำแหน่งที่กำหนดให้ของแขนกลตามบนพิกัดโต๊ะยึดจับชิ้นงาน (แสดงในส่วนที่ 2) แสดงค่าสัญญาณควบคุมมอเตอร์ (แสดงในส่วนที่ 3) แสดงค่าแรงกัตซึ่งวัดได้จากอุปกรณ์ตรวจจับแรง (แสดงในส่วนที่ 5) และเวลาที่ใช้ตั้งแต่เริ่มทำงาน (แสดงในส่วนที่ 7)
4. เลื่อนตำแหน่งปลายแขนกลตามไปใกล้ตำแหน่งเริ่มต้นการกัตชิ้นงานโดยการปรับตำแหน่งแนวแกน Xw Yw และ Zw (แสดงในส่วนที่ 8) อ้างอิงกับทิศทางของโต๊ะยึดจับชิ้นงาน (แสดงในส่วนที่ 10)
5. เริ่มต้นการกัตชิ้นงาน
  - 5.1 เปิดการใช้งานอุปกรณ์ตรวจจับแรงกัต (Force Sensor) และ อุปกรณ์หมุนดอกกัต (Spindle)
  - 5.2 กดปุ่ม “Print Data” (แสดงในส่วนที่ 4) เพื่อบันทึกข้อมูลตำแหน่งของดอกกัตและแรงกัตชิ้นงาน
  - 5.3 กรณีการกัตชิ้นงานด้วยการกำหนดการเคลื่อนที่ด้วยโปรแกรม สามารถกำหนดทิศทาง การเคลื่อนที่และความเร็วการกัตเป็นเส้นตรง (แสดงในส่วนที่ 8) หรือ การกัตเป็นเส้นโค้ง (แสดงในส่วนที่ 9)
  - 5.4 กรณีการกัตชิ้นงานด้วยการทำงานแบบมาสเตอร์-สเลฟ สามารถเคลื่อนแขนกลนำไปยังตำแหน่งและทิศทางต่างๆภายในบริเวณขอบเขตการทำงาน สามารถกำหนดขอบเขตการทำงานให้มีบริเวณเล็กลงได้โดยการกำหนดพื้นที่กำแพงเสมือน (แสดงในส่วนที่ 6) แขนกลหน้าจะสร้างแรงสะท้อนกลับกระทำต่อมือผู้ดำเนินการเพื่อขัดขวางการเคลื่อนที่ออกนอกบริเวณที่

กำหนดขึ้น นอกจากนี้ยังสามารถกำหนดให้ตำแหน่งปลายแขนกลตามมีค่าคงที่ในแต่ละทิศทางได้ โดยการกดปุ่มเพื่อหยุดการเคลื่อนที่ในทิศทางนั้นๆ (แสดงในส่วนที่ 2)

## 6. สิ้นสุดการกัดชิ้นงาน

6.1 กดปุ่ม “ Stop” (แสดงในส่วนที่ 4) เพื่อหยุดการบันทึกข้อมูลลงในไฟล์

6.2 เลื่อนตำแหน่งของดอกกัดกลับไปตำแหน่งเริ่มต้นการทำงาน (Home Position)

โดยระมัดระวังไม่ให้เกิดการชนกับชิ้นงาน

6.3 ปิดการใช้งานอุปกรณ์ตรวจจับแรงกัด (Force Sensor) และ อุปกรณ์หมุนดอกกัด (Spindle)

6.4 ปิด (Disable) สวิตช์ควบคุมอุปกรณ์ขยายกระแสไฟฟ้า(Amplifier) ของมอเตอร์ทั้งหมด

6.5 กดปุ่ม “Disconnect” (ในส่วนที่ 4) เพื่อหยุดการทำงานของโปรแกรม

### ประวัติผู้เขียนวิทยานิพนธ์

ว่าที่ร้อยตรี เรืองยศ อารยวงศ์กุล เกิดเมื่อวันที่ 8 มีนาคม ปี พ.ศ.2523 เป็นชาวกรุงเทพมหานคร สำเร็จการศึกษาระดับปริญญาวิศวกรรมศาสตรบัณฑิตและระดับปริญญาวิศวกรรมศาสตรมหาบัณฑิต สาขาวิชาวิศวกรรมเครื่องกล จากสถาบันเทคโนโลยีพระจอมเกล้าเจ้าคุณทหารลาดกระบัง เมื่อปี พ.ศ.2544 และ พ.ศ.2547 ตามลำดับ เข้าศึกษาต่อในระดับปริญญาวิศวกรรมศาสตรดุษฎีบัณฑิต สาขาวิชาวิศวกรรมเครื่องกล จุฬาลงกรณ์มหาวิทยาลัยเมื่อปี พ.ศ.2550